




Image encryption using face biometric and metaheuristic algorithm over blockchain system

M.G. Hakemi ¹, M.J. Rostami ^{2*} 

Associate Professor, Shahid Bahonar University, Kerman, Iran .

(Received: 2024/04/27, Revised: 2024/07/19, Accepted: 2024/08/02, Published: 2024/08/23)

DOR:

ABSTRACT

With the expansion of the Internet network and public access to this network, the amount of information and data exchange increases day by day; Therefore, there will be a possibility of unauthorized access to the information that is exchanged. On the other hand, almost all programs that run on the Internet, such as social networks, have full access to images and content stored on the host device; Therefore, there is a possibility of unauthorized access and theft of personal information. Therefore, the security and accuracy of information must be guaranteed. In order to maintain the confidentiality of data, information encryption methods, such as image encryption algorithms, can be used. In the proposed method of this article, the encryption algorithm key is created with the help of information extracted from the person's face, image abstract, and public key so that the encryption algorithm will be highly sensitive to the change of any of the information used in key generation. Lorenz chaos mapping is used for image encryption in the substitution phase. Each color channel of the image is divided into four parts and each part is encrypted using a separate pseudo-random sequence and the encrypted image is produced. In the permutation phase, to achieve the best-encoded image, the genetic heuristic algorithm (GA) is used to bring the pixel correlation value of the encoded image to the minimum possible value by choosing the optimal parameters for the Arnold chaos mapping. According to the obtained results, the correlation values of pixels in all three horizontal, vertical, and diagonal directions are much smaller than other similar presented methods and the encryption algorithm has been able to significantly reduce the correlation and connection between pixels. Also, according to the results of NPCR and UACI differential analysis, it is higher than 99.6% and 33.4% for all the tested images, respectively. Therefore, the proposed method will have high resistance to statistical and differential attacks. Also, for the process of decoding the image, two-step authentication and safe storage of the encryption key are used in the blockchain network.

Keywords: Image encryption, Chaos, Genetic algorithm, Blockchain, Face detection, Authentication .

This article is an open-access article distributed under the terms and conditions of the Creative Commons Attribution (CC BY) license.

Publisher: Imam Hussein University

 Authors



*Corresponding Author Email: rostami@uk.ac.ir

علمی - پژوهشی

رمزنگاری تصویر با استفاده از بیومتریک چهره و الگوریتم فراابتکاری بر روی سیستم

زنجیره بلوکی

محمد گنجعلیخان حاکمی^۱، محمد جواد رستمی^{۲*}

۱- کارشناسی ارشد، ۲- استادیار، گروه مهندسی کامپیوتر، دانشکده فنی و مهندسی، دانشگاه شهید باهنر کرمان، کرمان، ایران.

(دریافت: ۱۴۰۳/۰۲/۰۸، بازنگری: ۱۴۰۳/۰۳/۲۹، پذیرش: ۱۴۰۳/۰۵/۱۲، انتشار: ۱۴۰۳/۰۶/۱۳)

DOR:



* این مقاله یک مقاله با دسترسی آزاد است که تحت شرایط و ضوابط مجوز (CC BY) Creative Commons Attribution توزیع شده است.



ناشر: دانشگاه جامع امام حسین (ع) نویسندگان

چکیده

با گسترش شبکه اینترنت و دسترسی همگانی به این شبکه، میزان تبادل اطلاعات و داده‌ها روز به روز افزایش می‌یابد؛ بنابراین، امکان دسترسی غیرمجاز به اطلاعاتی که مبادله می‌شوند وجود خواهد داشت. از طرفی تقریباً تمام برنامه‌هایی که بر بستر اینترنت اجرا می‌شوند، مانند شبکه‌های اجتماعی، دسترسی کامل به تصاویر و محتوای ذخیره‌شده در دستگاه میزبان را دارا هستند؛ بنابراین امکان دسترسی غیرمجاز و سرقت اطلاعات شخصی وجود دارد. از این رو باید امنیت و صحت اطلاعات تضمین شود. به منظور حفظ محرمانگی داده‌ها می‌توان از روش‌های رمزنگاری اطلاعات، مانند الگوریتم‌های رمزنگاری تصویر استفاده کرد. در روش پیشنهادی این مقاله کلید الگوریتم رمزنگاری به کمک اطلاعات استخراج شده از چهره فرد، چکیده تصویر و کلید عمومی ایجاد می‌شود، بنابراین الگوریتم رمزنگاری نسبت به تغییر هر کدام از اطلاعات استفاده شده در تولید کلید حساسیت بالایی خواهد داشت. برای رمزنگاری تصویر در فاز جانشینی از نگاشت آشوب لورنز استفاده می‌شود. هر کانال رنگ تصویر به چهار قسمت تقسیم می‌شود و هر قسمت با استفاده از یک دنباله شبه تصادفی مجزا رمزنگاری می‌شود و تصویر رمز شده تولید می‌شود. در فاز جای گشت به منظور دست‌یافتن به بهترین تصویر رمز شده، از الگوریتم فراابتکاری ژنتیک (GA) استفاده می‌شود تا با انتخاب پارامترهای بهینه برای نگاشت آشوب آرنولد، مقدار همبستگی پیکسل‌های تصویر رمزنگاری شده به حداقل مقدار ممکن نزدیک شود. با توجه به نتایج به دست آمده، مقادیر همبستگی پیکسل‌ها در هر سه جهت افقی، عمودی و قطری نسبت به سایر روش‌های ارائه شده مشابه بسیار کوچک‌تر است و الگوریتم رمزنگاری توانسته است به طور چشمگیری همبستگی و ارتباط بین پیکسل‌ها را کاهش دهد. همچنین با توجه به نتایج تحلیل تفاضلی NPCR و UACI، برای تمام تصاویر آزمایش شده به ترتیب بالاتر از ۹۹/۶ درصد و ۳۳/۴ درصد است؛ بنابراین روش پیشنهادی دارای مقاومت بالایی نسبت به حملات آماری و تفاضلی خواهد داشت. همچنین برای فرآیند رمزگشایی تصویر، از احراز هویت دومرحله‌ای و نگهداری ایمن کلید رمزنگاری در شبکه زنجیره بلوکی استفاده می‌شود.

کلیدواژه‌ها: رمزنگاری تصویر، نگاشت آشوب، الگوریتم ژنتیک، احراز هویت، زنجیره بلوکی

۱- مقدمه

باشند. به عنوان مثال از زمان ظهور شبکه‌های اجتماعی اولیه در اوایل سال ۲۰۰۰، شبکه‌های اجتماعی آنلاین به طور گسترده‌ای گسترش یافته‌اند که از معروف‌ترین این رسانه‌های اجتماعی در اواسط دهه ۲۰۱۰ فیس‌بوک^۲، اینستاگرام^۳، توییتر^۴ و اسنپ چت^۵ را می‌توان نام برد. حجم عظیم اطلاعات شخصی که به صورت آنلاین در دسترس است و در فضای ابری ذخیره شده است، باعث شده که توانایی پایگاه داده‌ها در ذخیره‌سازی ایمن چنین اطلاعات شخصی کاهش

امروزه با گسترش شبکه‌های ارتباطی و اینترنت، حجم بسیار زیادی از اطلاعات در حال تولید و انتقال است که این امر منجر به اهمیت یافتن مسئله امنیت و صحت اطلاعات شده است. امنیت اطلاعات به معنی حفاظت اطلاعات، از فعالیت‌های غیرمجازی مانند دسترسی، استفاده، خواندن و یا تغییر اطلاعات است. برای حراست از اطلاعات، باید دسترسی به اطلاعات کنترل شود و فقط افراد مجاز باید توانایی دسترسی به اطلاعات را داشته

² Facebook

³ Instagram

⁴ Twitter

⁵ Snapchat

* رایانامه نویسنده مسئول: rostami@uk.ac.ir

تانگ و همکارانش [۹] روشی به منظور افزایش سرعت و امنیت، رمزنگاری تصویر مبتنی بر سیستم آشوب ۴ بعدی ارائه دادند. در این روش نگاشت ۴ بعدی پیشنهادی، از ترکیب معادلات دو نگاشت سه بعدی لورنز^۸ و چن^۹ به دست می آید. به منظور رمزنگاری پیکسل های تصویر، ابتدا توسط نگاشت آشوب پیشنهادی، چهار دنباله آشوب تولید می شود. در این الگوریتم سعی می شود از دنباله های تولید شده مجدد استفاده شود و به تعداد پیکسل های تصویر اعداد تصادفی دنباله تولید نشود؛ بنابراین تعدادی معین از اعداد دنباله ها انتخاب می شود و با قسمت دهدهی این اعداد سه کلید متفاوت ساخته می شود. در فاز جانشینی، تصویر به سه کانال رنگ تقسیم می شود و در مرحله اول سطرهای هر کانال رنگ با یک کلید متفاوت رمزنگاری می شوند. در مرحله دوم ستون های هر سه کانال رنگ با کلیدهای متفاوت از مرحله قبل رمزنگاری می شوند. همچنین در فاز جای گشت، از نگاشت آرنولد^{۱۰} برای درهم سازی موقعیت پیکسل ها استفاده می شود.

خلیل و همکارانش [۱۰] روشی برای رمزنگاری تصاویر رنگی یا خاکستری مطرح کردند. در این روش در هر دو فاز جانشینی و جای گشت از ترکیب نگاشت های آشوب استفاده شده است. ابتدا برای رمزنگاری تصویر رنگی، سه کانال رنگ تصویر جدا و تبدیل به یک بردار یک بعدی می شوند. در فاز جای گشت، از یک نگاشت دوبعدی پیشنهاد شده \sin - \cosine استفاده می شود و یک دنباله شبه تصادفی با طول مشابه با بردار کانال رنگ تولید می شود. با فرض طول بردار N برای هر کانال رنگ، اعداد دنباله تصادفی به عددی بین 0 تا N تبدیل می شوند و موقعیت هر پیکسل، متناظر با موقعیت جدیدش در دنباله تصادفی تغییر می کند. در فاز جانشینی از نگاشت یک بعدی ترکیب شده از دو نگاشت تنت^{۱۱} و لجستیک^{۱۲} استفاده می شود و دنباله ای هم طول با بردار پیکسل های درهم شده مرحله قبل ایجاد می شود و در نهایت با اعمال عملگر XOR تصویر رمز شده به دست می آید.

تنوع بالایی از نگاشت های آشوب وجود دارد که بر اساس ابعادشان و دنباله هایی که تولید می کنند در روش های مختلف مورد استفاده قرار می گیرند. به عنوان مثال، وانگ و همکارانش [۱۱] در روش پیشنهادی شان از یک نگاشت آشوب ۶ بعدی به همراه تکنیک دنباله های DNA استفاده کرده اند و یا در روش پیشنهادی ژو و همکارانش [۱۲] از چهار نگاشت آشوب متفاوت در فرآیند رمزنگاری استفاده شده است.

ژو و همکارانش [۱۳] روشی برای رمزنگاری تصاویر رنگی بر

یابد و حفظ حریم خصوصی کاربران در اولویت قرار گیرد. آگاهی و مرزهای نقض حریم خصوصی، می تواند جز نگرانی های اساسی در عصر فناوری باشد [۱]. بخش بزرگی از داده های کاربران شامل تصاویر شخصی، مدارک مهم که به صورت فایل تصویری و یا متنی و... هستند که معمولاً در تلفن های همراه، رایانه های شخصی و دیسک های ذخیره سازی اطلاعات نگهداری می شوند. این نوع نگهداری از داده ها به دلایل زیادی می تواند خطرناک باشند از جمله این دلایل می توان به هک شدن و یا ویروسی شدن دستگاه های نگهداری اطلاعات اشاره کرد؛ بنابراین استفاده از روش هایی که امنیت داده ها را نتیجه می دهند امری ضروری است.

یک از این روش ها رمزنگاری اطلاعات است [۲]. از مشهورترین و پرکاربردترین الگوریتم های رمزنگاری متقارن می توان به IDEA، DES، AES اشاره کرد. از مهم ترین الگوریتم های رمزنگاری کلید عمومی نیز می توان به RSA، ElGamal اشاره کرد که معمولاً برای داده هایی با ساختار متنی مورد استفاده قرار می گیرند؛ اما در رمزنگاری تصویر، به علت ساختار متفاوت تصاویر، که شامل وابستگی بالای اطلاعات پیکسل ها و اطلاعات آماری است، استفاده از روش های رمزنگاری متداول مناسب نخواهد بود [۳، ۴]. روش های مناسب برای تأمین امنیت تصاویر معمولاً در دودسته کلی قرار می گیرند: الف) پنهان کردن اطلاعات، که شامل پنهان نگاری^۱ است، که در آن داده های مهم، درون داده های یک رسانه دیگر مثل تصویر یا ویدئو که رسانه پوششی^۲ نام دارد پنهان می شود. بنابراین در ظاهر فقط یک تصویر یا ویدئو معمولی دیده می شود ولی در واقعیت اطلاعات مهمی در رسانه پوششی قرار گرفته شده است [۵]. ب) رمزنگاری^۳، که شامل تکنیک های آشوب، دنباله های DNA و... است [۶]. اغلب الگوریتم های رمزنگاری تصویر شامل دو مرحله اصلی هستند: مرحله جای گشت^۴ و مرحله جانشینی^۵. در مرحله جای گشت فقط موقعیت پیکسل ها با یکدیگر جابجا می شوند و در مرحله جانشینی مقادیر پیکسل ها تغییر می کنند [۷]. پرکاربردترین تکنیک های استفاده شده در رمزنگاری تصویر شامل نگاشت های آشوب^۶، دنباله های DNA، چکیده تصویر و الگوریتم های فراابتکاری^۷ است [۶]. نگاشت های آشوب جزء پرکاربردترین تکنیک ها در رمزنگاری تصویر هستند، که می توان در هر دو مرحله جانشینی و جای گشت از آن ها بهره برد [۸].

¹ Steganography

² Cover-media

³ Cryptography

⁴ Permutation

⁵ Substitution

⁶ Chaotic functions

⁷ Metaheuristic

⁸ Lorenz system

⁹ Chen system

¹⁰ Arnold's cat map

¹¹ Tent map

¹² Logistic map

در روشی که توسط زارعی [۱۷] ارائه شده است از ترکیب دو تابع چکیده ساز MD5 و SHA-256 برای ساخت کلید ۲۵۶ بیتی رمزنگاری استفاده شده است. در این روش اطلاعات تصویر اصلی و یک کلید ۲۵۶ بیتی تصادفی با استفاده از توابع چکیده ساز درهم می‌شوند و یک کلید ۲۵۶ بیتی محرمانه را نتیجه می‌دهند که در فرآیند تولید دنباله‌های آشوب و رمزنگاری مورد استفاده قرار می‌گیرد.

ژانگ و همکارش [۱۸] روشی برای رمزنگاری تصاویر رنگی معرفی کردند. در این روش از چکیده تصویر، نگاشت‌های آشوب و دنباله‌های DNA استفاده شده است. در اولین مرحله برای تولید کلید، ابتدا چکیده تصویر اصلی محاسبه می‌شود. از چکیده تصویر در مقداردهی اولیه نگاشت‌های آشوب و تنظیم پارامترها استفاده می‌شود. برای تولید چکیده تصویر، ابتدا تصویر اصلی به یک تصویر سطح خاکستری تبدیل می‌شود. سپس یک ماتریس چکیده تصویر با ابعاد برابر با تصویر خاکستری ساخته می‌شود. هر دو ماتریس دارای ابعاد ۲۵۶ در ۲۵۶ هستند. درایه‌های ماتریس چکیده بدین صورت مقداردهی می‌شوند که اگر درایه $i + 1$ ماتریس خاکستری از درایه i ام کوچکتر باشد، درایه متناظر در ماتریس چکیده مقدار ۱ قرار می‌گیرد، در غیر این صورت مقدار درایه صفر خواهد بود. سپس ماتریس چکیده به ابعاد ۴۰۹۶ در ۱۶ تغییر شکل می‌دهد. از ماتریس جدید ۱۶ مقدار به دست می‌آید که ۹ مقدار به صورت تصادفی انتخاب می‌شوند. در مرحله بعد که مرحله جای‌گشت است، تصویر به سه کانال رنگ مجزا تقسیم می‌شود. با استفاده از یک نگاشت آشوب دوبعدی و مقادیر به دست آمده از مرحله قبل، به ازای هر کانال رنگ دو دنباله شبه تصادفی X و Y ساخته می‌شود. هر دو دنباله به صورت صعودی مرتب می‌شوند و بر اساس اندیس دنباله، قبل و بعد از مرتب سازی سطرها و ستون‌های کانال‌های رنگ جای‌گشت داده می‌شوند.

در آخرین مرحله یعنی جابه‌جایی، ۶ دنباله شبه تصادفی توسط یک نگاشت آشوب ۶ بعدی ساخته می‌شود. سه دنباله به طور تصادفی انتخاب می‌شوند و مقادیرشان به بازه ۰ تا ۲۵۵ نگاشت می‌شود. از دو دنباله دیگر برای انتخاب قانون کدگذاری DNA، و از دنباله آخر برای انتخاب نوع عملیات حسابی DNA استفاده می‌شود. در نهایت تصویر باتوجه به قوانین و عملگرهای انتخابی کدگذاری شده و تصویر رمز شده نهایی حاصل می‌شود.

ژو و همکارانش [۱۹] روشی به منظور رمزنگاری تصویر ارائه دادند که سعی شده است تا امنیت سیستم‌های رمزنگاری که از یک نگاشت آشوب استفاده می‌کنند بهبود ببخشد. در این روش از نگاشت آشوب یک‌بعدی لجستیک استفاده شده است و مقدار اولیه نگاشت با استفاده از چکیده تصویر که با الگوریتم SHA-512 به دست آمده است، محاسبه می‌شود. سپس با استفاده از

پایه مفهوم مربع لاتین و توابع آشوب معرفی کردند. در این روش ابتدا توسط نگاشت آشوب سه بعدی Sine، سه دنباله شبه تصادفی برای تولید مربع لاتین متعامد سه بعدی و ماتریس تطبیق تولید می‌شود. در مرحله دوم، تصویر اصلی توسط مربع لاتین ۳ بعدی و ماتریس منطبق جای‌گشت داده می‌شود. بدین صورت که هر صفحه از ماتریس جای‌گشت به شانزده قسمت تقسیم شده و شماره‌گذاری می‌شود. سپس، یک دنباله آشوب با ابعاد ۱ در ۱۶ باتوجه به سه دنباله از پیش تولید شده استخراج می‌شود. دنباله ۱۶ تایی مرتب می‌شود و باتوجه به اندیس درایه‌ها قبل و بعد از مرتب سازی ۱۶ قسمت ماتریس جای‌گشت بایکدیگر جابجا می‌شوند. باتوجه به موقعیت جدید درایه‌های ماتریس جای‌گشت، تصویر اصلی درهم ریخته می‌شود و در آخرین مرحله با استفاده از شیفت چرخشی تصویر رمزنگاری تولید می‌شود.

ژانگ و همکارانش [۱۴] روشی مبتنی بر نگاشت آشوب و عملیات RNA ارائه دادند. این روش دارای سه مرحله اصلی است و در هر مرحله از دنباله‌های آشوب مجزایی استفاده می‌شود. بنابراین در اولین مرحله با استفاده از یک نگاشت آشوب ۶ بعدی به تعداد $6 \times (3 \times N \times N + 64)$ ماتریس آشوب ساخته می‌شود. از ماتریس‌های ساخته شده سه ماتریس S_1 ، S_2 و S_3 باتوجه به ابعاد مورد نیاز در هر مرحله استخراج می‌شود. از ماتریس S_1 در اولین مرحله و به منظور جای‌گشت پیکسل‌ها استفاده می‌شود. ماتریس کانال رنگ و ماتریس S_1 به دو آرایه یک بعدی تبدیل می‌شوند. آرایه S_1 به صورت صعودی مرتب می‌شود و بر اساس اندیس‌ها قبل و بعد از مرتب سازی، درایه متناظر در آرایه کانال رنگ موقعیتش تغییر می‌کند. در مرحله دوم با استفاده از ماتریس S_2 ، مرحله جابه‌جایی انجام می‌شود. ماتریس کانال رنگ و ماتریس S_2 به صورت یک مکعب تغییر شکل می‌دهند. با استفاده از تکنیک زیگ‌زاگ که بر روی سه وجه مکعب انجام می‌شود پیکسل متناظر با درایه مکعب S_2 با استفاده از عملگر XOR رمز می‌شود. در آخرین مرحله پیکسل‌ها به صورت دودویی تبدیل می‌شوند و بر اساس بیت‌ها و چهار جدول کدون^۱ RNA، پیکسل‌ها کدگذاری می‌شوند و تصویر رمز شده نهایی به دست می‌آید.

در روش‌های رمزنگاری تصویر که بر پایه چکیده تصویر هستند، ابتدا یک تابع چکیده ساز بر روی تصویر ورودی اعمال می‌شود و یک رشته خروجی با طول ثابت ایجاد می‌کند که از رشته تولید شده می‌توان در مرحله پردازش کلید رمزنگاری، به دست آوردن مقادیر اولیه نگاشت آشوب و... استفاده کرد. طول ثابت رشته خروجی و حساس بودن خروجی به تغییر یک بیت در تصویر ورودی، از مزایای استفاده چکیده تصویر در رمزنگاری تصویر است [۱۵، ۱۶].

^۱ Codons

می‌شود. نقاط همبری با استفاده از مقادیر دنباله آشوب تولید شده، انتخاب می‌شوند. بسته به تعداد دوره‌های موردنیاز برای الگوریتم رمزنگاری مراحل ذکر شده تکرار می‌شوند و تصویر رمز شده حاصل می‌شود.

چای و همکارانش [۲۵] روشی ترکیبی بر پایه عملگرهای الگوریتم ژنتیک، ماتریس تنسور، نگاشت آشوب و دنباله‌های DNA به منظور رمزنگاری تصویر ارائه دادند. ابتدا توسط یک نگاشت آشوب ۶ بعدی، شش دنباله شبه تصادفی ساخته می‌شود. دو دنباله‌ی دیگر یعنی دنباله هفتم و هشتم با استفاده از شش دنباله قبل و عملگرهای جمع و تفریق تولید می‌شوند. از هشت دنباله تولید شده در مراحل مختلف رمزنگاری استفاده می‌شود.

در ادامه، تصویر اصلی به اجزای قرمز، سبز و آبی خود تقسیم می‌شود و هر کانال رنگ به چهار قسمت مساوی تقسیم می‌شود. یک ماتریس با استفاده از مقادیر یکی از هشت دنباله که به صورت تصادفی انتخاب می‌شود، ساخته می‌شود. اولین بلاک تصویر با استفاده از عملیات ضرب تنسور در ماتریس ساخته شده، ضرب می‌شود. بلاک جدید به صورت ساعت گرد با دیگر بلاک‌ها XOR می‌شود و کانال رنگ رمز شده حاصل می‌شود.

عملیات XOR بین دو کانال رنگ دیگر نیز انجام می‌شود تا سه کانال رنگ رمز شده حاصل شود. سپس با استفاده از اولین و دومین دنباله شبه تصادفی و قوانین کدگذاری DNA، تصویر کدگذاری می‌شود. در ادامه عملیات همبری و جهش به ترتیب توسط دنباله‌های سوم تا پنجم و ششم تا هشتم انجام می‌شود.

در نهایت کدگذاری DNA انجام می‌شود و تصویر رمز شده نهایی به دست می‌آید. انتخاب پارامترهای همبری ژنتیکی، تعیین نقاط تقاطع، موقعیت و قاعده جهش توسط اطلاعات تصویر اصلی و توالی‌های آشوبی کنترل می‌شوند. البته انجام عملیات ضرب تنسورها وقت‌گیر خواهد بود، بنابراین ممکن است روش ارائه شده برای کاربردهای بلادرنگ مناسب نباشد.

سعید خان و همکاران [۲۶] روشی مطرح کردند که در آن از الگوریتم PSO^۶ به منظور ساخت یک S-Box با خاصیت غیرخطی بودن استفاده کردند. برای ساخت S-Box، ابتدا جمعیت اولیه الگوریتم PSO به صورت تصادفی مقداردهی می‌شود. سپس در هر مرحله با استفاده از موقعیت عامل‌های الگوریتم PSO یک S-Box ساخته می‌شود و توسط معیارهایی که غیرخطی بودن را بررسی می‌کنند ارزیابی می‌شود. در نهایت S-Box که خاصیت غیرخطی بالایی دارد انتخاب، و در مرحله جای‌گشت استفاده می‌شود.

همان‌طور که اشاره شد، برای تأمین امنیت داده‌ها استفاده از الگوریتم‌های رمزنگاری امری اجتناب‌ناپذیر است، اما مدیریت

دنباله شبه تصادفی تولیدشده و الگوریتم خوشه‌بندی K-medoids، مرحله جای‌گشت تصویر انجام می‌شود. در مرحله جانمایی، تصویر به هم‌ریخته مرحله قبل، با استفاده از دنباله شبه تصادفی و عملگر XOR رمزنگاری می‌شود.

الگوریتم‌های فراابتکاری، الگوریتم‌های تکرار شونده‌ای هستند که در هر مرحله با توجه به اطلاعاتی که از وضعیت فعلی مسئله دریافت می‌کنند، قادر خواهند بود مؤلفه‌های هدف مسئله را بهبود ببخشند [۲۰]. از الگوریتم‌های فراابتکاری به دلیل ماهیتشان در بهینه‌سازی، می‌توان در بهبود عملکرد فرآیند رمزنگاری استفاده کرد [۲۱، ۲۲].

عبدالله و همکارانش [۲۳] روشی برای رمزنگاری تصویر مطرح کردند که برای اولین بار از الگوریتم ژنتیک^۱ در رمزنگاری تصویر استفاده شد. برای مقداردهی اولیه جمعیت ابتدا تصویر به چهار قسمت تقسیم می‌شود. سپس از نگاشت آشوب لجستیک برای رمزنگاری پیکسل‌های هر قسمت استفاده می‌شود. پس از رمزنگاری تصویر الگوریتم ژنتیک اعمال می‌شود تا در نهایت بهترین تصویر رمز شده انتخاب گردد. به این منظور از عملگر همبری^۲ استفاده می‌شود و قسمت‌های تصویر با یکدیگر جابجا می‌شوند تا شرط تابع هدف^۳ مسئله که کمینه کردن همبستگی^۴ بین پیکسل‌ها است برآورده شود.

ژانگ و همکارانش [۲۴] روشی بر پایه سیستم آشوب 2DNLML^۵ و عملگرهای الگوریتم ژنتیک برای رمزنگاری تصاویر رنگی ارائه دادند. ابتدا مقادیر اولیه سیستم 2DNLML، توسط نگاشت آشوب لجستیک تولید می‌شود. سپس سیستم 2DNLML به اندازه ابعاد تصویر یعنی $M \times N$ تکرار می‌شود تا دنباله شبه تصادفی ساخته شود. در ادامه کانال‌های رنگ تصویر اصلی جدا می‌شوند و هر کانال رنگ به یک آرایه یک بعدی تبدیل می‌شود.

در مرحله بعد پیکسل‌های هر کانال با استفاده از دنباله شبه تصادفی و عملگر XOR رمزنگاری می‌شود. در مرحله بعد با توجه به مقدار درایه دنباله آشوب متناظر با پیکسلی که در مرحله قبل رمز شده است، عملیات جهش انجام می‌شود. بدین صورت که اگر مقدار درایه دنباله آشوب زوج باشد جهش Inversion، و اگر فرد باشد جهش Swap بر روی پیکسل اعمال می‌شود.

در آخرین مرحله عملیات همبری دونقطه‌ای انجام می‌شود. به این صورت که همبری ابتدا برای پیکسل‌های جفت کانال‌های قرمز و سبز، و بعد از آن برای جفت کانال‌های آبی و قرمز اعمال

¹ Genetic algorithm

² Crossover

³ Fitness function

⁴ Correlation

⁵ Two Dimensional Nonlinear Coupled Map Lattices

⁶ Particle swarm optimization

پیشنهادی بررسی شود. در بخش پنجم نتیجه‌گیری تحقیق انجام شده بیان شده است.

۲-۲- مفاهیم مقدماتی

در این بخش تکنیک‌ها و الگوریتم‌های استفاده‌شده در روش پیشنهادی معرفی می‌شوند. این بخش شامل معرفی نگاشت‌های آشوب لورنز و آرنولد، الگوریتم فراابتکاری ژنتیک و الگوریتم استخراج ویژگی‌های چهره است.

۲-۱-۲-۱-۲- نگاشت آشوب

نظریه آشوب شاخه‌ای از ریاضیات است که به بررسی رفتار آن دسته از سیستم‌های دینامیکی غیرخطی می‌پردازد که به شرایط اولیه بسیار حساس هستند [۲۹].

دنباله اعداد تولیدشده توسط نگاشت‌های آشوب در ظاهر تصادفی و بدون نظم و ترتیب هستند؛ اما در عمل وابسته به قوانین، الگوهای خاص و شرایط اولیه سیستم هستند. تاکنون نگاشت‌های آشوب متنوعی مانند لجستیک، استاندارد، آرنولد، هنون^۴، لورنز و... ارائه شده‌اند که هر کدام باتوجه به مؤلفه‌هایی مانند ابعاد نگاشت آشوب، تعداد پارامترها و رفتاری که نگاشت آشوب از خود نشان می‌دهد در کاربردهای مختلف استفاده می‌شوند.

۲-۲-۲-۲-۲- نگاشت آرنولد

نگاشت آرنولد در سال ۱۹۶۰ توسط ولادیمیر آرنولد^۵ معرفی شد. نگاشت آرنولد یک نگاشت دوجبری است که طبق رابطه (۱) تعریف می‌شود [۳۰].

$$C = \begin{bmatrix} 2 & 1 \\ 1 & 1 \end{bmatrix}, \det C = 1 \quad (1)$$

$$\begin{bmatrix} x' \\ y' \end{bmatrix} = C \begin{bmatrix} x \\ y \end{bmatrix} \text{ mod } 1$$

که x و y موقعیت فعلی یک نقطه، x' و y' موقعیت جدید نقطه در فضای دوجبری را نشان می‌دهند. و C یک ماتریس وارون‌پذیر است.

در فرآیند رمزنگاری تصویر می‌توان از نگاشت آرنولد به منظور به هم ریختن موقعیت پیکسل‌های تصویر استفاده کرد. برای این منظور، ابتدا ماتریس ثابت C در رابطه (۱) به شکل ماتریس C در رابطه (۲) به دلیل افزایش ضریب امنیت و خاصیت تصادفی بودن بازنویسی می‌شود که با اعمال این رابطه بر روی ماتریس دوجبری تصویر، موقعیت پیکسل‌ها تغییر می‌کند [۳۱].

$$C = \begin{bmatrix} 1 & p \\ q & pq + 1 \end{bmatrix}; \det C = 1; p, q \geq 0 \quad (2)$$

$$\begin{bmatrix} x' \\ y' \end{bmatrix} = C \begin{bmatrix} x \\ y \end{bmatrix} \text{ mod } N$$

کلید رمزنگاری مسئله‌ای جدی و مهم است. در اکثر روش‌های ارائه‌شده در رمزنگاری تصویر، کلید رمزنگاری با استفاده از پارامترهای نگاشت آشوب، اطلاعات تصویر و... تولید می‌شود. برای افزایش امنیت رمزنگاری، می‌توان از مؤلفه‌های بیومتریک^۱ در تولید کلید استفاده کرد و جهت ذخیره‌سازی ایمن کلید می‌توان از زنجیره بلوکی^۲ بهره گرفت.

ژاو و همکارانش [۲۷] روشی برای رمزنگاری تصویر و احراز هویت^۳ و صحت فرد فرستنده (رمزنگار) و گیرنده بر بستر زنجیره بلوکی معرفی کردند. در شبکه زنجیره بلوکی طراحی‌شده به هر کاربر (فرستنده یا گیرنده) یک شناسه منحصر به فرد که کلید عمومی است تعلق می‌گیرد. هر تراکنش شبکه زنجیره بلوکی شامل یک امضا خاص است که از چکیده تصویر رمز شده، کلید عمومی فرستنده، کلید عمومی گیرنده و کلید رمزنگاری با استفاده از الگوریتم SHA-256 حاصل می‌شود. در این سیستم فرستنده تصویر رمز شده را به همراه امضا بر روی شبکه ارسال می‌کند و پس از تأیید تراکنش توسط گره‌های شبکه، گیرنده می‌تواند درخواست خود را برای دریافت تصویر رمز شده ارسال کند و پس از احراز هویت و دریافت اطلاعات مورد نیاز، رمزگشایی را انجام دهد.

لی و همکارانش [۲۸] یک روش رمزنگاری تصویر مبتنی بر نگاشت آشوب و اثرانگشت بر بستر زنجیره بلوکی را ارائه کردند. در این روش کلید رمزنگاری با استفاده از اطلاعات اثرانگشت به دست می‌آید. همچنین اطلاعات اثرانگشت در تصویر رمزنگاری شده ثبت شده و انتقال تصاویر بین فرستنده و گیرنده بر بستر زنجیره بلوکی انجام می‌شود؛ بنابراین می‌توان از صحت هویت فرستنده و گیرنده اطمینان حاصل کرد.

در ادامه ساختار مقاله بدین صورت خواهد بود که در بخش دوم الگوریتم ژنتیک، توابع آشوب آرنولد و لورنز معرفی می‌شوند. سپس روشی که به منظور شناسایی و کدگذاری چهره استفاده شده است بررسی می‌شود. در بخش سوم، روش پیشنهادی با دید پایین به بالا شرح داده می‌شود. بدین معنا که ابتدا قسمت‌های جزئی سیستم بررسی می‌شود و سپس یک سیستم کامل برای رمزنگاری تصویر ارائه می‌شود. در بخش چهارم ابتدا معیارهای سنجش یک الگوریتم رمزنگاری تصویر معرفی می‌شوند و سپس با استفاده از جداول، نمودارها و تصاویر نتایج الگوریتم پیشنهادی بررسی می‌شود. همچنین نتایج روش پیشنهادی با سایر روش‌های ارائه شده مشابه مقایسه می‌شود تا کارایی الگوریتم

⁴ Hénon map

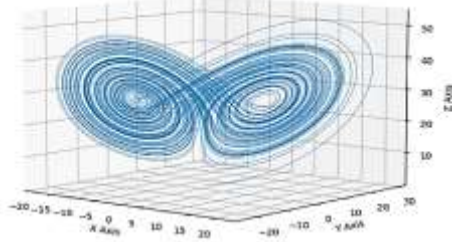
⁵ Vladimir Arnold

¹ Biometrics

² Blockchain

³ Authentication

اولیه $x_0 = 0.27$ ، $y_0 = 1.0$ و $z_0 = 0.63$ و پارامترهای ذکر شده در ۱۰۰۰۰ تکرار نشان داده شده است.



شکل (۲). مثالی از رفتار نگاشت آشوب لورنز به ازای مقادیر اولیه $x_0 = 0.27$ ، $y_0 = 1.0$ و $z_0 = 0.63$ و پارامترهای $\sigma = 10$ ، $\beta = \frac{8}{3}$ و $\rho = 28$

۴-۲-۴-۲ الگوریتم ژنتیک

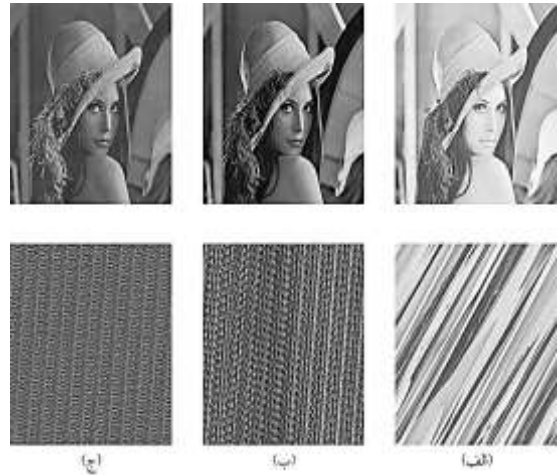
الگوریتم ژنتیک، یک روش جستجو و بهینه‌سازی بر اساس اصول تکامل طبیعی است [۳۳]. این الگوریتم جزء الگوریتم‌های تکاملی قرار می‌گیرد که بر اساس تئوری تکامل انتخاب طبیعی داروین پایه‌گذاری شده است. در این الگوریتم‌ها، یک جمعیت از طریق انتخاب اعضای برتر و کنار گذاشتن اعضای پست‌تر در طی فرآیند تولیدمثل و تکامل، بهبود می‌یابد. الگوریتم ژنتیک اجازه می‌دهد که یک جمعیت متشکل از تعداد زیادی افراد که تحت قوانین ویژه‌ای تشکیل شده‌اند، در طی فرآیند تکامل تابع هدف را بهینه نمایند. الگوریتم ژنتیک با ایجاد یک جمعیت اولیه از کروموزوم‌ها^۲ آغاز می‌شود. به عبارتی دیگر کروموزوم‌ها، رشته‌هایی از مقادیر پیشنهادی برای متغیرهای تصمیم مسئله هستند و هر یک نمایانگر یک پاسخ محتمل برای مسئله هستند. در مرحله بعد، کروموزوم‌ها با توجه به هدف بهینه‌سازی مورد ارزیابی قرار می‌گیرند و کروموزوم‌هایی که پاسخ‌های بهتری برای مسئله مورد نظر محسوب می‌شوند، شانس بیشتری برای تولید مجدد جواب‌های مسئله پیدا می‌کنند.

در مرحله تولیدمثل سه عملگر مهم و کلیدی وجود دارد: (۱) عملگر انتخاب: با استفاده از این عملگر از بین کروموزوم‌های موجود در جمعیت تعدادی برای تولیدمثل انتخاب می‌شوند. انتخاب کروموزوم‌ها به صورت تصادفی اتفاق می‌افتد اما باید به گونه‌ای باشد که کروموزوم‌هایی که شایستگی بیشتر دارند، احتمال بیشتری برای انتخاب داشته باشند. (۲) عملگر همبندی: این عملگر بر روی دو یا چند والد اعمال می‌شود و با ادغام و یا تعویض برخی از ژن‌ها دو یا چند فرزند تولید می‌شود. (۳) عملگر جهش^۳: این عملگر یک یا چند ژن را به صورت تصادفی تغییر می‌دهد.

۵-۲-۵-۲ استخراج ویژگی‌های چهره

که x و y موقعیت فعلی یک پیکسل، x' و y' موقعیت جدید پیکسل در ماتریس دوبعدی تصویر و N ابعاد تصویر (با فرض مربعی بودن تصویر) را نشان می‌دهند.

به عنوان مثال، سه کانال رنگ آبی، سبز و قرمز تصویر لنا جداسازی شده و پیکسل‌های هر سه کانال رنگ به ازای پارامترهای مختلف جابه‌جا شده‌اند. برای کانال آبی پارامترهای $p = 12$ و $q = 71$ برای کانال سبز پارامترهای $p = 10$ و $q = 3$ و کانال قرمز پارامترهای $p = 1$ و $q = 2$ استفاده شده است. نتایج جابه‌جایی پیکسل‌های هر سه کانال رنگ در شکل (۱) نشان داده شده است.



شکل (۱). اعمال نگاشت آشوب آرنولد بر روی سه کانال رنگ تصویر لنا. الف: کانال رنگ قرمز به ازای پارامترهای $p = 1$ و $q = 2$ ب: کانال رنگ سبز به ازای پارامترهای $p = 10$ و $q = 3$ ج: کانال رنگ آبی به ازای پارامترهای $p = 12$ و $q = 71$

۳-۲-۳-۲ نگاشت لورنز

سیستم لورنز یک سیستم دیفرانسیل معمولی، غیرخطی و سه‌بعدی است که در سال ۱۹۶۳ توسط ادوارد لورنز^۱ به منظور مدل‌سازی ریاضی همرفت جوی معرفی شد [۳۲]. سیستم لورنز استاندارد، دارای سه پارامتر σ ، ρ و β هستند که به صورت رابطه (۳) معرفی می‌شود.

$$\begin{cases} \dot{x} = \sigma(y - x) \\ \dot{y} = x(\rho - z) - y \\ \dot{z} = xy - \beta z \end{cases} \quad (3)$$

که σ ، ρ و β مقادیر مثبت هستند که به ترتیب به ازای مقادیر ۱۰، ۲۸ و $\frac{8}{3}$ سیستم رفتار آشوبناک نشان خواهد داد.

$x_0 = 0.27$ ، $y_0 = 1.0$ و $z_0 = 0.63$ توابعی برحسب زمان هستند که مقادیر جدید را بر اساس مقادیر قبلی دنباله تولید می‌کنند. در شکل (۲) مثالی از رفتار سیستم لورنز به ازای مقادیر

^۲ Chromosome

^۳ Mutation

^۱ Edward Norton Lorenz

از بایت‌ها تبدیل می‌شود و به‌عنوان ورودی به تابع محاسبه چکیده اعمال می‌شود و یک خروجی ۵۱۲ بیتی که متأثر از تمام پیکسل‌های تصویر است را نتیجه می‌دهد.

۳-۲-۲-۳-۲ کلید عمومی و خصوصی

از جفت کلیدهای عمومی و خصوصی در فرآیند رمزگشایی و احراز هویت استفاده می‌شود. در روش پیشنهادی از کلیدهای ۱۰۲۴ بیتی که توسط الگوریتم RSA تولید می‌شوند استفاده می‌شود.

۳-۳-۳-۳ بردار ویژگی‌های چهره

اطلاعات چهره فرد رمزگذار با استفاده از الگوریتم‌های معرفی شده در بخش ۲-۵ استخراج و کدگذاری می‌شوند؛ و خروجی نهایی یک بردار است که دارای ۱۲۸ درایه اعشاری است و هر درایه نشان‌دهنده یک یا ترکیبی از چند ویژگی چهره مانند فاصله دو چشم، طول لب‌ها و... است.

۳-۴-۳-۴ مقادیر اولیه نگاشت لورنز

همان‌طور که در بخش ۲-۳ نگاشت لورنز بررسی شد، این نگاشت به سه مقدار اولیه نیاز خواهد داشت. در روش پیشنهادی ابتدا تصویر همانند شکل (۳) به چهار قسمت تقسیم می‌شود سپس به ازای هر قسمت سه دنباله آشوب برای رمزنگاری سه کانال رنگ تولید می‌شود؛ بنابراین به ۱۲ دنباله آشوب نیاز است که به این منظور باید ۱۲ مقدار اولیه مشخص شوند.

برای تولید مقادیر اولیه نگاشت، ابتدا توسط الگوریتم SHA-512 چکیده سه داده، چکیده تصویر، بردار ویژگی‌های چهره و کلید عمومی محاسبه می‌شود. رشته ۵۱۲ بیتی نهایی به چهار قسمت مساوی ۱۲۸ بیتی تقسیم می‌شود. در مرحله بعد هر قسمت ۱۲۸ بیتی به سه رشته ۴۰ بیتی تقسیم می‌شود. در اینجا از ۸ بیت کم ارزش هر کدام از رشته‌های ۱۲۸ بیتی صرف نظر می‌شود. سپس بیت‌های هر کدام از رشته‌های ۴۰ بیتی دوبه‌دو (بیت‌های مجاور) با یکدیگر XOR می‌شوند. در آخرین مرحله سه بردار ۳۹ بیتی دودویی به سه عدد ده‌دهی تبدیل می‌شوند.

سه عدد به‌دست‌آمده طبق رابطه (۴) به سه عدد بین ۰ و ۱ تبدیل خواهند شد. با تکرار مراحل ذکر شده برای ۴ قسمت تصویر و هر سه کانال رنگ، ۱۲ مقدار اولیه بین ۰ و ۱ برای نگاشت آشوب لورنز به دست می‌آید.

$$x_i, y_i, z_i = \frac{b2d(\bar{x}) \% 2^8}{2^8} \quad (4)$$

که در رابطه (۴)، \bar{x} بردار ۳۹ بیتی، $b2d()$ تابعی برای تبدیل عدد دودویی به عددی ده‌دهی و $\%$ عملگر محاسبه باقی‌مانده تقسیم است؛ بنابراین مقادیر اولیه نگاشت متأثر از کلید عمومی، ویژگی‌های چهره و مقادیر پیکسل‌های هر سه کانال رنگ

استفاده از ویژگی‌های بیومتریک در فرآیند تولید کلید و احراز هویت اولین بار در سال ۱۹۹۴ مطرح شد [۳۴]. در این‌گونه روش‌ها می‌توان از ویژگی‌هایی مانند چهره، اثر انگشت، قریه، صوت و ... استفاده کرد که به دلیل منحصربه‌فرد بودن اطلاعات نسبت به سایر افراد، و عدم نیاز به نگهداری امن این ویژگی‌ها در بسیاری از کاربردهای رمزنگاری و احراز هویت استفاده می‌شوند [۳۵]. ویژگی‌های چهره یک فرد شامل اطلاعاتی است که در قالب برداری با مقادیر عددی شناخته می‌شود. هر کدام از مقادیر این بردار یک ویژگی را بیان می‌کند، مانند فاصله بین دو چشم، طول ابرو، فاصله بین لب تا چانه و... که برای هر فرد منحصربه‌فرد خواهد بود. استخراج ویژگی‌های چهره به‌صورت کلی در دو مرحله انجام می‌شود [۳۶]: (۱) شناسایی چهره^۱ (۲) کدگذاری چهره^۲.

(۱) شناسایی چهره: در این مرحله قسمتی از تصویر که چهره فرد را شامل می‌شود شناسایی می‌شود که می‌توان از الگوریتم‌های متنوعی مانند HOG، MTCNN و SVM استفاده کرد [۳۷-۳۹].

(۲) کدگذاری چهره: به‌منظور کدگذاری چهره می‌توان از شبکه‌های عصبی کانولوشن^۳ استفاده کرد. شبکه FaceNet در سال ۲۰۱۵ توسط محققان گوگل معرفی شد [۴۰]. آموزش این شبکه بر روی داده‌های LFW^۴ انجام شده و دقت تشخیص این مدل ۹۹/۶۳ درصد است. این روش به دلیل دقت بالاتر نسبت به روش‌هایی مانند VGG-Face و DeepID که به ترتیب دارای ۹۷/۷۸ و ۹۹/۱۵ درصد هستند در کاربردهای بیشتری استفاده می‌شود. خروجی این شبکه یک بردار عددی ۱۲۸ تایی است که هر مؤلفه از آن نشان‌دهنده‌ی یک ویژگی چهره است.

۳-۳-۳-۳ روش پیشنهادی

در این بخش روش پیشنهادی رمزنگاری تصویر بیان می‌شود. کلید رمزنگاری با استفاده از اطلاعات چهره کاربر، کلید عمومی و تصویر اصلی ساخته می‌شود. در فاز جانمایی پیکسل‌ها هر قسمت از تصویر با استفاده از یک دنباله شبه‌تصادفی جداگانه رمزنگاری می‌شود. در فاز جای‌گشت، به‌وسیله الگوریتم ژنتیک یک حالت بهینه برای به‌هم‌ریختن پیکسل‌ها انتخاب می‌شود تا همبستگی بین پیکسل‌ها به‌طور مناسبی کاهش یابد.

۳-۱-۳-۱-۳ چکیده تصویر

محاسبه چکیده تصویر به‌وسیله الگوریتم SHA-512 انجام می‌شود. برای محاسبه چکیده تصویر، ابتدا مقادیر پیکسل‌های هر سه کانال رنگ (در تصاویر خاکستری یک کانال رنگ) به رشته‌ای

¹ Face detection

² Face encoding

³ Convolutional neural network

⁴ Labeled Faces in the Wild

۳-۶-۶-۳ الگوریتم رمزنگاری

الگوریتم رمزنگاری پیشنهادی دارای دوفاز اصلی جانشینی (تغییر مقادیر پیکسل‌ها) و جای‌گشت (تغییر موقعیت پیکسل‌ها) است که در شکل (۵) نشان داده شده است. همچنین الگوریتم رمزنگاری و رمزگشایی مشابه هستند و تنها در برخی از پارامترهای ورودی متفاوت هستند. در روش پیشنهادی هر کانال رنگ به طور جداگانه رمزنگاری می‌شود. الگوریتم رمزنگاری شامل ۴ مرحله زیر است:

مرحله اول: استخراج ویژگی‌های بیومتریک چهره و محاسبه چکیده تصویر.

مرحله دوم: محاسبه ۱۲ مقدار اولیه نگاشت آشوب لورنز.

مرحله سوم: در این مرحله فاز جانشینی پیکسل‌ها انجام می‌شود. هر کدام از کانال‌های رنگ به چهار قسمت تقسیم می‌شوند و هر کدام از قسمت‌ها، با استفاده از یکی از دنباله‌های S_{ij} تولیدشده در بخش ۳-۵ رمزنگاری می‌شوند. برای رمزنگاری سه حالت در نظر گرفته می‌شود. اگر کانال رنگ قرمز باشد قسمت‌های اول تا چهارم این کانال به ترتیب به استفاده از دنباله‌های $S_{01}, S_{11}, S_{21}, S_{31}$ و اگر کانال رنگ سبز باشد قسمت‌های اول تا چهارم این کانال به ترتیب به استفاده از دنباله‌های $S_{02}, S_{12}, S_{22}, S_{32}$ و اگر کانال رنگ آبی باشد قسمت‌های اول تا چهارم این کانال به ترتیب به استفاده از دنباله‌های $S_{03}, S_{13}, S_{23}, S_{33}$ با استفاده از رابطه‌ی (۶) رمزنگاری می‌شوند.

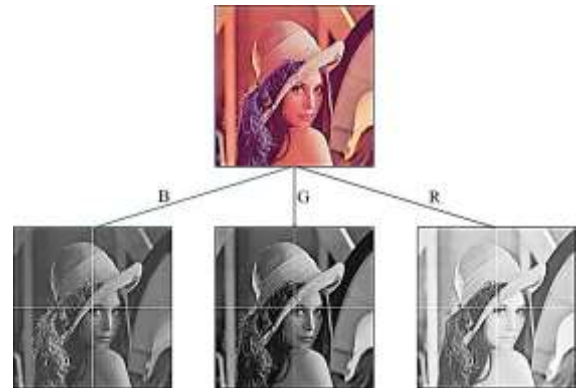
$$Pix_{New} = [Pix_{Old} \oplus round(S_{ij} \times 255)] \% 256 \quad (6)$$

که Pix_{New} مقدار جدید پیکسل، Pix_{Old} مقدار فعلی پیکسل، S_{ij} دنباله شبه تصادفی، $round$ عبارت ورودی را به نزدیک‌ترین عدد صحیح تبدیل می‌کند، \oplus علامت XOR و $\%$ علامت محاسبه باقی‌مانده است. بنابراین هر چهار قسمت کانال‌های رنگ رمزنگاری می‌شوند. سپس چهار قسمت هر کانال مجدد کنار یکدیگر قرار می‌گیرند.

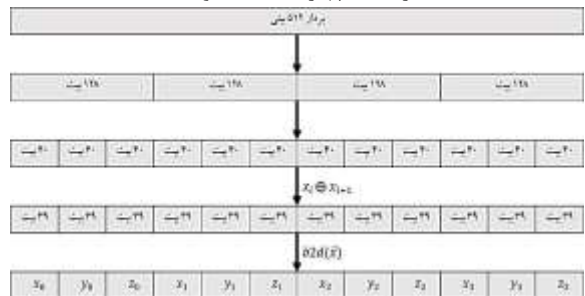
مرحله چهارم: در این مرحله فاز جای‌گشت انجام می‌شود و موقعیت پیکسل‌های رمز شده کانال‌های رنگ به‌دست‌آمده از مرحله قبل توسط نگاشت آرنولد که در بخش ۲-۲ معرفی شد، به‌هم‌ریخته می‌شوند. دو پارامتر اصلی a و b در نگاشت آرنولد به‌صورت ثابت تنظیم نمی‌شوند، بلکه توسط الگوریتم فراابتکاری ژنتیک بهترین پارامترها انتخاب می‌شوند. به‌منظور انتخاب بهترین پارامترهای نگاشت آرنولد توسط الگوریتم فراابتکاری ژنتیک مراحل زیر طی می‌شوند:

الف) مقداردهی اولیه عامل‌ها: در این مرحله جمعیت الگوریتم بهینه‌سازی را مقادیر مختلف پارامترهای a و b می‌سازند. بنابراین مسئله دارای دو متغیر است. هر کدام از متغیرها

خواهد بود. مراحل محاسبه مقادیر اولیه نگاشت آشوب در شکل (۴) نشان داده شده است.



شکل (۳). جداسازی کانال‌های رنگ تصویر لنا و تقسیم‌بندی هر کانال رنگ به چهار قسمت مساوی



شکل (۴). مراحل محاسبه دوازده مقدار اولیه برای نگاشت آشوب لورنز

۳-۵-۵-۳ تولید دنباله‌های شبه تصادفی

با استفاده از ۱۲ مقدار اولیه تولیدشده در بخش ۳-۴، ۱۲ دنباله شبه تصادفی تولید می‌شود. برای تولید دنباله از نگاشت آشوب لورنز با پارامترهای معرفی شده در بخش ۲-۳ استفاده می‌شود. ابتدا سه دنباله S_{01}, S_{02}, S_{03} با استفاده از سه مقدار اولیه x_0, y_0, z_0 تولید می‌شوند. سپس سه دنباله S_{11}, S_{12}, S_{13} با استفاده از سه مقدار اولیه x_1, y_1, z_1 تولید می‌شوند. به‌طور مشابه طبق رابطه (۵)، دوازده دنباله شبه تصادفی تولید می‌شوند.

$$\begin{aligned} S_{01}, S_{02}, S_{03} &= Lorenz_System(x_0, y_0, z_0) \\ S_{11}, S_{12}, S_{13} &= Lorenz_System(x_1, y_1, z_1) \end{aligned} \quad (5)$$

$$S_{21}, S_{22}, S_{23} = Lorenz_System(x_2, y_2, z_2)$$

$$S_{31}, S_{32}, S_{33} = Lorenz_System(x_3, y_3, z_3)$$

که در رابطه (۵)، $Lorenz_System(x_i, y_i, z_i)$ تابعی

است برای تولید سه دنباله شبه تصادفی با استفاده از سه مقدار اولیه ورودی و S_{ij} زامین دنباله تولیدشده با استفاده از i امین دسته مقادیر اولیه است. در روش پیشنهادی طول دنباله‌های تولیدشده با یکدیگر برابر، و برابر با تعداد پیکسل‌های یکی از چهار قسمت تصویر است بنابراین اگر تصویر اصلی N سطر و M ستون داشته باشد و چهار قسمت مساوی تقسیم شود، طول هر دنباله $M / 4 \times N / 4$ خواهد بود.

یک عدد صحیح مثبت هستند که در اینجا مقدار هر متغیر در بازه $[1, 65535]$ قرار می‌گیرد؛ یعنی برای هر متغیر ۱۶ بیت در نظر گرفته می‌شود. به‌عنوان مثال اگر جمعیت دارای ۱۰۰ عضو باشد و هر عضو دارای دو متغیر باشد، بنابراین یک ماتریس 100×32 به‌صورت تصادفی ساخته می‌شود.

(ب) ارزیابی عامل‌ها: پس از ساخت جمعیت اولیه نوبت به ارزیابی عامل‌ها است تا شایسته‌ترین عامل مشخص شود. برای ارزیابی عامل‌ها، تابع شایستگی؛ همبستگی بین پیکسل‌های تصویر تعریف می‌شود؛ یعنی به‌ازای متغیرهای a و b یک عامل، پیکسل‌های تصویر توسط نگاشت آرنولد به‌هم‌ریخته می‌شوند. سپس مقدار همبستگی پیکسل‌های سطر، ستون و قطر ماتریس به‌هم‌ریخته شده اندازه‌گیری می‌شود؛ بنابراین بهینه‌سازی بر روی سه هدف به‌طور هم‌زمان باید انجام شود. از این‌رو مسئله چند هدف را با استفاده از روش مجموع وزن‌دار اهداف، به یک مسئله تک هدف تبدیل می‌کنیم؛ بنابراین سه مقدار اندازه‌گیری شده با وزن‌های یکسان با یکدیگر جمع می‌شوند تا یک عدد صحیح را نتیجه دهند. عدد به‌دست‌آمده نشان‌دهنده شایستگی آن عامل خواهد بود و هر چه این مقدار کمتر باشد، شایستگی عامل بیشتر خواهد بود؛ بنابراین بهینه‌سازی مسئله، کمینه‌سازی تابع هدف است.

(ج) بروز رسانی جمعیت: عامل‌ها بر اساس شایستگی‌شان به‌روزرسانی می‌شوند و جمعیت مرحله بعد ساخته می‌شود (انتخاب، همبری، جهش).

(د) پاسخ نهایی: در نهایت پس از رسیدن به شرط توقف مسئله که در اینجا تعداد تکرارهای الگوریتم فراابتکاری تنظیم شده است، بهترین مقادیر a و b برای نگاشت آرنولد انتخاب می‌شوند و جای گشت تصویر انجام می‌شود.

۳-۷-۷-۳ کلید رمزنگاری

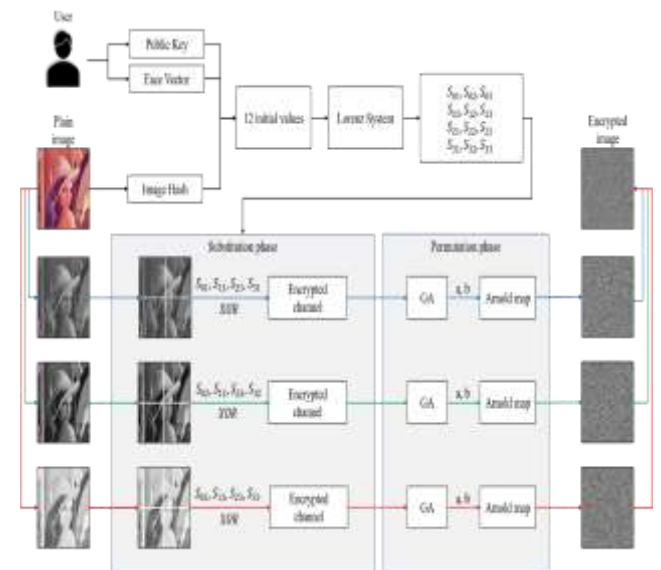
کلید رمزنگاری و رمزگشایی یکسان خواهند بود. همچنین کلید باید دارای طول قابل‌قبولی برای تأمین امنیت باشد. کلید با استفاده از اطلاعاتی که در رمزنگاری استفاده شده است ساخته می‌شود. ابتدا رشته ۵۱۲ بیتی حاصل از چکیده کلید عمومی، ویژگی‌های چهره و چکیده تصویر نیاز است. همچنین نگاشت لورنز دارای سه پارامتر اعشاری است بنابراین برای هر پارامتر ۶۴ بیت در نظر گرفته می‌شود که در مجموع ۱۹۲ بیت نیاز خواهد داشت. آخرین قسمت کلید شامل پارامترهای نگاشت آرنولد خواهد بود که در فاز جای‌گشت تصویر استفاده شده‌اند. برای هر متغیر به ۱۶ بیت نیاز است که در مجموع برای ۶ متغیر در تصاویر رنگی (۲ متغیر به‌ازای هر کانال رنگ) و ۲ متغیر در تصاویر خاکستری به ترتیب ۹۶ و ۳۲ بیت نیاز است؛ بنابراین در تصاویر رنگی طول کلید ۸۰۰ بیت و در تصاویر خاکستری ۷۳۶ بیت خواهد بود. ترتیب قرارگیری اطلاعات و ساخت کلید این‌گونه خواهد بود که ابتدا رشته ۵۱۲ بیتی در سمت چپ، پس‌از آن رشته ۱۹۲ بیتی و در آخر رشته ۹۶ بیتی یا ۳۲ بیتی بسته به نوع تصویر کنار یکدیگر قرار می‌گیرند.

۳-۸-۸-۳ ذخیره کلید در زنجیره بلوکی

به‌منظور نگهداری ایمن کلید رمزنگاری و همچنین احراز هویت کاربر، پس از رمزنگاری تصویر، کلید تولیدشده در بخش ۳-۷ و بردار ویژگی‌های چهره کاربر در یک شبکه زنجیره بلوکی ذخیره‌سازی می‌شوند. در شبیه‌سازی زنجیره بلوکی روش پیشنهادی، از IPFS^۱ مبتنی بر اتریوم^۲ با استفاده از زبان برنامه‌نویسی Golang استفاده شده است. ساختار بلوک‌ها در شبکه در شکل (۶) نشان داده شده است. هر بلوک دارای دو قسمت اصلی تیترا^۳ و بدنه^۴ است. در قسمت تیترا؛ نسخه شبکه زنجیره بلوکی، مهر زمانی^۵، رشته Nonce، درجه سختی، چکیده بلوک قبل و ریشه درخت مرکل قرار می‌گیرد. در قسمت بدنه بلوک تراکنش‌ها قرار می‌گیرند، هر تراکنش به‌صورت رابطه (۷) تعریف می‌شود.

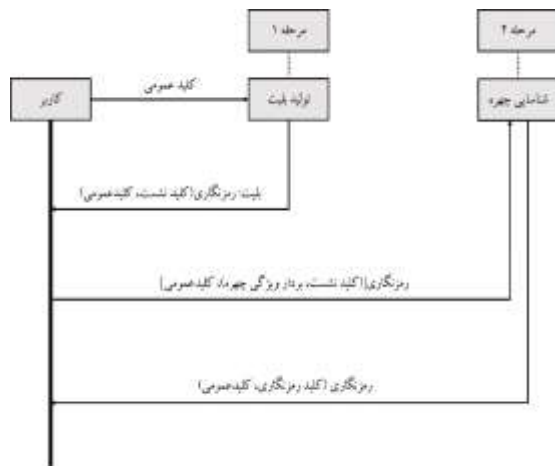
$$Transaction = Enc[(Face Vector, Key), Public Key] \quad (7)$$

که $Enc(x, Public Key)$ رمزنگاری داده x با استفاده



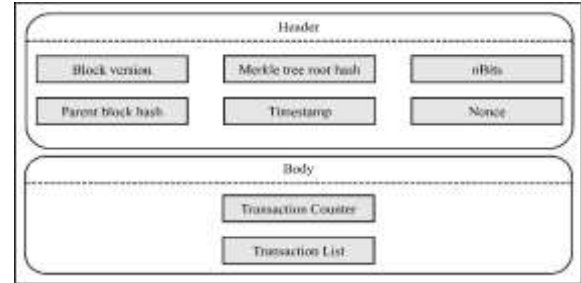
شکل (۵). شماتیک الگوریتم رمزنگاری پیشنهادی که دارای دو فاز اصلی جانشینی و جایگشت است.

¹ InterPlanetary File System
² Ethereum
³ Header
⁴ Body
⁵ Timestamp



شکل (۷). احراز هویت دو مرحله‌ای به منظور رمزگشایی تصویر

از الگوریتم RSA و کلید عمومی *Public Key*، *Face Vector* بردار ویژگی‌های چهره و *Key* کلید ۸۰۰ بیتی (تصاویر رنگی) یا ۷۳۶ بیتی (تصاویر خاکستری) است.



شکل (۶). ساختار یک بلوک در زنجیره بلوکی

۳-۹-۹-۳ رمزگشایی و احراز هویت

به منظور رمزگشایی تصاویر دو مرحله احراز هویت اجرا می‌شود. سیستم احراز هویت دو مرحله‌ای روش پیشنهادی در شکل (۷) نشان داده شده است. در اولین مرحله کاربر برای رمزگشایی تصویر، کلید عمومی خود را به عنوان یک شناسه کاربری ارسال می‌کند. سیستم یک بلیت (پیام) که حاوی کلید موقت نشست است را با استفاده از کلید عمومی کاربر رمزنگاری و برای کاربر ارسال می‌کند. تنها، فردی می‌تواند به کلید نشست دسترسی پیدا کند که بتواند بلیت را با استفاده از کلید خصوصی‌اش رمزگشایی کند. همچنین ارائه بلیت برای رسیدن به مرحله دوم الزامی است. در مرحله دوم، تصویری از چهره فرد دریافت می‌شود. سپس بردار ویژگی‌های چهره استخراج می‌شود. ویژگی‌های چهره دریافتی با بردار ویژگی‌های چهره ذخیره شده در زنجیره بلوکی مطابق بخش ۳-۱۰-۳ مطابقت داده می‌شوند. اگر تأیید شود که چهره فرد درخواست کننده با چهره فرد رمزنگار یکسان است (درخواست کننده همان فرد رمزگذار است) کلید مورد نیاز رمزگشایی که در زنجیره بلوکی ذخیره شده است، برای کاربر ارسال می‌شود. پس از دریافت کلید رمزنگاری، فرآیند رمزگشایی معکوس رمزنگاری خواهد بود.

۳-۱۰-۱۰-۳ تطابق چهره

به منظور مشخص کردن انطباق دو چهره کافی است که بردار ویژگی‌های دو چهره استخراج شوند. سپس فاصله بین دو بردار اندازه گیری شود. اگر فاصله بین دو بردار از یک حد آستانه بیشتر باشد انطباق دو چهره رد می‌شود؛ اما اگر فاصله از حد آستانه کمتر باشد، انطباق چهره‌ها تأیید می‌شود. برای اندازه گیری فاصله دو بردار از فاصله اقلیدسی استفاده می‌شود:

فاصله اقلیدسی: فاصله بردار ویژگی اول x و بردار ویژگی دوم y طبق رابطه (۸) محاسبه می‌شود.

$$d(x, y) = \sqrt{\sum_{i=1}^n (x_i - y_i)^2} \quad (8)$$

که $i = 1, 2, \dots, n$ اندیس ویژگی‌ها و n تعداد ویژگی‌ها است. مقادیر حد آستانه به صورت آزمایشی و تجربی به دست آمده‌اند که بسته به مدل یادگیری متفاوت هستند. مقادیر حد آستانه برای مدل FaceNet، برای فاصله‌های اقلیدسی و اقلیدسی نرمال شده، مقادیر ۱۰ و ۰/۸ هستند.

۴-۴-۴ ارزیابی و نتایج

برای بررسی عملکرد و کارایی یک الگوریتم رمزنگاری، نیاز است آزمایش‌هایی بر روی نتایج به دست آمده از آن الگوریتم صورت گیرد. در الگوریتم‌های رمزنگاری تصاویر، هدف اصلی آزمایش‌ها سنجش میزان امنیت الگوریتم و مقاومت در برابر انواع حملات است. در آزمایش‌های انجام شده از الگوریتم ژنتیک دودویی با اندازه جمعیت ۱۰۰ استفاده شده است. برای هر متغیر ۱۶ بیت در

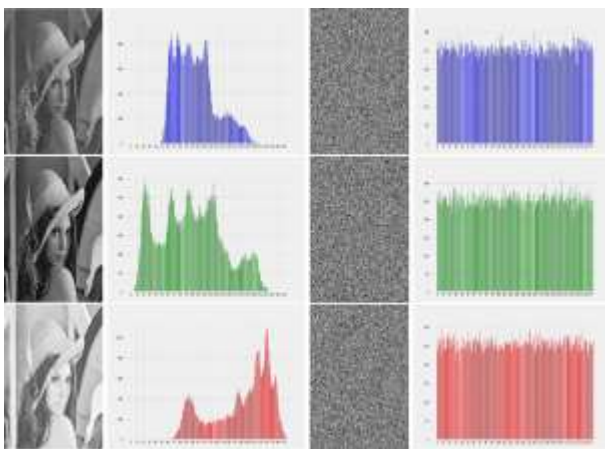
نظر گرفته شده است.

۲-۴-۲-۴ تحلیل هیستوگرام

هیستوگرام^۳ توزیع مقادیر پیکسل یک تصویر را نشان می‌دهد. هیستوگرام تصویر اصلی باید کاملاً با هیستوگرام تصویر رمزنگاری شده متفاوت باشد.

هیستوگرام تصاویر اصلی ماهیت غیریکنواختی دارند. در حالی که هیستوگرام تصاویر رمزنگاری شده باید ماهیت یکنواخت داشته باشند؛ یعنی همه پیکسل‌ها به طور مساوی در فضا توزیع شده باشند.

در شکل (۸) هیستوگرام تصویر، قبل و بعد از رمزنگاری ترسیم شده است. همان‌طور که گفته شد، هیستوگرام تصویر رمز



شده به حالت یکنواخت تبدیل شده است.

شکل (۸). نمودار هیستوگرام تصویر نمونه لنا به ازای سه کانال رنگ، قبل و بعد از رمزنگاری

جدول (۱). مقادیر دو معیار NPCR و UACI برای شش تصویر نمونه

تصویر اندازه	معیار	کانال رنگ		
		قرمز	سبز	آبی
Lena 256	NPCR(%)	۹۹/۶۳۱۷	۹۹/۶۵۰۱	۹۹/۶۲۵۹
	UACI(%)	۳۳/۴۱۴۷	۳۳/۴۳۹۸	۳۳/۴۰۳۶
House 256	NPCR(%)	۹۹/۶۰۰۱	۹۹/۶۱۷۲	۹۹/۶۱۶۳
	UACI(%)	۳۳/۴۳۲۵	۳۳/۵۷۰۲	۳۳/۴۱۶۸
Jelly bean 256	NPCR(%)	۹۹/۶۱۶۹	۹۹/۶۲۲۱	۹۹/۶۱۵۶
	UACI(%)	۳۳/۴۱۱۸	۳۳/۴۱۹۸	۳۳/۴۲۶۰
Peppers 512	NPCR(%)	۹۹/۶۰۹۵	۹۹/۶۱۰۳	۹۹/۶۱۱۲
	UACI(%)	۳۳/۴۳۳۵	۳۳/۴۴۷۵	۳۳/۴۴۷۰

روش‌های استفاده شده در مراحل مختلف الگوریتم ژنتیک به شرح زیر می‌باشد: ۱- عملگر انتخاب: انتخاب تورنمنت^۱؛ ۲- مقیاس کردن شایستگی: انتخاب بولتزمن^۲؛ ۳- عملگر همبندی: غیریکنواخت مبتنی بر ماسک الگو. ۴- تعداد تکرارها: ۳۰ تکرار. همچنین در تمام آزمایش‌ها نرخ جهش و همبندی به ترتیب برابر با ۰/۰۵ و ۰/۹ است.

۴-۱-۱-۴ تحلیل تفاضلی

تحلیل تفاضلی بر پایه میزان حساس بودن الگوریتم رمزنگاری در برابر تغییرات ورودی است. بدین معنا که کوچک‌ترین تغییر در ورودی حتی به اندازه یک بیت باعث تغییر حداقل ۵۰ درصدی در خروجی شود [۴۱]. این نوع تحلیل دارای دو معیار NPCR و UACI است [۴۲].

NPCR به عنوان درصد اختلاف تعداد پیکسل‌های دو تصویر رمز شده است که یکی از تصاویر؛ تصویر اصلی است و تصویر دوم، تصویر اصلی با یک تغییر جزئی خواهد بود. معیار NPCR طبق رابطه (۹) اندازه‌گیری می‌شود.

$$NPCR = \frac{\sum_{i,j} D(i,j)}{W \times H} \times 100 \quad (9)$$

$$D(i,j) = \begin{cases} 0 & \text{if } E(i,j) = \hat{E}(i,j) \\ 1 & \text{if } E(i,j) \neq \hat{E}(i,j) \end{cases}$$

که W و H به ترتیب عرض و طول تصویر، $D(i,j)$ تفاوت بین پیکسل‌های متناسط تصویر رمزگذاری شده تصویر اصلی ($E(i,j)$) و تصویر تغییر یافته ($\hat{E}(i,j)$) را نشان می‌دهد.

UACI میانگین اختلاف بین دو تصویر (یک تصویر اصلی و یک تصویر تغییر یافته) رمزنگاری شده را اندازه‌گیری می‌کند که طبق رابطه (۱۰) تعریف می‌شود.

$$UACI = \frac{\sum_{i,j} E(i,j) - \hat{E}(i,j)}{255 \times W \times H} \times 100 \quad (10)$$

در جدول (۱) نتایج آزمایش دو معیار NPCR و UACI برای تصویر رمز شده به ازای هر سه کانال رنگ آورده شده است. مقادیر $UACI > ۳۳/۴$ و $NPCR > ۹۹/۶$ تضمین می‌کند که یک الگوریتم رمزنگاری تصویر در برابر حمله تفاضلی مقاوم است [۴۳].

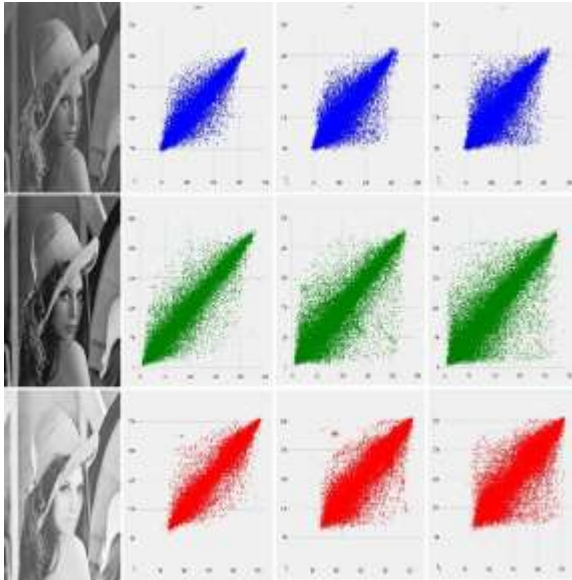
با توجه به جدول (۱)، الگوریتم رمزنگاری دارای حساسیت مناسبی در برابر تغییرات جزئی است و توانسته است مقادیر بالایی برای دو معیار NPCR و UACI را کسب کند.

³ Histogram

¹ Tournament selection

² Boltzmann selection

است. باتوجه به شکل (۹)، نمودارهای ترسیم شده همانند نمودار خطی تابع $f(x) = y$ است. بدین معنا که پیکسل‌ها دارای رابطه‌ای خطی هستند؛ اما در شکل (۱۰)، پس از رمزنگاری تصویر، روابط بین پیکسل‌ها به کلی از بین رفته است.



شکل (۹). نمودار نقطه‌ای همبستگی پیکسل‌های سه کانال رنگ برای تصویر لنا

تصویر اندازه	معیار	کانال رنگ		
		آبی	سبز	قرمز
Mandrill 512	NPCR(%)	۹۹/۶۰۷۴	۹۹/۶۰۸۵	۹۹/۶۲۳۵
	UACI(%)	۳۳/۴۶۹۲	۳۳/۴۶۲۱	۳۳/۵۶۳۸
Aircraft 512	NPCR(%)	۹۹/۶۱۹۲	۹۹/۶۰۵۲	۹۹/۶۲۶۷
	UACI(%)	۳۳/۴۳۷۳	۳۳/۴۳۶۰	۳۳/۴۳۴۴
White 256	NPCR(%)	۹۹/۶۰۷۳	۹۹/۵۹۸۷	۹۹/۶۳۵۸
	UACI(%)	۳۳/۵۰۱۸	۳۳/۴۷۱۶	۳۳/۵۳۹۸
Black 256	NPCR(%)	۹۹/۶۰۸۱	۹۹/۵۸۹۷	۹۹/۶۱۵۰
	UACI(%)	۳۳/۴۱۹۷	۳۳/۳۹۸۳	۳۳/۴۲۵۸

۴-۳-۳-۴ ضریب همبستگی

ضریب همبستگی برای یافتن شباهت بین پیکسل‌های متناظر یک تصویر اصلی و رمزنگاری شده استفاده می‌شود. مقادیر پیکسل‌های مجاور یک تصویر اصلی در سه جهت افقی، مورب و عمودی دارای ضریب همبستگی بالایی هستند. در حالی که یک الگوریتم رمزنگاری مناسب ضریب همبستگی پیکسل‌های تصویر رمز شده را کاهش می‌دهد. ضریب همبستگی طبق رابطه (۱۱) محاسبه می‌شود.

$$r_{x,y} = \frac{C(x,y)}{\sqrt{D(x)} \cdot \sqrt{D(y)}}$$

$$C(x,y) = \frac{\sum_{i=1}^K (x_i - E(x))(y_i - E(y))}{K}$$

$$D(x) = \frac{1}{K} \sum_{i=1}^K (x_i - E(x))^2 \quad (11)$$

$$D(y) = \frac{1}{K} \sum_{i=1}^K (y_i - E(y))^2$$

که $C(x,y)$ کوواریانس^۱، x و y مختصات تصویر، K تعداد جفت پیکسل‌های (x_i, y_i) ، $D(x)$ و $D(y)$ به ترتیب انحراف معیار x و y ، و $E(x)$ میانگین پیکسل‌های x_i است. در جدول (۲)، نتایج میزان همبستگی پیکسل‌های شش تصویر به ازای سه کانال رنگ، و برای هر سه جهت عمودی، افقی و قطری اندازه‌گیری شده است. باتوجه به مقادیر جدول (۲)، الگوریتم رمزنگاری به خوبی توانسته است همبستگی بین پیکسل‌ها را از بین ببرد.

همچنین برای درک بهتر چگونگی تغییر همبستگی پیکسل‌ها قبل و بعد از رمزنگاری، نمودار نقطه‌ای پیکسل‌ها به ازای سه کانال رنگ و سه جهت عمودی، افقی و قطری ترسیم شده است که در شکل‌های (۹) و (۱۰) نشان داده شده

¹ Covariance

جدول (۲). مقادیر همبستگی پیکسل‌های کانال‌های رنگ تصاویر

تصویر اندازه	کانال رنگ	جهت همبستگی		
		عمودی	افقی	قطری
Lena 256	قرمز	-۰/۱۸۳۵	-۰/۱۵۴۶	-۰/۰۴۰۳
	سبز	-۰/۰۱۲۴	-۰/۱۸۱۷	-۰/۱۹۰۹
	آبی	-۰/۱۴۹۷	-۰/۰۹۵۹	-۰/۱۵۳۱
House 256	قرمز	-۰/۱۸۸۴	-۰/۱۰۶۰	-۰/۱۱۲۵
	سبز	-۰/۱۵۸۸	-۰/۱۰۰۱	-۰/۱۲۵۳
	آبی	-۰/۱۳۸۲	-۰/۰۹۷۶	-۰/۱۴۶۰
Jelly bean 256	قرمز	-۰/۰۸۲۴	-۰/۲۲۰۸	-۰/۱۹۱۰
	سبز	-۰/۲۶۹۵	-۰/۱۲۷۷	-۰/۰۹۷۳
	آبی	-۰/۰۳۳۴	-۰/۱۴۴۱	-۰/۲۴۴۸
Peppers 512	قرمز	-۰/۱۳۴۲	-۰/۱۹۶۷	-۰/۱۱۹۹
	سبز	-۰/۱۳۴۹	-۰/۱۶۴۷	-۰/۱۲۶۶
	آبی	-۰/۱۰۱۱	-۰/۱۶۷۰	-۰/۱۵۴۸
Mandrill 512	قرمز	-۰/۰۹۹۷	-۰/۱۵۳۲	-۰/۱۲۱۴
	سبز	-۰/۲۰۷۶	-۰/۰۹۸۵	-۰/۱۱۹۲
	آبی	-۰/۱۵۰۷	-۰/۰۸۷۳	-۰/۱۴۶۰
Aircraft 512	قرمز	-۰/۲۰۰۳	-۰/۱۰۳۹	-۰/۱۳۴۶
	سبز	-۰/۱۶۷۴	-۰/۲۵۴۵	-۰/۱۰۴۱
	آبی	-۰/۲۷۱۰	-۰/۱۲۶۹	-۰/۰۷۳۷
White 256	قرمز	-۰/۱۴۹۷	-۰/۱۰۵۸	-۰/۱۷۲۶
	سبز	-۰/۱۸۵۹	-۰/۱۵۳۰	-۰/۱۸۷۱
	آبی	-۰/۱۶۶۲	-۰/۰۹۸۰	-۰/۱۶۶۸
Black 256	قرمز	-۰/۱۵۷۳	-۰/۱۶۹۶	-۰/۱۴۲۰
	سبز	-۰/۱۳۸۹	-۰/۱۸۲۰	-۰/۱۲۳۵
	آبی	-۰/۱۳۶۲	-۰/۱۶۳۰	-۰/۰۹۹۷

به دست فردی مخرب می‌رسد و بخشی از تصویر را تخریب می‌کند که به نام حمله برش شناخته می‌شود. در این صورت زمان رمزگشایی تصویر، اطلاعات تصویر از بین رفته است و تصویر رمزگشایی شده، متفاوت از تصویر اصلی خواهد بود.

اگر الگوریتم رمزنگاری مناسب باشد (توزیع مناسب پیکسل‌ها، از بین بردن اطلاعات آماری) حتی پس از تخریب بخشی از تصویر، تصویر رمزگشایی شده همچنان قابل استفاده خواهد بود و تنها بر اساس میزان تخریب، تصویر دچار نویز می‌شود.

به منظور سنجش مقاومت الگوریتم رمزنگاری در برابر حمله برش، تصویر رمزنگاری شده با درصدهای مختلفی تخریب می‌شود و سپس رمزگشایی می‌شود. نتایج آزمایش با درصد تخریب ۶٪، ۲۵٪ و ۵۰٪ برای کانال آبی تصویر نمونه لنا در تصویر (۱۱) قابل مشاهده است.

در آزمایش دیگری ۲۵ درصد هر سه کانال رنگ در موقعیت‌های متفاوت تخریب می‌شوند و تصویر رنگی نهایی رمزگشایی می‌شود. نتیجه آزمایش در شکل (۱۲) نشان داده شده است.

باتوجه به نتایج حاصل شده، می‌توان نتیجه گرفت که

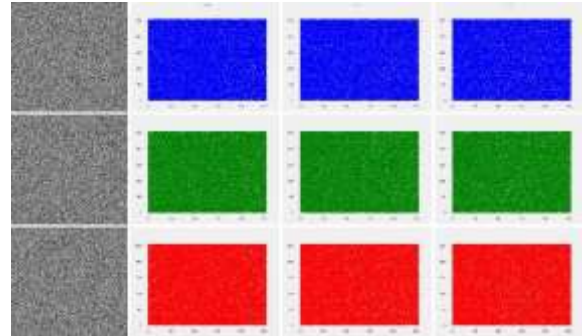
۴-۴-۴-۴ آنتروپی

آنتروپی میانگین اطلاعات هر بیت در یک تصویر را اندازه‌گیری می‌کند که شامل اطلاعات احتمالی موجود در تصویر است. هر پیکسل مقدار متفاوتی دارد؛ بنابراین، آنتروپی یک تصویر رمزنگاری شده به این معنی است که هر پیکسل احتمال برابری با توزیع یکنواخت دارد. آنتروپی طبق رابطه (۱۲) محاسبه می‌شود.

$$H(S) = - \sum_s (P(s_i) \times \log_2 P(s_i)) \quad (12)$$

که $H(S)$ نشان‌دهنده محاسبه آنتروپی برای داده S و $P(s_i)$ احتمال رخداد s_i است. مقدار آنتروپی برای تصاویر ۸ بیتی بین بازه [0,8] قرار می‌گیرد. برای بررسی میزان آنتروپی تصاویر رمزنگاری شده، آنتروپی شش تصویر نمونه پس از رمزنگاری محاسبه شده است و نتایج آن به ازای هر سه کانال رنگ در جدول (۳) آورده شده است.

باتوجه به جدول (۳) مقدار آنتروپی تمامی آزمایش‌ها بسیار نزدیک به حد نهایی آنتروپی (عدد ۸) برای یک تصویر ۸ بیتی است.



شکل (۱۰). نمودار نقطه‌ای همبستگی پیکسل‌های سه کانال رنگ برای تصویر رمز شده لنا

جدول (۳). مقدار آنتروپی شش تصویر نمونه پس از رمزنگاری به ازای سه کانال رنگ

تصویر اندازه	آنتروپی		
	آبی	سبز	قرمز
Lena 256	۷/۹۹۷۲	۷/۹۹۷۴	۷/۹۹۶۹
House 256	۷/۹۹۷۴	۷/۹۹۷۱	۷/۹۹۷۳
Jelly bean 256	۷/۹۹۷۰	۷/۹۹۷۱	۷/۹۹۷۲
Peppers 512	۷/۹۹۹۲	۷/۹۹۹۳	۷/۹۹۹۳
Mandrill 512	۷/۹۹۹۲	۷/۹۹۹۱	۷/۹۹۹۴
Aircraft 512	۷/۹۹۹۳	۷/۹۹۹۰	۷/۹۹۹۲
White 256	۷/۹۹۷۰	۷/۹۹۷۲	۷/۹۹۷۴
Black 256	۷/۹۹۶۸	۷/۹۹۷۳	۷/۹۹۷۱

۴-۵-۴-۴ آزمایش داده‌های از دست‌رفته

در این آزمایش فرض می‌شود که تصویر رمز شده در زمان انتقال

جدول (۴). کلیدهای رمز تغییر یافته

کلید رمز	پارامترهای کلید
Key 1	{main vector, $\sigma, \rho, \beta, a_b, b_b, a_g, b_g, a_r, b_r$ }
Key 2	{main vector, $\hat{\sigma}, \rho, \beta, a_b, b_b, a_g, b_g, a_r, b_r$ }
Key 3	{main vector, $\sigma, \hat{\rho}, \beta, a_b, b_b, a_g, b_g, a_r, b_r$ }
Key 4	{main vector, $\sigma, \rho, \hat{\beta}, a_b, b_b, a_g, b_g, a_r, b_r$ }
Key 5	{main vector, $\sigma, \rho, \beta, \hat{a}_b, b_b, a_g, b_g, a_r, b_r$ }
Key 6	{main vector, $\sigma, \rho, \beta, a_b, \hat{b}_b, a_g, b_g, a_r, b_r$ }
Key 7	{main vector, $\sigma, \rho, \beta, a_b, b_b, \hat{a}_g, b_g, a_r, b_r$ }
Key 8	{main vector, $\sigma, \rho, \beta, a_b, b_b, a_g, \hat{b}_g, a_r, b_r$ }
Key 9	{main vector, $\sigma, \rho, \beta, a_b, b_b, a_g, b_g, \hat{a}_r, b_r$ }
Key 10	{main vector, $\sigma, \rho, \beta, a_b, b_b, a_g, b_g, a_r, \hat{b}_r$ }

جدول (۵). مقادیر NPCR برای تصویر رمز شده با کلید اصلی و تغییر یافته.

کلید رمز	NPCR		
	قرمز	سبز	آبی
Key 1	۹۹/۶۰۴۶	۹۹/۵۸۷۰	۹۹/۵۹۳۰
Key 2	۹۹/۵۸۸۰	۹۹/۶۰۰۲	۹۹/۶۰۴۸
Key 3	۹۹/۶۰۴۲	۹۹/۶۱۶۴	۹۹/۵۸۵۱
Key 4	۹۹/۶۱۱۲	۹۹/۶۲۰۳	۹۹/۵۸۷۲
Key 5	۹۹/۶۰۴۰	۹۹/۵۸۶۷	۹۹/۵۸۱۶
Key 6	۹۹/۵۹۵۲	۹۹/۵۹۸۴	۹۹/۶۱۹۲
Key 7	۹۹/۵۸۵۵	۹۹/۵۸۲۸	۹۹/۶۲۹۱
Key 8	۹۹/۵۹۹۸	۹۹/۶۰۵۰	۹۹/۶۱۰۸
Key 9	۹۹/۶۰۸۵	۹۹/۶۲۶۲	۹۹/۶۱۴۸
Key 10	۹۹/۶۱۹۹	۹۹/۶۱۰۳	۹۹/۶۰۹۸

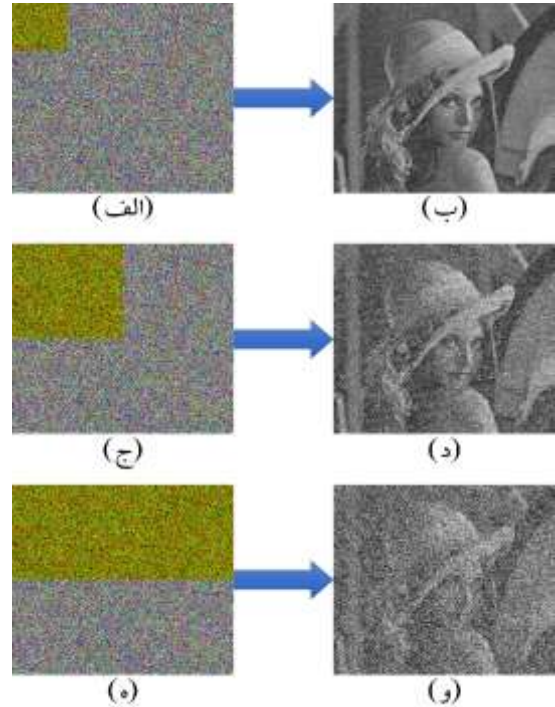
۴-۶-۴ تحلیل کلید رمز

همان طور که در بخش ۳-۷ اشاره شد، کلید رمزنگاری برای تصاویر رنگی و خاکستری، به ترتیب دارای ۸۰۰ و ۷۳۶ بیت است؛ بنابراین باتوجه به طول مناسب کلید، الگوریتم رمزنگاری در برابر حمله Brute Force مقاوم خواهد بود. از طرفی بخش ابتدایی کلید (۵۱۲ بیت ابتدا) چکیده سه داده کلید عمومی، بردار ویژگی های چهره و تصویر اصلی است؛ بنابراین تغییر یک بیت در داده های ذکر شده منجر به تغییر کل کلید رمز می شود، زیرا مقادیر اولیه نگاشت لورنز، از چکیده داده ها حاصل می شود. برای بررسی حساسیت الگوریتم رمزنگاری نسبت به کلید رمز، ابتدا تصویر نمونه لسا با کلید اصلی

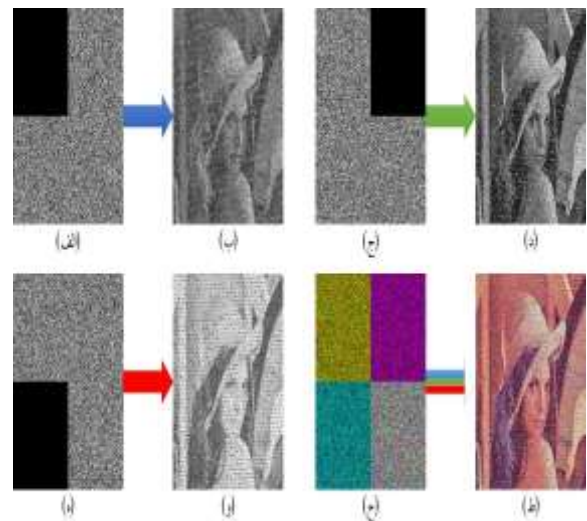
$$Key = \{main\ vector, \sigma, \rho, \beta, a_b, b_b, a_g, b_g, a_r, b_r\}$$

رمزنگاری می شود. سپس هر بخش از کلید به طور مستقل دچار تغییری جزئی می شود و مابقی بخش های کلید ثابت می ماند. کلیدهای حاصل در جدول (۴) نشان داده شده اند.

الگوریتم رمزنگاری مقاومت مناسبی در برابر حمله برش دارد و حتی پس از تخریب بخشی از تصویر، تصویر رمزگشایی شده قابل استفاده است.



شکل (۱۱). مقاومت الگوریتم رمزنگاری در برابر حمله برش. (الف): تخریب ۶ درصد (ب): رمزگشایی تصویر «الف» (ج): تخریب ۲۵ درصد (د): رمزگشایی تصویر «ج» (ه): تخریب ۵۰ درصد (و): رمزگشایی تصویر «ه»



شکل (۱۲). مقاومت الگوریتم رمزنگاری در برابر حمله برش. (الف): تخریب ۲۵ درصد کانال آبی (ب): رمزگشایی تصویر «الف» (ج): تخریب ۲۵ درصد کانال سبز (د): رمزگشایی تصویر «ج» (ه): تخریب ۲۵ درصد کانال قرمز (و): رمزگشایی تصویر «ه» (ج): ترکیب کانال های رنگ رمز شده (ط): رمزگشایی تصویر «ح»

های بیومتریك چهره و زنجیره بلوکی ارائه شده است که در فاز جانشینی از سه داده چکیده تصویر اصلی، بردار ویژگی‌های چهره و کلید عمومی برای تولید دنباله‌های شبه تصادفی استفاده شده است؛ بنابراین مقادیر دنباله‌ها بسیار وابسته به سه داده ذکر شده هستند و با تغییر یک بیت در هر کدام از داده‌ها، مقادیر دنباله‌های شبه تصادفی به کلی تغییر می‌کند. فاز جای‌گشت با استفاده از الگوریتم فراابتکاری ژنتیک کارا تر و بهینه‌تر انجام شد. در این فاز ابتدا یک جمعیت اولیه ساخته می‌شود که هر کدام از اعضای جمعیت دارای دو متغیر (دو متغیر نگاشت آرنولد) است.

تصویر توسط نگاشت آرنولد به‌ازای هر کدام از اعضای جمعیت جای‌گشت داده می‌شود و در هر مرحله جمعیت جدید بر اساس شایستگی ساخته می‌شود. پس از رسیدن به شرط توقف الگوریتم ژنتیک، بهترین عضو انتخاب، و تصویر جای‌گشت داده می‌شود. تابع شایستگی، مجموع وزن دار سه مقدار همبستگی پیکسل‌ها (افقی، عمودی و قطری) است. باتوجه‌به نتایج حاصل که در بخش ۴ بررسی شدند، الگوریتم رمزنگاری تأثیر چشمگیری در کاهش میزان همبستگی پیکسل‌ها و از بین بردن اطلاعات آماری تصویر داشته است. همچنین نتایج آزمایش‌های مختلف انجام شده در بخش ۴، نشان می‌دهد که روش پیشنهادی در مقابل حملات آماری، حملات تفاضلی، حمله برش و حمله Brute Force مقاوم است.

پس از رمزنگاری تصویر، کلید رمزنگاری و بردار ویژگی‌های چهره توسط کلید عمومی رمزنگاری می‌شوند و به‌عنوان یک تراکنش در شبکه زنجیره بلوکی ذخیره می‌شوند. به‌منظور رمزگشایی تصویر یک فرآیند احراز هویت دومرحله‌ای انجام می‌پذیرد. در اولین مرحله با استفاده از کلید عمومی و خصوصی و در دومین مرحله به‌وسیله انطباق چهره کاربر، هویت فرد رمزنگار مشخص می‌شود که در صورت صحت هویت کاربر، کلید رمزنگاری در اختیارش قرار می‌گیرد.

در انتها باتوجه‌به ارزیابی‌ها و مقایسه‌هایی که برای روش پیشنهادی و سایر روش‌های مشابه که در بخش ۴-۷ انجام شد، می‌توان نتیجه گرفت که بخش‌های مختلف روش پیشنهادی مانند نگاشت‌های آشوب، الگوریتم ژنتیک، چکیده اطلاعات تصویر و چهره، کلید رمز، استراتژی رمزنگاری و احراز هویت به خوبی در کنار یکدیگر قرار گرفته‌اند و یک سیستم با عملکرد مناسب را شکل داده‌اند. باتوجه‌به جدول (۶)، روش پیشنهادی توانسته است یکی از اهداف اصلی الگوریتم رمزنگاری یعنی همبستگی پیکسل‌ها را به طور چشمگیری، نسبت به سایر روش‌های مقایسه شده کاهش دهد. همچنین الگوریتم پیشنهادی در معیارهای تفاضلی و آماری نیز توانسته است نتایج مناسبی را به دست آورد و در بسیاری از نتایج از روش‌های مشابه عملکرد بهتری داشته باشد.

تصویر لنا با هر کدام از کلیدها جداگانه رمزنگاری می‌شود. میزان NPCR هر کدام از تصاویر رمزنگاری شده با کلیدهای تغییر یافته، با تصویر رمز شده توسط کلید اصلی محاسبه می‌شود. نتایج آزمایش در جدول (۵) نشان داده شده است.

باتوجه‌به مقادیر جدول (۵)، الگوریتم رمزنگاری حساسیت بالایی نسبت به تغییرات جزئی کلید دارد و با تغییر هر بخش از کلید رمز، تصویر رمز شده حاصل متفاوت خواهد بود.

۴-۷-۷-۴ مقایسه نتایج الگوریتم پیشنهادی با سایر روش‌ها

در این بخش نتایج به‌دست‌آمده از روش پیشنهادی با سایر روش‌های ارائه شده در زمینه رمزنگاری تصویر مقایسه می‌شود. نتایج مقایسه میزان همبستگی پیکسل‌های تصویر رمز شده، حملات تفاضلی و آنتروپی در جدول (۶) آورده شده است.

روش‌هایی که در جدول (۶) برای ارزیابی با روش پیشنهادی معرفی شده‌اند، در فاز جای‌گشت از روش‌هایی مانند مرتب‌سازی دنباله آشوب، عملگرهای همبری و جهش الگوریتم ژنتیک و مربع لاتین استفاده کرده‌اند. اما در روش پیشنهادی از الگوریتم فراابتکاری ژنتیک و نگاشت آشوب آرنولد جهت بهینه‌سازی همبستگی پیکسل‌ها استفاده شده است. باتوجه‌به جدول (۶)، روش پیشنهادی در مقایسه با سایر روش‌ها، بسیار موفق عمل کرده است و توانسته است همبستگی پیکسل‌ها را به‌صورت چشمگیری کاهش دهد؛ بنابراین روش پیشنهادی در مقابل حملات آماری مقاومت بالایی خواهد داشت. باتوجه‌به جدول (۶)، روش پیشنهادی در معیار همبستگی پیکسل‌ها در مقایسه با سایر روش‌ها، بسیار موفق عمل کرده است و توانسته است همبستگی پیکسل‌ها را در هر سه جهت افقی، عمودی و قطری به‌صورت چشمگیری کاهش دهد؛ بنابراین روش پیشنهادی در مقابل حملات آماری مقاومت بالایی خواهد داشت. همچنین روش‌هایی که برای ارزیابی با روش پیشنهادی انتخاب شده‌اند در فرآیند رمزنگاری از روش‌هایی مانند عملیات حسابی تنسورها، کدگذاری DNA، چکیده تصویر، دنباله‌های آشوب و عملگرهای الگوریتم ژنتیک استفاده کرده‌اند. باتوجه‌به اینکه در روش پیشنهادی از روش‌های چکیده تصویر، نگاشت‌های آشوب و الگوریتم فراابتکاری ژنتیک استفاده شده است، روش پیشنهادی توانسته است در آزمایش‌هایی موفق‌تر عمل کند و قابلیت رقابت با روش‌های مشابه را داشته باشد؛ بنابراین روش پیشنهادی در مقایسه با سایر روش‌های مشابه توانسته است نتایج مناسبی در آزمایش آنتروپی و تحلیل تفاضلی کسب کند.

۵- نتیجه‌گیری

در این مقاله یک روش جدید رمزنگاری تصویر مبتنی بر ویژگی-

جدول (۶). مقایسه نتایج روش پیشنهادی با سایر روش‌ها

الگوریتم						معیار ارزیابی	تصویر کانال رنگ
روش پیشنهادی	[۲۵]	[۲۴]	[۱۸]	[۱۴]	[۱۳]		
۷/۹۹۶۹	۷/۹۹۷۲	۷/۹۹۷۳	۷/۹۹۹۴	۷/۹۹۱۷	۷/۹۹۷۲	آنتروپی	
-۰/۱۸۳۵	۰/۰۰۸۳	۰/۰۰۴۶	-۰/۰۰۰۲	۰/۰۰۱۳	۰/۰۰۹۴	افقی	لنا کانال قرمز
-۰/۱۵۴۶	-۰/۰۰۵۴	۰/۰۰۲۴	-۰/۰۰۲۳	۰/۰۰۴۷	-۰/۰۰۱۱	عمودی	
-۰/۰۴۰۳	-۰/۰۰۱۰	۰/۰۰۵۱	-۰/۰۰۲۱	۰/۰۰۰۲	۰/۰۰۰۹	قطری	
۹۹/۶۳۱۷	۹۹/۶۰۷۸	۹۹/۶۶۱۹	۹۹/۶۰۹۶	۹۹/۶۲۴۳	۹۹/۶۴۹۱	NPCR	تحلیل تفاضلی
۳۳/۴۱۴۷	۳۳/۵۶۴۴	۳۳/۶۱۷۷	۳۳/۴۵۹۹	۳۳/۴۲۲۴	۳۳/۳۸۲۷	UACI	
۷/۹۹۷۴	۷/۹۹۷۲	۷/۹۹۷۰	۷/۹۹۹۴	۷/۹۹۱۲	۷/۹۹۶۸	آنتروپی	
-۰/۰۱۲۴	۰/۰۰۴۹	-۰/۰۰۲۷	-۰/۰۰۰۲	۰/۰۰۳۲	-۰/۰۰۱۸	افقی	لنا کانال سبز
-۰/۱۸۱۷	۰/۰۱۰۰	-۰/۰۰۰۷	-۰/۰۰۴۳	-۰/۰۰۰۵	-۰/۰۰۷۶	عمودی	
-۰/۱۹۰۹	۰/۰۱۲۴	-۰/۰۰۰۲	۰/۰۰۰۷	۰/۰۰۴۸	۰/۰۰۰۶	قطری	
۹۹/۶۵۰۱	۹۹/۶۶۷۸	۹۹/۶۲۷۲	۹۹/۶۱۰۷	۹۹/۶۱۸۵	۹۹/۶۱۶۳	NPCR	تحلیل تفاضلی
۳۳/۴۳۹۸	۳۳/۴۴۵۸	۳۳/۶۰۴۸	۳۳/۴۷۶۷	۳۳/۴۳۶۱	۳۳/۳۶۶۱	UACI	
۷/۹۹۷۲	۷/۹۹۷۵	۷/۹۹۷۲	۷/۹۹۹۴	۷/۹۹۱۷	۷/۹۹۷۶	آنتروپی	
-۰/۱۴۹۷	-۰/۰۰۱۷	-۰/۰۰۲۳	-۰/۰۰۷۴	۰/۰۰۲۰	۰/۰۰۱۹	افقی	لنا کانال آبی
-۰/۰۹۵۹	۰/۰۰۹۵	۰/۰۰۱۴	-۰/۰۰۱۰	۰/۰۰۰۱	-۰/۰۰۴۲	عمودی	
-۰/۱۵۳۱	-۰/۰۰۴۲	۰/۰۰۰۴	-۰/۰۰۰۷	-۰/۰۰۴۰	۰/۰۰۲۲	قطری	
۹۹/۶۲۵۹	۹۹/۶۰۷۸	۹۹/۶۴۶۰	۹۹/۶۰۹۰	۹۹/۶۲۸۰	۹۹/۶۳۲۴	NPCR	تحلیل تفاضلی
۳۳/۴۰۳۶	۳۳/۵۰۵۵	۳۳/۶۴۲۲	۳۳/۴۳۳۳	۳۳/۴۶۰۳	۳۳/۴۵۷۷	UACI	

۶- مراجع

- May 2023, doi: 10.1016/J.SIGPRO.2022.108908.
- [6]. H. Ghadirli, A. Nodehi, R. E.-S. Processing, and undefined 2019, "An overview of encryption algorithms in color images," *Elsevier*, vol. 164, pp. 163–185, 2019, doi: 10.1016/j.sigpro.2019.06.010.
- [7]. X. Wang and M. Zhao, "An image encryption algorithm based on hyperchaotic system and DNA coding," *Opt Laser Technol*, vol. 143, p. 107316, Nov. 2021, doi: 10.1016/J.OPTLASTEC.2021.107316.
- [8]. S. Ma, Y. Zhang, Z. Yang, J. Hu, and X. Lei, "A New Plaintext-Related Image Encryption Scheme Based on Chaotic Sequence," *IEEE Access*, vol. 7, pp. 30344–30360, 2019, doi: 10.1109/ACCESS.2019.2901302.
- [9]. X. J. Tong, M. Zhang, Z. Wang, Y. Liu, H. Xu, and J. Ma, "A fast encryption algorithm of color image based on four-dimensional chaotic system," *J Vis Commun Image Represent*, vol. 33, pp. 219–234, Nov. 2015, doi: 10.1016/J.JVCIR.2015.09.014.
- [10]. N. Khalil, A. Sarhan, and M. A. M. Alshewimy, "An
- [1]. M. Turculeț, "Ethical Issues Concerning Online Social Networks," *Procedia Soc Behav Sci*, vol. 149, pp. 967–972, 2014, doi: https://doi.org/10.1016/j.sbspro.2014.08.317.
- [2]. S. Lian, *Multimedia content encryption: techniques and applications*. Auerbach Publications, 2008.
- [3]. X. Wang, L. Feng, and H. Zhao, "Fast image encryption algorithm based on parallel computing system," *Inf Sci (N Y)*, vol. 486, pp. 340–358, Jun. 2019, doi: 10.1016/J.INS.2019.02.049.
- [4]. H. Wang, D. Xiao, X. Chen, and H. Huang, "Cryptanalysis and enhancements of image encryption using combination of the 1D chaotic map," *Signal Processing*, vol. 144, pp. 444–452, Mar. 2018, doi: 10.1016/J.SIGPRO.2017.11.005.
- [5]. D. R. I. M. Setiadi, S. Rustad, P. N. Andono, and G. F. Shidik, "Digital image steganography survey and investigation (goal, assessment, method, development, and dataset)," *Signal Processing*, vol. 206, p. 108908,

- color image encryption scheme based on 2DNLCML system and genetic operations,” *Opt Lasers Eng*, vol. 128, p. 106040, May 2020, doi: 10.1016/J.OPTLASENG.2020.106040.
- [25]. X. Chai, X. Zhi, Z. Gan, Y. Zhang, Y. Chen, and J. Fu, “Combining improved genetic algorithm and matrix semi-tensor product (STP) in color image encryption,” *Signal Processing*, vol. 183, p. 108041, Jun. 2021, doi: 10.1016/J.SIGPRO.2021.108041.
- [26]. L. S. Khan, M. M. Hazzazi, M. Khan, and S. S. Jamal, “A novel image encryption based on rossler map diffusion and particle swarm optimization generated highly non-linear substitution boxes,” *Chinese Journal of Physics*, vol. 72, pp. 558–574, Aug. 2021, doi: 10.1016/J.CJPH.2021.03.029.
- [27]. Z. Feixiang, L. Mingzhe, W. Kun, and Z. Hong, “Color image encryption via Hénon-zigzag map and chaotic restricted Boltzmann machine over Blockchain,” *Opt Laser Technol*, vol. 135, p. 106610, Mar. 2021, doi: 10.1016/J.OPTLASTEC.2020.106610.
- [28]. R. Li, “Fingerprint-related chaotic image encryption scheme based on blockchain framework,” *Multimed Tools Appl*, vol. 80, no. 20, pp. 30583–30603, Aug. 2021, doi: 10.1007/S11042-020-08802-Z/METRICS.
- [29]. G. Boeing, “Visual Analysis of Nonlinear Dynamical Systems: Chaos, Fractals, Self-Similarity and the Limits of Prediction,” *Systems 2016, Vol. 4, Page 37*, vol. 4, no. 4, p. 37, Nov. 2016, doi: 10.3390/SYSTEMS4040037.
- [30]. N. A. Abbas, “Image encryption based on Independent Component Analysis and Arnold’s Cat Map,” *Egyptian Informatics Journal*, vol. 17, no. 1, pp. 139–146, Mar. 2016, doi: 10.1016/J.EIJ.2015.10.001.
- [31]. G. Qu *et al.*, “Optical color image encryption based on Hadamard single-pixel imaging and Arnold transformation,” *Opt Lasers Eng*, vol. 137, p. 106392, Feb. 2021, doi: 10.1016/J.OPTLASENG.2020.106392.
- [32]. E. N. Lorenz, “Deterministic Nonperiodic Flow,” *J Atmos Sci*, vol. 20, no. 2, pp. 130–141, Mar. 1963, doi: 10.1175/1520-0469(1963)020.
- [33]. S. Katoch, S. S. Chauhan, and V. Kumar, “A review on genetic algorithm: past, present, and future,” *Multimed Tools Appl*, vol. 80, no. 5, pp. 8091–8126, Feb. 2021, doi: 10.1007/S11042-020-10139-6/FIGURES/8.
- [34]. A. Bodo, “Method for producing a digital signature with aid of a biometric feature,” *German patent DE*, vol. 42, no. 43, p. 908, 1994.
- [35]. V. Kakkad, M. Patel, and M. Shah, “Biometric authentication and image encryption for image security in cloud framework,” *Multiscale and Multidisciplinary Modeling, Experiments and Design*, vol. 2, no. 4, pp. 233–248, Dec. 2019, doi: 10.1007/S41939-019-00049-Y/METRICS.
- [36]. C. Bisogni, G. Iovane, R. E. Landi, and M. Nappi, “ECB2: A novel encryption scheme using face biometrics for signing blockchain transactions,” *Journal of Information Security and Applications*, vol. 59, p. 102814, Jun. 2021, doi: 10.1016/J.JISA.2021.102814.
- [37]. N. Dalal and B. Triggs, “Histograms of oriented gradients for human detection,” *Proceedings - 2005 IEEE Computer Society Conference on Computer Vision and Pattern Recognition, CVPR 2005*, vol. I, pp. 886–893, 2005, doi: 10.1109/CVPR.2005.177.
- [38]. O. Déniz, G. Bueno, J. Salido, and F. De La Torre, “Face recognition using Histograms of Oriented Gradients,” *Pattern Recognit Lett*, vol. 32, no. 12, pp. 1598–1603, Sep. 2011, doi: 10.1016/J.PATREC.2011.01.004.
- [39]. K. Zhang, Z. Zhang, Z. Li, and Y. Qiao, “Joint Face efficient color/grayscale image encryption scheme based on hybrid chaotic maps,” *Opt Laser Technol*, vol. 143, p. 107326, Nov. 2021, doi: 10.1016/J.OPTLASTEC.2021.107326.
- [11]. T. Wang and M. hui Wang, “Hyperchaotic image encryption algorithm based on bit-level permutation and DNA encoding,” *Opt Laser Technol*, vol. 132, p. 106355, Dec. 2020, doi: 10.1016/J.OPTLASTEC.2020.106355.
- [12]. S. Zhou, “A real-time one-time pad DNA-chaos image encryption algorithm based on multiple keys,” *Opt Laser Technol*, vol. 143, p. 107359, Nov. 2021, doi: 10.1016/J.OPTLASTEC.2021.107359.
- [13]. J. Zhou, N.-R. Zhou, and L.-H. Gong, “Fast color image encryption scheme based on 3D orthogonal Latin squares and matching matrix,” *Opt Laser Technol*, vol. 131, p. 106437, Nov. 2020, doi: 10.1016/J.OPTLASTEC.2020.106437.
- [14]. D. Zhang, L. Chen, and T. Li, “Hyper-Chaotic Color Image Encryption Based on Transformed Zigzag Diffusion and RNA Operation,” *Entropy 2021, Vol. 23, Page 361*, vol. 23, no. 3, p. 361, Mar. 2021, doi: 10.3390/E23030361.
- [15]. H. Liu and A. Kadir, “Asymmetric color image encryption scheme using 2D discrete-time map,” *Signal Processing*, vol. 113, pp. 104–112, Aug. 2015, doi: 10.1016/J.SIGPRO.2015.01.016.
- [16]. X. Chai, X.-L. Chai, Z.-H. Gan, Y. Lu, M.-H. Zhang, and Y.-R. Chen, “A novel color image encryption algorithm based on genetic recombination and the four-dimensional memristive hyperchaotic system,” *iopscience.iop.org*, vol. 25, no. 10, p. 100503, 2016, doi: 10.1088/1674-1056/25/10/100503.
- [17]. E. Zarei Zefreh, “An Image Encryption Algorithm Based on the S_n Permutation Group and Chaotic Functions” *Journal of Electronical & Cyber Defence*, vol. 8, no. 3, pp. 139–150, 2020, dor: 20.1001.1.23224347.1399.8.3.11.5 (In Persian)
- [18]. Q. Zhang and J. Han, “A novel color image encryption algorithm based on image hashing, 6D hyperchaotic and DNA coding,” *Multimed Tools Appl*, vol. 80, no. 9, pp. 13841–13864, Apr. 2021, doi: 10.1007/S11042-020-10437-Z/METRICS.
- [19]. S. Zhou, X. Wang, Y. Zhang, B. Ge, M. Wang, and S. Gao, “A novel image encryption cryptosystem based on true random numbers and chaotic systems,” *Multimed Syst*, vol. 28, no. 1, pp. 95–112, Feb. 2022, doi: 10.1007/S00530-021-00803-8.
- [20]. R. Enayatifar, H. J. Sadaei, A. H. Abdullah, M. Lee, and I. F. Isnin, “A novel chaotic based image encryption using a hybrid model of deoxyribonucleic acid and cellular automata,” *Opt Lasers Eng*, vol. 71, pp. 33–41, Aug. 2015, doi: 10.1016/J.OPTLASENG.2015.03.007.
- [21]. R. Enayatifar, A. H. Abdullah, and M. Lee, “A weighted discrete imperialist competitive algorithm (WDICA) combined with chaotic map for image encryption,” *Opt Lasers Eng*, vol. 51, no. 9, pp. 1066–1077, Sep. 2013, doi: 10.1016/J.OPTLASENG.2013.03.010.
- [22]. S. Noshadian, A. Ebrahimzade, and S. J. Kazemitabar, “Optimizing chaos based image encryption,” *Multimed Tools Appl*, vol. 77, no. 19, pp. 25569–25590, Oct. 2018, doi: 10.1007/S11042-018-5807-X.
- [23]. A. H. Abdullah, R. Enayatifar, and M. Lee, “A hybrid genetic algorithm and chaotic function model for image encryption,” *AEU - International Journal of Electronics and Communications*, vol. 66, no. 10, pp. 806–816, Oct. 2012, doi: 10.1016/J.AEUE.2012.01.015.
- [24]. Y. Q. Zhang, Y. He, P. Li, and X. Y. Wang, “A new

- Detection and Alignment Using Multitask Cascaded Convolutional Networks,” *IEEE Signal Process Lett*, vol. 23, no. 10, pp. 1499–1503, Oct. 2016, doi: 10.1109/LSP.2016.2603342.
- [40]. F. Schroff, D. Kalenichenko, and J. Philbin, “FaceNet: A unified embedding for face recognition and clustering,” *Proceedings of the IEEE Computer Society Conference on Computer Vision and Pattern Recognition*, vol. 07-12-June-2015, pp. 815–823, Oct. 2015, doi: 10.1109/CVPR.2015.7298682.
- [41]. H. M. Ghadirli, A. Nodehi, and R. Enayatifar, “An overview of encryption algorithms in color images,” *Signal Processing*, vol. 164, pp. 163–185, Nov. 2019, doi: 10.1016/J.SIGPRO.2019.06.010.
- [42]. M. Kaur and V. Kumar, “A Comprehensive Review on Image Encryption Techniques,” *Archives of Computational Methods in Engineering*, vol. 27, no. 1, pp. 15–43, Jan. 2020, doi: 10.1007/S11831-018-9298-8/METRICS.
- [43]. M. Essaid, I. Akharraz, A. Saaidi, and A. Mouhib, “A New Image Encryption Scheme Based on Confusion-Diffusion Using an Enhanced Skew Tent Map,” *Procedia Comput Sci*, vol. 127, pp. 539–548, Jan. 2018, doi: 10.1016/J.PROCS.2018.01.153.

علمی - پژوهشی

رمزنگاری تصویر با استفاده از بیومتریک چهره و الگوریتم فراابتکاری بر روی سیستم

زنجیره بلوکی

محمد گنجعلیخان حاکمی^۱، محمد جواد رستمی^{۲*}

۱- کارشناسی ارشد، ۲- استادیار، گروه مهندسی کامپیوتر، دانشکده فنی و مهندسی، دانشگاه شهید باهنر کرمان، کرمان، ایران.

(دریافت: ۱۴۰۳/۰۲/۰۸، بازنگری: ۱۴۰۳/۰۳/۲۹، پذیرش: ۱۴۰۳/۰۵/۱۲، انتشار: ۱۴۰۳/۰۶/۱۳)

DOR:



* این مقاله یک مقاله با دسترسی آزاد است که تحت شرایط و ضوابط مجوز (CC BY) Creative Commons Attribution توزیع شده است.



ناشر: دانشگاه جامع امام حسین (ع) نویسندگان

چکیده

با گسترش شبکه اینترنت و دسترسی همگانی به این شبکه، میزان تبادل اطلاعات و داده‌ها روز به روز افزایش می‌یابد؛ بنابراین، امکان دسترسی غیرمجاز به اطلاعاتی که مبادله می‌شوند وجود خواهد داشت. از طرفی تقریباً تمام برنامه‌هایی که بر بستر اینترنت اجرا می‌شوند، مانند شبکه‌های اجتماعی، دسترسی کامل به تصاویر و محتوای ذخیره‌شده در دستگاه میزبان را دارا هستند؛ بنابراین امکان دسترسی غیرمجاز و سرقت اطلاعات شخصی وجود دارد. از این رو باید امنیت و صحت اطلاعات تضمین شود. به منظور حفظ محرمانگی داده‌ها می‌توان از روش‌های رمزنگاری اطلاعات، مانند الگوریتم‌های رمزنگاری تصویر استفاده کرد. در روش پیشنهادی این مقاله کلید الگوریتم رمزنگاری به کمک اطلاعات استخراج شده از چهره فرد، چکیده تصویر و کلید عمومی ایجاد می‌شود، بنابراین الگوریتم رمزنگاری نسبت به تغییر هر کدام از اطلاعات استفاده شده در تولید کلید حساسیت بالایی خواهد داشت. برای رمزنگاری تصویر در فاز جانشینی از نگاشت آشوب لورنز استفاده می‌شود. هر کانال رنگ تصویر به چهار قسمت تقسیم می‌شود و هر قسمت با استفاده از یک دنباله شبه تصادفی مجزا رمزنگاری می‌شود و تصویر رمز شده تولید می‌شود. در فاز جای گشت به منظور دست‌یافتن به بهترین تصویر رمز شده، از الگوریتم فراابتکاری ژنتیک (GA) استفاده می‌شود تا با انتخاب پارامترهای بهینه برای نگاشت آشوب آرنولد، مقدار همبستگی پیکسل‌های تصویر رمزنگاری شده به حداقل مقدار ممکن نزدیک شود. با توجه به نتایج به دست آمده، مقادیر همبستگی پیکسل‌ها در هر سه جهت افقی، عمودی و قطری نسبت به سایر روش‌های ارائه شده مشابه بسیار کوچک‌تر است و الگوریتم رمزنگاری توانسته است به طور چشمگیری همبستگی و ارتباط بین پیکسل‌ها را کاهش دهد. همچنین با توجه به نتایج تحلیل تفاضلی NPCR و UACI، برای تمام تصاویر آزمایش شده به ترتیب بالاتر از ۹۹/۶ درصد و ۳۳/۴ درصد است؛ بنابراین روش پیشنهادی دارای مقاومت بالایی نسبت به حملات آماری و تفاضلی خواهد داشت. همچنین برای فرآیند رمزگشایی تصویر، از احراز هویت دومرحله‌ای و نگهداری ایمن کلید رمزنگاری در شبکه زنجیره بلوکی استفاده می‌شود.

کلیدواژه‌ها: رمزنگاری تصویر، نگاشت آشوب، الگوریتم ژنتیک، احراز هویت، زنجیره بلوکی

۱- مقدمه

باشند. به عنوان مثال از زمان ظهور شبکه‌های اجتماعی اولیه در اوایل سال ۲۰۰۰، شبکه‌های اجتماعی آنلاین به طور گسترده‌ای گسترش یافته‌اند که از معروف‌ترین این رسانه‌های اجتماعی در اواسط دهه ۲۰۱۰ فیس‌بوک^۲، اینستاگرام^۳، توییتر^۴ و اسنپ چت^۵ را می‌توان نام برد.

حجم عظیم اطلاعات شخصی که به صورت آنلاین در دسترس است و در فضای ابری ذخیره شده است، باعث شده که توانایی پایگاه داده‌ها در ذخیره‌سازی ایمن چنین اطلاعات شخصی کاهش

امروزه با گسترش شبکه‌های ارتباطی و اینترنت، حجم بسیار زیادی از اطلاعات در حال تولید و انتقال است که این امر منجر به اهمیت یافتن مسئله امنیت و صحت اطلاعات شده است. امنیت اطلاعات به معنی حفاظت اطلاعات، از فعالیت‌های غیرمجازی مانند دسترسی، استفاده، خواندن و یا تغییر اطلاعات است. برای حراست از اطلاعات، باید دسترسی به اطلاعات کنترل شود و فقط افراد مجاز باید توانایی دسترسی به اطلاعات را داشته

² Facebook

³ Instagram

⁴ Twitter

⁵ Snapchat

تانگ و همکارانش [۹] روشی به منظور افزایش سرعت و امنیت، رمزنگاری تصویر مبتنی بر سیستم آشوب ۴ بعدی ارائه دادند. در این روش نگاشت ۴ بعدی پیشنهادی، از ترکیب معادلات دو نگاشت سه بعدی لورنز^۸ و چن^۹ به دست می آید. به منظور رمزنگاری پیکسل های تصویر، ابتدا توسط نگاشت آشوب پیشنهادی، چهار دنباله آشوب تولید می شود. در این الگوریتم سعی می شود از دنباله های تولید شده مجدد استفاده شود و به تعداد پیکسل های تصویر اعداد تصادفی دنباله تولید نشود؛ بنابراین تعدادی معین از اعداد دنباله ها انتخاب می شود و با قسمت دهدهی این اعداد سه کلید متفاوت ساخته می شود. در فاز جانشینی، تصویر به سه کانال رنگ تقسیم می شود و در مرحله اول سطرهای هر کانال رنگ با یک کلید متفاوت رمزنگاری می شوند. در مرحله دوم ستون های هر سه کانال رنگ با کلیدهای متفاوت از مرحله قبل رمزنگاری می شوند. همچنین در فاز جای گشت، از نگاشت آرنولد^{۱۰} برای درهم سازی موقعیت پیکسل ها استفاده می شود.

خلیل و همکارانش [۱۰] روشی برای رمزنگاری تصاویر رنگی یا خاکستری مطرح کردند. در این روش در هر دو فاز جانشینی و جای گشت از ترکیب نگاشت های آشوب استفاده شده است. ابتدا برای رمزنگاری تصویر رنگی، سه کانال رنگ تصویر جدا و تبدیل به یک بردار یک بعدی می شوند. در فاز جای گشت، از یک نگاشت دوبعدی پیشنهاد شده $\sin\text{-}\cosine$ استفاده می شود و یک دنباله شبه تصادفی با طول مشابه با بردار کانال رنگ تولید می شود. با فرض طول بردار N برای هر کانال رنگ، اعداد دنباله تصادفی به عددی بین 0 تا N تبدیل می شوند و موقعیت هر پیکسل، متناظر با موقعیت جدیدش در دنباله تصادفی تغییر می کند. در فاز جانشینی از نگاشت یک بعدی ترکیب شده از دو نگاشت تنت^{۱۱} و لجستیک^{۱۲} استفاده می شود و دنباله ای هم طول با بردار پیکسل های درهم شده مرحله قبل ایجاد می شود و در نهایت با اعمال عملگر XOR تصویر رمز شده به دست می آید.

تنوع بالایی از نگاشت های آشوب وجود دارد که بر اساس ابعادشان و دنباله هایی که تولید می کنند در روش های مختلف مورد استفاده قرار می گیرند. به عنوان مثال، وانگ و همکارانش [۱۱] در روش پیشنهادی شان از یک نگاشت آشوب ۶ بعدی به همراه تکنیک دنباله های DNA استفاده کرده اند و یا در روش پیشنهادی ژو و همکارانش [۱۲] از چهار نگاشت آشوب متفاوت در فرآیند رمزنگاری استفاده شده است.

ژو و همکارانش [۱۳] روشی برای رمزنگاری تصاویر رنگی بر

یابد و حفظ حریم خصوصی کاربران در اولویت قرار گیرد. آگاهی و مرزهای نقض حریم خصوصی، می تواند جز نگرانی های اساسی در عصر فناوری باشد [۱]. بخش بزرگی از داده های کاربران شامل تصاویر شخصی، مدارک مهم که به صورت فایل تصویری و یا متنی و... هستند که معمولاً در تلفن های همراه، رایانه های شخصی و دیسک های ذخیره سازی اطلاعات نگهداری می شوند. این نوع نگهداری از داده ها به دلایل زیادی می تواند خطرناک باشند از جمله این دلایل می توان به هک شدن و یا ویروسی شدن دستگاه های نگهداری اطلاعات اشاره کرد؛ بنابراین استفاده از روش هایی که امنیت داده ها را نتیجه می دهند امری ضروری است.

یک از این روش ها رمزنگاری اطلاعات است [۲]. از مشهورترین و پرکاربردترین الگوریتم های رمزنگاری متقارن می توان به IDEA، DES، AES اشاره کرد. از مهم ترین الگوریتم های رمزنگاری کلید عمومی نیز می توان به RSA، ElGamal اشاره کرد که معمولاً برای داده هایی با ساختار متنی مورد استفاده قرار می گیرند؛ اما در رمزنگاری تصویر، به علت ساختار متفاوت تصاویر، که شامل وابستگی بالای اطلاعات پیکسل ها و اطلاعات آماری است، استفاده از روش های رمزنگاری متداول مناسب نخواهد بود [۳، ۴]. روش های مناسب برای تأمین امنیت تصاویر معمولاً در دودسته کلی قرار می گیرند: الف) پنهان کردن اطلاعات، که شامل پنهان نگاری^۱ است، که در آن داده های مهم، درون داده های یک رسانه دیگر مثل تصویر یا ویدئو که رسانه پوششی^۲ نام دارد پنهان می شود. بنابراین در ظاهر فقط یک تصویر یا ویدئو معمولی دیده می شود ولی در واقعیت اطلاعات مهمی در رسانه پوششی قرار گرفته شده است [۵]. ب) رمزنگاری^۳، که شامل تکنیک های آشوب، دنباله های DNA و... است [۶]. اغلب الگوریتم های رمزنگاری تصویر شامل دو مرحله اصلی هستند: مرحله جای گشت^۴ و مرحله جانشینی^۵. در مرحله جای گشت فقط موقعیت پیکسل ها با یکدیگر جابجا می شوند و در مرحله جانشینی مقادیر پیکسل ها تغییر می کنند [۷]. پرکاربردترین تکنیک های استفاده شده در رمزنگاری تصویر شامل نگاشت های آشوب^۶، دنباله های DNA، چکیده تصویر و الگوریتم های فراابتکاری^۷ است [۶]. نگاشت های آشوب جزء پرکاربردترین تکنیک ها در رمزنگاری تصویر هستند، که می توان در هر دو مرحله جانشینی و جای گشت از آن ها بهره برد [۸].

¹ Steganography

² Cover-media

³ Cryptography

⁴ Permutation

⁵ Substitution

⁶ Chaotic functions

⁷ Metaheuristic

⁸ Lorenz system

⁹ Chen system

¹⁰ Arnold's cat map

¹¹ Tent map

¹² Logistic map

در روشی که توسط زارعی [۱۷] ارائه شده است از ترکیب دو تابع چکیده ساز MD5 و SHA-256 برای ساخت کلید ۲۵۶ بیتی رمزنگاری استفاده شده است. در این روش اطلاعات تصویر اصلی و یک کلید ۲۵۶ بیتی تصادفی با استفاده از توابع چکیده ساز درهم می‌شوند و یک کلید ۲۵۶ بیتی محرمانه را نتیجه می‌دهند که در فرآیند تولید دنباله‌های آشوب و رمزنگاری مورد استفاده قرار می‌گیرد.

ژانگ و همکارش [۱۸] روشی برای رمزنگاری تصاویر رنگی معرفی کردند. در این روش از چکیده تصویر، نگاشت‌های آشوب و دنباله‌های DNA استفاده شده است. در اولین مرحله برای تولید کلید، ابتدا چکیده تصویر اصلی محاسبه می‌شود. از چکیده تصویر در مقاردهی اولیه نگاشت‌های آشوب و تنظیم پارامترها استفاده می‌شود. برای تولید چکیده تصویر، ابتدا تصویر اصلی به یک تصویر سطح خاکستری تبدیل می‌شود. سپس یک ماتریس چکیده تصویر با ابعاد برابر با تصویر خاکستری ساخته می‌شود. هر دو ماتریس دارای ابعاد ۲۵۶ در ۲۵۶ هستند. درایه‌های ماتریس چکیده بدین صورت مقاردهی می‌شوند که اگر درایه $i + 1$ ماتریس خاکستری از درایه i ام کوچکتر باشد، درایه متناظر در ماتریس چکیده مقدار ۱ قرار می‌گیرد، در غیر این صورت مقدار درایه صفر خواهد بود. سپس ماتریس چکیده به ابعاد ۴۰۹۶ در ۱۶ تغییر شکل می‌دهد. از ماتریس جدید ۱۶ مقدار به دست می‌آید که ۹ مقدار به صورت تصادفی انتخاب می‌شوند. در مرحله بعد که مرحله جای گشت است، تصویر به سه کانال رنگ مجزا تقسیم می‌شود. با استفاده از یک نگاشت آشوب دوبعدی و مقادیر به دست آمده از مرحله قبل، به ازای هر کانال رنگ دو دنباله شبه تصادفی X و Y ساخته می‌شود. هر دو دنباله به صورت صعودی مرتب می‌شوند و بر اساس اندیس دنباله، قبل و بعد از مرتب سازی سطرها و ستون‌های کانال‌های رنگ جای گشت داده می‌شوند.

در آخرین مرحله یعنی جابه‌جایی، ۶ دنباله شبه تصادفی توسط یک نگاشت آشوب ۶ بعدی ساخته می‌شود. سه دنباله به طور تصادفی انتخاب می‌شوند و مقادیرشان به بازه ۰ تا ۲۵۵ نگاشت می‌شود. از دو دنباله دیگر برای انتخاب قانون کدگذاری DNA، و از دنباله آخر برای انتخاب نوع عملیات حسابی DNA استفاده می‌شود. در نهایت تصویر باتوجه به قوانین و عملگرهای انتخابی کدگذاری شده و تصویر رمز شده نهایی حاصل می‌شود.

ژو و همکارانش [۱۹] روشی به منظور رمزنگاری تصویر ارائه دادند که سعی شده است تا امنیت سیستم‌های رمزنگاری که از یک نگاشت آشوب استفاده می‌کنند بهبود ببخشد. در این روش از نگاشت آشوب یک بعدی لجستیک استفاده شده است و مقدار اولیه نگاشت با استفاده از چکیده تصویر که با الگوریتم SHA-512 به دست آمده است، محاسبه می‌شود. سپس با استفاده از

پایه مفهوم مربع لاتین و توابع آشوب معرفی کردند. در این روش ابتدا توسط نگاشت آشوب سه بعدی Sine، سه دنباله شبه تصادفی برای تولید مربع لاتین متعامد سه بعدی و ماتریس تطبیق تولید می‌شود. در مرحله دوم، تصویر اصلی توسط مربع لاتین ۳ بعدی و ماتریس منطبق جای گشت داده می‌شود. بدین صورت که هر صفحه از ماتریس جای گشت به شانزده قسمت تقسیم شده و شماره گذاری می‌شود. سپس، یک دنباله آشوب با ابعاد ۱ در ۱۶ باتوجه به سه دنباله از پیش تولید شده استخراج می‌شود. دنباله ۱۶ تایی مرتب می‌شود و باتوجه به اندیس درایه‌ها قبل و بعد از مرتب سازی ۱۶ قسمت ماتریس جای گشت بایکدیگر جابجا می‌شوند. باتوجه به موقعیت جدید درایه‌های ماتریس جای گشت، تصویر اصلی درهم ریخته می‌شود و در آخرین مرحله با استفاده از شیفت چرخشی تصویر رمزنگاری تولید می‌شود.

ژانگ و همکارانش [۱۴] روشی مبتنی بر نگاشت آشوب و عملیات RNA ارائه دادند. این روش دارای سه مرحله اصلی است و در هر مرحله از دنباله‌های آشوب مجزایی استفاده می‌شود. بنابراین در اولین مرحله با استفاده از یک نگاشت آشوب ۶ بعدی به تعداد $6 \times (3 \times N \times N + 64)$ ماتریس آشوب ساخته می‌شود. از ماتریس‌های ساخته شده سه ماتریس S_1 ، S_2 و S_3 باتوجه به ابعاد مورد نیاز در هر مرحله استخراج می‌شود. از ماتریس S_1 در اولین مرحله و به منظور جای گشت پیکسل‌ها استفاده می‌شود. ماتریس کانال رنگ و ماتریس S_1 به دو آرایه یک بعدی تبدیل می‌شوند. آرایه S_1 به صورت صعودی مرتب می‌شود و بر اساس اندیس‌ها قبل و بعد از مرتب سازی، درایه متناظر در آرایه کانال رنگ موقعیتش تغییر می‌کند. در مرحله دوم با استفاده از ماتریس S_2 ، مرحله جابه‌جایی انجام می‌شود. ماتریس کانال رنگ و ماتریس S_2 به صورت یک مکعب تغییر شکل می‌دهند. با استفاده از تکنیک زیگ‌زاگ که بر روی سه وجه مکعب انجام می‌شود پیکسل متناظر با درایه مکعب S_2 با استفاده از عملگر XOR رمز می‌شود. در آخرین مرحله پیکسل‌ها به صورت دودویی تبدیل می‌شوند و بر اساس بیت‌ها و چهار جدول کدون^۱ RNA، پیکسل‌ها کدگذاری می‌شوند و تصویر رمز شده نهایی به دست می‌آید.

در روش‌های رمزنگاری تصویر که بر پایه چکیده تصویر هستند، ابتدا یک تابع چکیده ساز بر روی تصویر ورودی اعمال می‌شود و یک رشته خروجی با طول ثابت ایجاد می‌کند که از رشته تولید شده می‌توان در مرحله پردازش کلید رمزنگاری، به دست آوردن مقادیر اولیه نگاشت آشوب و... استفاده کرد. طول ثابت رشته خروجی و حساس بودن خروجی به تغییر یک بیت در تصویر ورودی، از مزایای استفاده چکیده تصویر در رمزنگاری تصویر است [۱۵، ۱۶].

^۱ Codons

می‌شود. نقاط همبری با استفاده از مقادیر دنباله آشوب تولید شده، انتخاب می‌شوند. بسته به تعداد دوره‌های موردنیاز برای الگوریتم رمزنگاری مراحل ذکر شده تکرار می‌شوند و تصویر رمز شده حاصل می‌شود.

چای و همکارانش [۲۵] روشی ترکیبی بر پایه عملگرهای الگوریتم ژنتیک، ماتریس تنسور، نگاشت آشوب و دنباله‌های DNA به منظور رمزنگاری تصویر ارائه دادند. ابتدا توسط یک نگاشت آشوب ۶ بعدی، شش دنباله شبه تصادفی ساخته می‌شود. دو دنباله‌ی دیگر یعنی دنباله هفتم و هشتم با استفاده از شش دنباله قبل و عملگرهای جمع و تفریق تولید می‌شوند. از هشت دنباله تولید شده در مراحل مختلف رمزنگاری استفاده می‌شود.

در ادامه، تصویر اصلی به اجزای قرمز، سبز و آبی خود تقسیم می‌شود و هر کانال رنگ به چهار قسمت مساوی تقسیم می‌شود. یک ماتریس با استفاده از مقادیر یکی از هشت دنباله که به صورت تصادفی انتخاب می‌شود، ساخته می‌شود. اولین بلاک تصویر با استفاده از عملیات ضرب تنسور در ماتریس ساخته شده، ضرب می‌شود. بلاک جدید به صورت ساعت گرد با دیگر بلاک‌ها XOR می‌شود و کانال رنگ رمز شده حاصل می‌شود.

عملیات XOR بین دو کانال رنگ دیگر نیز انجام می‌شود تا سه کانال رنگ رمز شده حاصل شود. سپس با استفاده از اولین و دومین دنباله شبه تصادفی و قوانین کدگذاری DNA، تصویر کدگذاری می‌شود. در ادامه عملیات همبری و جهش به ترتیب توسط دنباله‌های سوم تا پنجم و ششم تا هشتم انجام می‌شود. در نهایت کدگذاری DNA انجام می‌شود و تصویر رمز شده نهایی به دست می‌آید. انتخاب پارامترهای همبری ژنتیکی، تعیین نقاط تقاطع، موقعیت و قاعده جهش توسط اطلاعات تصویر اصلی و توالی‌های آشوبی کنترل می‌شوند. البته انجام عملیات ضرب تنسورها وقت‌گیر خواهد بود، بنابراین ممکن است روش ارائه شده برای کاربردهای بلادرنگ مناسب نباشد.

سعید خان و همکاران [۲۶] روشی مطرح کردند که در آن از الگوریتم PSO^۶ به منظور ساخت یک S-Box با خاصیت غیرخطی بودن استفاده کردند. برای ساخت S-Box، ابتدا جمعیت اولیه الگوریتم PSO به صورت تصادفی مقداردهی می‌شود. سپس در هر مرحله با استفاده از موقعیت عامل‌های الگوریتم PSO یک S-Box ساخته می‌شود و توسط معیارهایی که غیرخطی بودن را بررسی می‌کنند ارزیابی می‌شود. در نهایت S-Box که خاصیت غیرخطی بالایی دارد انتخاب، و در مرحله جای‌گشت استفاده می‌شود.

همان‌طور که اشاره شد، برای تأمین امنیت داده‌ها استفاده از الگوریتم‌های رمزنگاری امری اجتناب‌ناپذیر است، اما مدیریت

دنباله شبه تصادفی تولیدشده و الگوریتم خوشه‌بندی K-medoids، مرحله جای‌گشت تصویر انجام می‌شود. در مرحله جانمایی، تصویر به هم‌ریخته مرحله قبل، با استفاده از دنباله شبه تصادفی و عملگر XOR رمزنگاری می‌شود.

الگوریتم‌های فراابتکاری، الگوریتم‌های تکرار شونده‌ای هستند که در هر مرحله با توجه به اطلاعاتی که از وضعیت فعلی مسئله دریافت می‌کنند، قادر خواهند بود مؤلفه‌های هدف مسئله را بهبود ببخشند [۲۰]. از الگوریتم‌های فراابتکاری به دلیل ماهیتشان در بهینه‌سازی، می‌توان در بهبود عملکرد فرآیند رمزنگاری استفاده کرد [۲۱، ۲۲].

عبدالله و همکارانش [۲۳] روشی برای رمزنگاری تصویر مطرح کردند که برای اولین بار از الگوریتم ژنتیک^۱ در رمزنگاری تصویر استفاده شد. برای مقداردهی اولیه جمعیت ابتدا تصویر به چهار قسمت تقسیم می‌شود. سپس از نگاشت آشوب لجستیک برای رمزنگاری پیکسل‌های هر قسمت استفاده می‌شود. پس از رمزنگاری تصویر الگوریتم ژنتیک اعمال می‌شود تا در نهایت بهترین تصویر رمز شده انتخاب گردد. به این منظور از عملگر همبری^۲ استفاده می‌شود و قسمت‌های تصویر با یکدیگر جابجا می‌شوند تا شرط تابع هدف^۳ مسئله که کمینه کردن همبستگی^۴ بین پیکسل‌ها است برآورده شود.

ژانگ و همکارانش [۲۴] روشی بر پایه سیستم آشوب 2DNLML^۵ و عملگرهای الگوریتم ژنتیک برای رمزنگاری تصاویر رنگی ارائه دادند. ابتدا مقادیر اولیه سیستم 2DNLML، توسط نگاشت آشوب لجستیک تولید می‌شود. سپس سیستم 2DNLML به اندازه ابعاد تصویر یعنی $M \times N$ تکرار می‌شود تا دنباله شبه تصادفی ساخته شود. در ادامه کانال‌های رنگ تصویر اصلی جدا می‌شوند و هر کانال رنگ به یک آرایه یک بعدی تبدیل می‌شود.

در مرحله بعد پیکسل‌های هر کانال با استفاده از دنباله شبه تصادفی و عملگر XOR رمزنگاری می‌شود. در مرحله بعد با توجه به مقدار درایه دنباله آشوب متناظر با پیکسلی که در مرحله قبل رمز شده است، عملیات جهش انجام می‌شود. بدین صورت که اگر مقدار درایه دنباله آشوب زوج باشد جهش Inversion، و اگر فرد باشد جهش Swap بر روی پیکسل اعمال می‌شود.

در آخرین مرحله عملیات همبری دونقطه‌ای انجام می‌شود. به این صورت که همبری ابتدا برای پیکسل‌های جفت کانال‌های قرمز و سبز، و بعد از آن برای جفت کانال‌های آبی و قرمز اعمال

¹ Genetic algorithm

² Crossover

³ Fitness function

⁴ Correlation

⁵ Two Dimensional Nonlinear Coupled Map Lattices

⁶ Particle swarm optimization

پیشنهادی بررسی شود. در بخش پنجم نتیجه‌گیری تحقیق انجام شده بیان شده است.

۲-۲- مفاهیم مقدماتی

در این بخش تکنیک‌ها و الگوریتم‌های استفاده‌شده در روش پیشنهادی معرفی می‌شوند. این بخش شامل معرفی نگاشت‌های آشوب لورنز و آرنولد، الگوریتم فراابتکاری ژنتیک و الگوریتم استخراج ویژگی‌های چهره است.

۲-۱-۲-۱-۲- نگاشت آشوب

نظریه آشوب شاخه‌ای از ریاضیات است که به بررسی رفتار آن دسته از سیستم‌های دینامیکی غیرخطی می‌پردازد که به شرایط اولیه بسیار حساس هستند [۲۹].

دنباله اعداد تولیدشده توسط نگاشت‌های آشوب در ظاهر تصادفی و بدون نظم و ترتیب هستند؛ اما در عمل وابسته به قوانین، الگوهای خاص و شرایط اولیه سیستم هستند. تاکنون نگاشت‌های آشوب متنوعی مانند لجستیک، استاندارد، آرنولد، هنون^۴، لورنز و... ارائه شده‌اند که هر کدام باتوجه به مؤلفه‌هایی مانند ابعاد نگاشت آشوب، تعداد پارامترها و رفتاری که نگاشت آشوب از خود نشان می‌دهد در کاربردهای مختلف استفاده می‌شوند.

۲-۲-۲-۲-۲- نگاشت آرنولد

نگاشت آرنولد در سال ۱۹۶۰ توسط ولادیمیر آرنولد^۵ معرفی شد. نگاشت آرنولد یک نگاشت دوجبری است که طبق رابطه (۱) تعریف می‌شود [۳۰].

$$C = \begin{bmatrix} 2 & 1 \\ 1 & 1 \end{bmatrix}, \det C = 1 \quad (1)$$

$$\begin{bmatrix} x' \\ y' \end{bmatrix} = C \begin{bmatrix} x \\ y \end{bmatrix} \text{ mod } 1$$

که x و y موقعیت فعلی یک نقطه، x' و y' موقعیت جدید نقطه در فضای دوجبری را نشان می‌دهند. و C یک ماتریس وارون‌پذیر است.

در فرآیند رمزنگاری تصویر می‌توان از نگاشت آرنولد به منظور به هم ریختن موقعیت پیکسل‌های تصویر استفاده کرد. برای این منظور، ابتدا ماتریس ثابت C در رابطه (۱) به شکل ماتریس C در رابطه (۲) به دلیل افزایش ضریب امنیت و خاصیت تصادفی بودن بازنویسی می‌شود که با اعمال این رابطه بر روی ماتریس دوجبری تصویر، موقعیت پیکسل‌ها تغییر می‌کند [۳۱].

$$C = \begin{bmatrix} 1 & p \\ q & pq + 1 \end{bmatrix}; \det C = 1; p, q \geq 0 \quad (2)$$

$$\begin{bmatrix} x' \\ y' \end{bmatrix} = C \begin{bmatrix} x \\ y \end{bmatrix} \text{ mod } N$$

کلید رمزنگاری مسئله‌ای جدی و مهم است. در اکثر روش‌های ارائه‌شده در رمزنگاری تصویر، کلید رمزنگاری با استفاده از پارامترهای نگاشت آشوب، اطلاعات تصویر و... تولید می‌شود. برای افزایش امنیت رمزنگاری، می‌توان از مؤلفه‌های بیومتریک^۱ در تولید کلید استفاده کرد و جهت ذخیره‌سازی ایمن کلید می‌توان از زنجیره بلوکی^۲ بهره گرفت.

ژاو و همکارانش [۲۷] روشی برای رمزنگاری تصویر و احراز هویت^۳ و صحت فرد فرستنده (رمزنگار) و گیرنده بر بستر زنجیره بلوکی معرفی کردند. در شبکه زنجیره بلوکی طراحی‌شده به هر کاربر (فرستنده یا گیرنده) یک شناسه منحصر به فرد که کلید عمومی است تعلق می‌گیرد. هر تراکنش شبکه زنجیره بلوکی شامل یک امضا خاص است که از چکیده تصویر رمز شده، کلید عمومی فرستنده، کلید عمومی گیرنده و کلید رمزنگاری با استفاده از الگوریتم SHA-256 حاصل می‌شود. در این سیستم فرستنده تصویر رمز شده را به همراه امضا بر روی شبکه ارسال می‌کند و پس از تأیید تراکنش توسط گره‌های شبکه، گیرنده می‌تواند درخواست خود را برای دریافت تصویر رمز شده ارسال کند و پس از احراز هویت و دریافت اطلاعات مورد نیاز، رمزگشایی را انجام دهد.

لی و همکارانش [۲۸] یک روش رمزنگاری تصویر مبتنی بر نگاشت آشوب و اثرانگشت بر بستر زنجیره بلوکی را ارائه کردند. در این روش کلید رمزنگاری با استفاده از اطلاعات اثرانگشت به دست می‌آید. همچنین اطلاعات اثرانگشت در تصویر رمزنگاری شده ثبت شده و انتقال تصاویر بین فرستنده و گیرنده بر بستر زنجیره بلوکی انجام می‌شود؛ بنابراین می‌توان از صحت هویت فرستنده و گیرنده اطمینان حاصل کرد.

در ادامه ساختار مقاله بدین صورت خواهد بود که در بخش دوم الگوریتم ژنتیک، توابع آشوب آرنولد و لورنز معرفی می‌شوند. سپس روشی که به منظور شناسایی و کدگذاری چهره استفاده شده است بررسی می‌شود. در بخش سوم، روش پیشنهادی با دید پایین به بالا شرح داده می‌شود. بدین معنا که ابتدا قسمت‌های جزئی سیستم بررسی می‌شود و سپس یک سیستم کامل برای رمزنگاری تصویر ارائه می‌شود. در بخش چهارم ابتدا معیارهای سنجش یک الگوریتم رمزنگاری تصویر معرفی می‌شوند و سپس با استفاده از جداول، نمودارها و تصاویر نتایج الگوریتم پیشنهادی بررسی می‌شود. همچنین نتایج روش پیشنهادی با سایر روش‌های ارائه شده مشابه مقایسه می‌شود تا کارایی الگوریتم

⁴ Hénon map

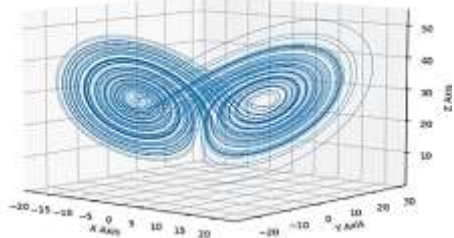
⁵ Vladimir Arnold

¹ Biometrics

² Blockchain

³ Authentication

اولیه $x_0 = 0.27$ ، $y_0 = 1.0$ و $z_0 = 0.63$ و پارامترهای ذکر شده در ۱۰۰۰۰ تکرار نشان داده شده است.



شکل (۲). مثالی از رفتار نگاشت آشوب لورنز به ازای مقادیر اولیه $x_0 = 0.27$ ، $y_0 = 1.0$ و $z_0 = 0.63$ و پارامترهای $\sigma = 10$ ، $\beta = \frac{8}{3}$ و $\rho = 28$

۴-۲-۴-۲ الگوریتم ژنتیک

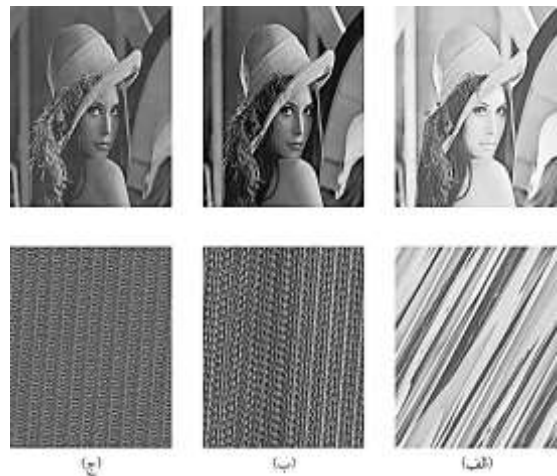
الگوریتم ژنتیک، یک روش جستجو و بهینه‌سازی بر اساس اصول تکامل طبیعی است [۳۳]. این الگوریتم جزء الگوریتم‌های تکاملی قرار می‌گیرد که بر اساس تئوری تکامل انتخاب طبیعی داروین پایه‌گذاری شده است. در این الگوریتم‌ها، یک جمعیت از طریق انتخاب اعضای برتر و کنار گذاشتن اعضای پست‌تر در طی فرآیند تولیدمثل و تکامل، بهبود می‌یابد. الگوریتم ژنتیک اجازه می‌دهد که یک جمعیت متشکل از تعداد زیادی افراد که تحت قوانین ویژه‌ای تشکیل شده‌اند، در طی فرآیند تکامل تابع هدف را بهینه نمایند. الگوریتم ژنتیک با ایجاد یک جمعیت اولیه از کروموزوم‌ها^۲ آغاز می‌شود. به عبارتی دیگر کروموزوم‌ها، رشته‌هایی از مقادیر پیشنهادی برای متغیرهای تصمیم مسئله هستند و هر یک نمایانگر یک پاسخ محتمل برای مسئله هستند. در مرحله بعد، کروموزوم‌ها با توجه به هدف بهینه‌سازی مورد ارزیابی قرار می‌گیرند و کروموزوم‌هایی که پاسخ‌های بهتری برای مسئله مورد نظر محسوب می‌شوند، شانس بیشتری برای تولید مجدد جواب‌های مسئله پیدا می‌کنند.

در مرحله تولیدمثل سه عملگر مهم و کلیدی وجود دارد: (۱) عملگر انتخاب: با استفاده از این عملگر از بین کروموزوم‌های موجود در جمعیت تعدادی برای تولیدمثل انتخاب می‌شوند. انتخاب کروموزوم‌ها به صورت تصادفی اتفاق می‌افتد اما باید به گونه‌ای باشد که کروموزوم‌هایی که شایستگی بیشتر دارند، احتمال بیشتری برای انتخاب داشته باشند. (۲) عملگر همبندی: این عملگر بر روی دو یا چند والد اعمال می‌شود و با ادغام و یا تعویض برخی از ژن‌ها دو یا چند فرزند تولید می‌شود. (۳) عملگر جهش^۳: این عملگر یک یا چند ژن را به صورت تصادفی تغییر می‌دهد.

۵-۲-۵-۲ استخراج ویژگی‌های چهره

که x و y موقعیت فعلی یک پیکسل، x' و y' موقعیت جدید پیکسل در ماتریس دوبعدی تصویر و N ابعاد تصویر (با فرض مربعی بودن تصویر) را نشان می‌دهند.

به‌عنوان مثال، سه کانال رنگ آبی، سبز و قرمز تصویر لنا جداسازی شده و پیکسل‌های هر سه کانال رنگ به‌ازای پارامترهای مختلف جابه‌جا شده‌اند. برای کانال آبی پارامترهای $p = 12$ و $q = 71$ برای کانال سبز پارامترهای $p = 10$ و $q = 3$ و کانال قرمز پارامترهای $p = 1$ و $q = 2$ استفاده شده است. نتایج جابه‌جایی پیکسل‌های هر سه کانال رنگ در شکل (۱) نشان داده شده است.



شکل (۱). اعمال نگاشت آشوب آرنولد بر روی سه کانال رنگ تصویر لنا. الف: کانال رنگ قرمز به ازای پارامترهای $p = 1$ و $q = 2$ ب: کانال رنگ سبز به ازای پارامترهای $p = 10$ و $q = 3$ ج: کانال رنگ آبی به ازای پارامترهای $p = 12$ و $q = 71$

۳-۲-۳-۲ نگاشت لورنز

سیستم لورنز یک سیستم دیفرانسیل معمولی، غیرخطی و سه‌بعدی است که در سال ۱۹۶۳ توسط ادوارد لورنز^۱ به‌منظور مدل‌سازی ریاضی همرفت جوی معرفی شد [۳۲]. سیستم لورنز استاندارد، دارای سه پارامتر σ ، ρ و β هستند که به صورت رابطه (۳) معرفی می‌شود.

$$\begin{cases} \dot{x} = \sigma(y - x) \\ \dot{y} = x(\rho - z) - y \\ \dot{z} = xy - \beta z \end{cases} \quad (3)$$

که σ ، ρ و β مقادیر مثبت هستند که به ترتیب به ازای مقادیر ۱۰، ۲۸ و $\frac{8}{3}$ سیستم رفتار آشوبناک نشان خواهد داد.

$x_0 = 0.27$ ، $y_0 = 1.0$ و $z_0 = 0.63$ توابعی برحسب زمان هستند که مقادیر جدید را بر اساس مقادیر قبلی دنباله تولید می‌کنند. در شکل (۲) مثالی از رفتار سیستم لورنز به ازای مقادیر

² Chromosome

³ Mutation

¹ Edward Norton Lorenz

از بایت‌ها تبدیل می‌شود و به‌عنوان ورودی به تابع محاسبه چکیده اعمال می‌شود و یک خروجی ۵۱۲ بیتی که متأثر از تمام پیکسل‌های تصویر است را نتیجه می‌دهد.

۳-۲-۲-۳-۲ کلید عمومی و خصوصی

از جفت کلیدهای عمومی و خصوصی در فرآیند رمزگشایی و احراز هویت استفاده می‌شود. در روش پیشنهادی از کلیدهای ۱۰۲۴ بیتی که توسط الگوریتم RSA تولید می‌شوند استفاده می‌شود.

۳-۳-۳-۳ بردار ویژگی‌های چهره

اطلاعات چهره فرد رمزگذار با استفاده از الگوریتم‌های معرفی شده در بخش ۲-۵ استخراج و کدگذاری می‌شوند؛ و خروجی نهایی یک بردار است که دارای ۱۲۸ درایه اعشاری است و هر درایه نشان‌دهنده یک یا ترکیبی از چند ویژگی چهره مانند فاصله دو چشم، طول لب‌ها و... است.

۳-۴-۳-۴ مقادیر اولیه نگاشت لورنز

همان‌طور که در بخش ۲-۳ نگاشت لورنز بررسی شد، این نگاشت به سه مقدار اولیه نیاز خواهد داشت. در روش پیشنهادی ابتدا تصویر همانند شکل (۳) به چهار قسمت تقسیم می‌شود سپس به ازای هر قسمت سه دنباله آشوب برای رمزنگاری سه کانال رنگ تولید می‌شود؛ بنابراین به ۱۲ دنباله آشوب نیاز است که به این منظور باید ۱۲ مقدار اولیه مشخص شوند.

برای تولید مقادیر اولیه نگاشت، ابتدا توسط الگوریتم SHA-512 چکیده سه داده، چکیده تصویر، بردار ویژگی‌های چهره و کلید عمومی محاسبه می‌شود. رشته ۵۱۲ بیتی نهایی به چهار قسمت مساوی ۱۲۸ بیتی تقسیم می‌شود. در مرحله بعد هر قسمت ۱۲۸ بیتی به سه رشته ۴۰ بیتی تقسیم می‌شود. در اینجا از ۸ بیت کم ارزش هر کدام از رشته‌های ۱۲۸ بیتی صرف نظر می‌شود. سپس بیت‌های هر کدام از رشته‌های ۴۰ بیتی دوبه‌دو (بیت‌های مجاور) با یکدیگر XOR می‌شوند. در آخرین مرحله سه بردار ۳۹ بیتی دودویی به سه عدد ده‌دهی تبدیل می‌شوند.

سه عدد به‌دست‌آمده طبق رابطه (۴) به سه عدد بین ۰ و ۱ تبدیل خواهند شد. با تکرار مراحل ذکر شده برای ۴ قسمت تصویر و هر سه کانال رنگ، ۱۲ مقدار اولیه بین ۰ و ۱ برای نگاشت آشوب لورنز به دست می‌آید.

$$x_i, y_i, z_i = \frac{b2d(\bar{x}) \% 2^8}{2^8} \quad (4)$$

که در رابطه (۴)، \bar{x} بردار ۳۹ بیتی، $b2d()$ تابعی برای تبدیل عدد دودویی به عددی ده‌دهی و $\%$ عملگر محاسبه باقی‌مانده تقسیم است؛ بنابراین مقادیر اولیه نگاشت متأثر از کلید عمومی، ویژگی‌های چهره و مقادیر پیکسل‌های هر سه کانال رنگ

استفاده از ویژگی‌های بیومتریک در فرآیند تولید کلید و احراز هویت اولین بار در سال ۱۹۹۴ مطرح شد [۳۴]. در این‌گونه روش‌ها می‌توان از ویژگی‌هایی مانند چهره، اثر انگشت، قریه، صوت و ... استفاده کرد که به دلیل منحصربه‌فرد بودن اطلاعات نسبت به سایر افراد، و عدم نیاز به نگهداری امن این ویژگی‌ها در بسیاری از کاربردهای رمزنگاری و احراز هویت استفاده می‌شوند [۳۵]. ویژگی‌های چهره یک فرد شامل اطلاعاتی است که در قالب برداری با مقادیر عددی شناخته می‌شود. هر کدام از مقادیر این بردار یک ویژگی را بیان می‌کند، مانند فاصله بین دو چشم، طول ابرو، فاصله بین لب تا چانه و... که برای هر فرد منحصربه‌فرد خواهد بود. استخراج ویژگی‌های چهره به‌صورت کلی در دو مرحله انجام می‌شود [۳۶]: (۱) شناسایی چهره^۱ (۲) کدگذاری چهره^۲.

(۱) شناسایی چهره: در این مرحله قسمتی از تصویر که چهره فرد را شامل می‌شود شناسایی می‌شود که می‌توان از الگوریتم‌های متنوعی مانند HOG، MTCNN و SVM استفاده کرد [۳۷-۳۹].

(۲) کدگذاری چهره: به‌منظور کدگذاری چهره می‌توان از شبکه‌های عصبی کانولوشن^۳ استفاده کرد. شبکه FaceNet در سال ۲۰۱۵ توسط محققان گوگل معرفی شد [۴۰]. آموزش این شبکه بر روی داده‌های LFW^۴ انجام شده و دقت تشخیص این مدل ۹۹/۶۳ درصد است. این روش به دلیل دقت بالاتر نسبت به روش‌هایی مانند VGG-Face و DeepID که به ترتیب دارای ۹۷/۷۸ و ۹۹/۱۵ درصد هستند در کاربردهای بیشتری استفاده می‌شود. خروجی این شبکه یک بردار عددی ۱۲۸ تایی است که هر مؤلفه از آن نشان‌دهنده‌ی یک ویژگی چهره است.

۳-۳-۳-۳ روش پیشنهادی

در این بخش روش پیشنهادی رمزنگاری تصویر بیان می‌شود. کلید رمزنگاری با استفاده از اطلاعات چهره کاربر، کلید عمومی و تصویر اصلی ساخته می‌شود. در فاز جانمایی پیکسل‌ها هر قسمت از تصویر با استفاده از یک دنباله شبه‌تصادفی جداگانه رمزنگاری می‌شود. در فاز جای‌گشت، به‌وسیله الگوریتم ژنتیک یک حالت بهینه برای به‌هم‌ریختن پیکسل‌ها انتخاب می‌شود تا همبستگی بین پیکسل‌ها به‌طور مناسبی کاهش یابد.

۳-۱-۳-۱-۳ چکیده تصویر

محاسبه چکیده تصویر به‌وسیله الگوریتم SHA-512 انجام می‌شود. برای محاسبه چکیده تصویر، ابتدا مقادیر پیکسل‌های هر سه کانال رنگ (در تصاویر خاکستری یک کانال رنگ) به رشته‌ای

¹ Face detection

² Face encoding

³ Convolutional neural network

⁴ Labeled Faces in the Wild

۳-۶-۶-۳ الگوریتم رمزنگاری

الگوریتم رمزنگاری پیشنهادی دارای دوفاز اصلی جانشینی (تغییر مقادیر پیکسل‌ها) و جای گشت (تغییر موقعیت پیکسل‌ها) است که در شکل (۵) نشان داده شده است. همچنین الگوریتم رمزنگاری و رمزگشایی مشابه هستند و تنها در برخی از پارامترهای ورودی متفاوت هستند. در روش پیشنهادی هر کانال رنگ به طور جداگانه رمزنگاری می‌شود. الگوریتم رمزنگاری شامل ۴ مرحله زیر است:

مرحله اول: استخراج ویژگی‌های بیومتریک چهره و محاسبه چکیده تصویر.

مرحله دوم: محاسبه ۱۲ مقدار اولیه نگاشت آشوب لورنز.

مرحله سوم: در این مرحله فاز جانشینی پیکسل‌ها انجام می‌شود. هر کدام از کانال‌های رنگ به چهار قسمت تقسیم می‌شوند و هر کدام از قسمت‌ها، با استفاده از یکی از دنباله‌های S_{ij} تولید شده در بخش ۳-۵ رمزنگاری می‌شوند. برای رمزنگاری سه حالت در نظر گرفته می‌شود. اگر کانال رنگ قرمز باشد قسمت‌های اول تا چهارم این کانال به ترتیب به استفاده از دنباله‌های $S_{01}, S_{11}, S_{21}, S_{31}$ و اگر کانال رنگ سبز باشد قسمت‌های اول تا چهارم این کانال به ترتیب به استفاده از دنباله‌های $S_{02}, S_{12}, S_{22}, S_{32}$ و اگر کانال رنگ آبی باشد قسمت‌های اول تا چهارم این کانال به ترتیب به استفاده از دنباله‌های $S_{03}, S_{13}, S_{23}, S_{33}$ با استفاده از رابطه‌ی (۶) رمزنگاری می‌شوند.

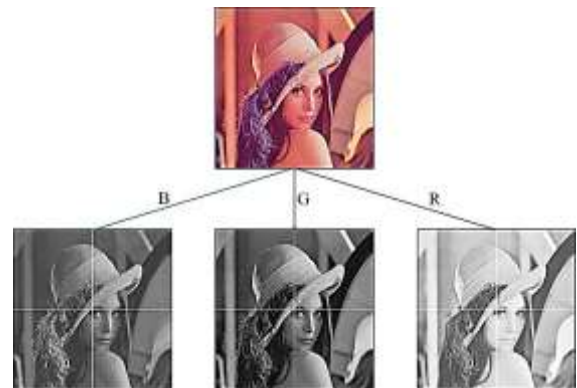
$$Pix_{New} = [Pix_{Old} \oplus round(S_{ij} \times 255)] \% 256 \quad (6)$$

که Pix_{New} مقدار جدید پیکسل، Pix_{Old} مقدار فعلی پیکسل، S_{ij} دنباله شبه تصادفی، $round$ عبارت ورودی را به نزدیک‌ترین عدد صحیح تبدیل می‌کند، \oplus علامت XOR و $\%$ علامت محاسبه باقی‌مانده است. بنابراین هر چهار قسمت کانال‌های رنگ رمزنگاری می‌شوند. سپس چهار قسمت هر کانال مجدد کنار یکدیگر قرار می‌گیرند.

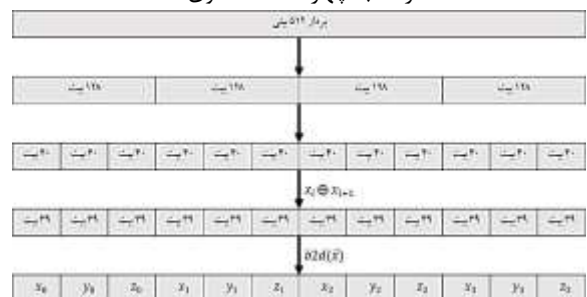
مرحله چهارم: در این مرحله فاز جای گشت انجام می‌شود و موقعیت پیکسل‌های رمز شده کانال‌های رنگ به دست آمده از مرحله قبل توسط نگاشت آرنولد که در بخش ۲-۲ معرفی شد، به هم ریخته می‌شوند. دو پارامتر اصلی a و b در نگاشت آرنولد به صورت ثابت تنظیم نمی‌شوند، بلکه توسط الگوریتم فراابتکاری ژنتیک بهترین پارامترها انتخاب می‌شوند. به منظور انتخاب بهترین پارامترهای نگاشت آرنولد توسط الگوریتم فراابتکاری ژنتیک مراحل زیر طی می‌شوند:

الف) مقداردهی اولیه عامل‌ها: در این مرحله جمعیت الگوریتم بهینه‌سازی را مقادیر مختلف پارامترهای a و b می‌سازند. بنابراین مسئله دارای دو متغیر است. هر کدام از متغیرها

خواهد بود. مراحل محاسبه مقادیر اولیه نگاشت آشوب در شکل (۴) نشان داده شده است.



شکل (۳). جداسازی کانال‌های رنگ تصویر لنا و تقسیم‌بندی هر کانال رنگ به چهار قسمت مساوی



شکل (۴). مراحل محاسبه دوازده مقدار اولیه برای نگاشت آشوب لورنز

۳-۵-۵-۳ تولید دنباله‌های شبه تصادفی

با استفاده از ۱۲ مقدار اولیه تولید شده در بخش ۳-۴، ۱۲ دنباله شبه تصادفی تولید می‌شود. برای تولید دنباله از نگاشت آشوب لورنز با پارامترهای معرفی شده در بخش ۲-۳ استفاده می‌شود. ابتدا سه دنباله S_{01}, S_{02}, S_{03} با استفاده از سه مقدار اولیه x_0, y_0, z_0 تولید می‌شوند. سپس سه دنباله S_{11}, S_{12}, S_{13} با استفاده از سه مقدار اولیه x_1, y_1, z_1 تولید می‌شوند. به طور مشابه طبق رابطه (۵)، دوازده دنباله شبه تصادفی تولید می‌شوند.

$$\begin{aligned} S_{01}, S_{02}, S_{03} &= Lorenz_System(x_0, y_0, z_0) \\ S_{11}, S_{12}, S_{13} &= Lorenz_System(x_1, y_1, z_1) \end{aligned} \quad (5)$$

$$S_{21}, S_{22}, S_{23} = Lorenz_System(x_2, y_2, z_2)$$

$$S_{31}, S_{32}, S_{33} = Lorenz_System(x_3, y_3, z_3)$$

که در رابطه (۵)، $Lorenz_System(x_i, y_i, z_i)$ تابعی

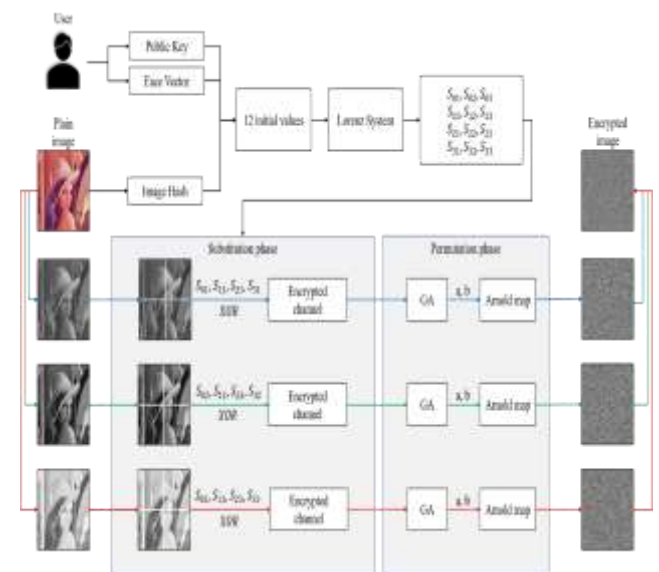
است برای تولید سه دنباله شبه تصادفی با استفاده از سه مقدار اولیه ورودی و S_{ij} زامین دنباله تولید شده با استفاده از i امین دسته مقادیر اولیه است. در روش پیشنهادی طول دنباله‌های تولید شده با یکدیگر برابر، و برابر با تعداد پیکسل‌های یکی از چهار قسمت تصویر است بنابراین اگر تصویر اصلی N سطر و M ستون داشته باشد و چهار قسمت مساوی تقسیم شود، طول هر دنباله $M / 4 \times N / 4$ خواهد بود.

یک عدد صحیح مثبت هستند که در اینجا مقدار هر متغیر در بازه $[1, 65535]$ قرار می‌گیرد؛ یعنی برای هر متغیر ۱۶ بیت در نظر گرفته می‌شود. به عنوان مثال اگر جمعیت دارای ۱۰۰ عضو باشد و هر عضو دارای دو متغیر باشد، بنابراین یک ماتریس 100×32 به صورت تصادفی ساخته می‌شود.

(ب) ارزیابی عامل‌ها: پس از ساخت جمعیت اولیه نوبت به ارزیابی عامل‌ها است تا شایسته‌ترین عامل مشخص شود. برای ارزیابی عامل‌ها، تابع شایستگی؛ همبستگی بین پیکسل‌های تصویر تعریف می‌شود؛ یعنی به ازای متغیرهای a و b یک عامل، پیکسل‌های تصویر توسط نگاشت آرنولد به هم ریخته می‌شوند. سپس مقدار همبستگی پیکسل‌های سطر، ستون و قطر ماتریس به هم ریخته شده اندازه‌گیری می‌شود؛ بنابراین بهینه‌سازی بر روی سه هدف به طور هم‌زمان باید انجام شود. از این رو مسئله چند هدف را با استفاده از روش مجموع وزن‌دار اهداف، به یک مسئله تک هدف تبدیل می‌کنیم؛ بنابراین سه مقدار اندازه‌گیری شده با وزن‌های یکسان با یکدیگر جمع می‌شوند تا یک عدد صحیح را نتیجه دهند. عدد به دست آمده نشان‌دهنده شایستگی آن عامل خواهد بود و هر چه این مقدار کمتر باشد، شایستگی عامل بیشتر خواهد بود؛ بنابراین بهینه‌سازی مسئله، کمینه‌سازی تابع هدف است.

(ج) بروز رسانی جمعیت: عامل‌ها بر اساس شایستگی‌شان به روزرسانی می‌شوند و جمعیت مرحله بعد ساخته می‌شود (انتخاب، همبری، جهش).

(د) پاسخ نهایی: در نهایت پس از رسیدن به شرط توقف مسئله که در اینجا تعداد تکرارهای الگوریتم فراابتکاری تنظیم شده است، بهترین مقادیر a و b برای نگاشت آرنولد انتخاب می‌شوند و جای گشت تصویر انجام می‌شود.



شکل (۵). شماتیک الگوریتم رمزنگاری پیشنهادی که دارای دو فاز اصلی جانشینی و جایگشت است.

۳-۷-۷-۳ کلید رمزنگاری

کلید رمزنگاری و رمزگشایی یکسان خواهند بود. همچنین کلید باید دارای طول قابل قبولی برای تأمین امنیت باشد. کلید با استفاده از اطلاعاتی که در رمزنگاری استفاده شده است ساخته می‌شود. ابتدا رشته ۵۱۲ بیتی حاصل از چکیده کلید عمومی، ویژگی‌های چهره و چکیده تصویر نیاز است. همچنین نگاشت لورنز دارای سه پارامتر اعشاری است بنابراین برای هر پارامتر ۶۴ بیت در نظر گرفته می‌شود که در مجموع ۱۹۲ بیت نیاز خواهد داشت. آخرین قسمت کلید شامل پارامترهای نگاشت آرنولد خواهد بود که در فاز جای‌گشت تصویر استفاده شده‌اند. برای هر متغیر به ۱۶ بیت نیاز است که در مجموع برای ۶ متغیر در تصاویر رنگی (۲ متغیر به ازای هر کانال رنگ) و ۲ متغیر در تصاویر خاکستری به ترتیب ۹۶ و ۳۲ بیت نیاز است؛ بنابراین در تصاویر رنگی طول کلید ۸۰۰ بیت و در تصاویر خاکستری ۷۳۶ بیت خواهد بود. ترتیب قرارگیری اطلاعات و ساخت کلید این‌گونه خواهد بود که ابتدا رشته ۵۱۲ بیتی در سمت چپ، پس از آن رشته ۱۹۲ بیتی و در آخر رشته ۹۶ بیتی یا ۳۲ بیتی بسته به نوع تصویر کنار یکدیگر قرار می‌گیرند.

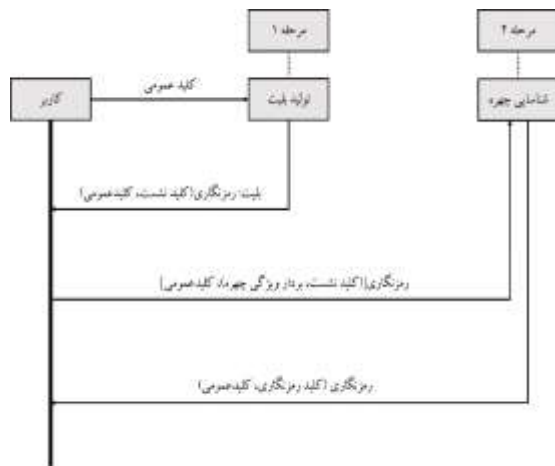
۳-۸-۸-۳ ذخیره کلید در زنجیره بلوکی

به منظور نگهداری ایمن کلید رمزنگاری و همچنین احراز هویت کاربر، پس از رمزنگاری تصویر، کلید تولیدشده در بخش ۳-۷ و بردار ویژگی‌های چهره کاربر در یک شبکه زنجیره بلوکی ذخیره‌سازی می‌شوند. در شبیه‌سازی زنجیره بلوکی روش پیشنهادی، از IPFS^۱ مبتنی بر اتریوم^۲ با استفاده از زبان برنامه‌نویسی Golang استفاده شده است. ساختار بلوک‌ها در شبکه در شکل (۶) نشان داده شده است. هر بلوک دارای دو قسمت اصلی تیترا^۳ و بدنه^۴ است. در قسمت تیترا؛ نسخه شبکه زنجیره بلوکی، مهر زمانی^۵، رشته Nonce، درجه سختی، چکیده بلوک قبل و ریشه درخت مرکل قرار می‌گیرد. در قسمت بدنه بلوک تراکنش‌ها قرار می‌گیرند، هر تراکنش به صورت رابطه (۷) تعریف می‌شود.

$$Transaction = Enc[(Face Vector, Key), Public Key] \quad (7)$$

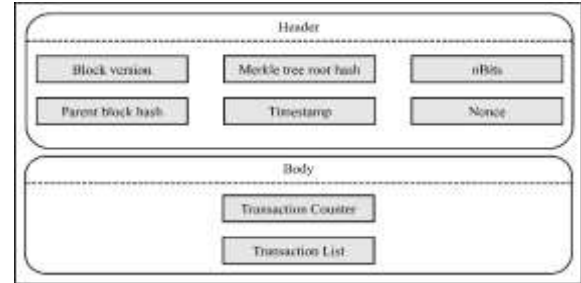
که $Enc(x, Public Key)$ رمزنگاری داده x با استفاده

¹ InterPlanetary File System
² Ethereum
³ Header
⁴ Body
⁵ Timestamp



شکل (۷). احراز هویت دو مرحله‌ای به منظور رمزگشایی تصویر

از الگوریتم RSA و کلید عمومی *Public Key*، *Face Vector* بردار ویژگی‌های چهره و *Key* کلید ۸۰۰ بیتی (تصاویر رنگی) یا ۷۳۶ بیتی (تصاویر خاکستری) است.



شکل (۶). ساختار یک بلوک در زنجیره بلوکی

۳-۹-۹-۳ رمزگشایی و احراز هویت

به منظور رمزگشایی تصاویر دو مرحله احراز هویت اجرا می‌شود. سیستم احراز هویت دو مرحله‌ای روش پیشنهادی در شکل (۷) نشان داده شده است. در اولین مرحله کاربر برای رمزگشایی تصویر، کلید عمومی خود را به عنوان یک شناسه کاربری ارسال می‌کند. سیستم یک بلیت (پیام) که حاوی کلید موقت نشست است را با استفاده از کلید عمومی کاربر رمزنگاری و برای کاربر ارسال می‌کند. تنها، فردی می‌تواند به کلید نشست دسترسی پیدا کند که همچنین ارائه بلیت برای رسیدن به مرحله دوم الزامی است. در مرحله دوم، تصویری از چهره فرد دریافت می‌شود. سپس بردار ویژگی‌های چهره استخراج می‌شود. ویژگی‌های چهره دریافتی با بردار ویژگی‌های چهره ذخیره شده در زنجیره بلوکی مطابق بخش ۳-۱۰-۳ مطابقت داده می‌شوند. اگر تأیید شود که چهره فرد درخواست کننده با چهره فرد رمزنگار یکسان است (درخواست کننده همان فرد رمزگذار است) کلید مورد نیاز رمزگشایی که در زنجیره بلوکی ذخیره شده است، برای کاربر ارسال می‌شود. پس از دریافت کلید رمزنگاری، فرآیند رمزگشایی معکوس رمزنگاری خواهد بود.

۳-۱۰-۱۰-۳ تطابق چهره

به منظور مشخص کردن انطباق دو چهره کافی است که بردار ویژگی‌های دو چهره استخراج شوند. سپس فاصله بین دو بردار اندازه گیری شود. اگر فاصله بین دو بردار از یک حد آستانه بیشتر باشد انطباق دو چهره رد می‌شود؛ اما اگر فاصله از حد آستانه کمتر باشد، انطباق چهره‌ها تأیید می‌شود. برای اندازه گیری فاصله دو بردار از فاصله اقلیدسی استفاده می‌شود:

فاصله اقلیدسی: فاصله بردار ویژگی اول x و بردار ویژگی دوم y طبق رابطه (۸) محاسبه می‌شود.

$$d(x, y) = \sqrt{\sum_{i=1}^n (x_i - y_i)^2} \quad (8)$$

که $i = 1, 2, \dots, n$ اندیس ویژگی‌ها و n تعداد ویژگی‌ها است. مقادیر حد آستانه به صورت آزمایشی و تجربی به دست آمده‌اند که بسته به مدل یادگیری متفاوت هستند. مقادیر حد آستانه برای مدل FaceNet، برای فاصله‌های اقلیدسی و اقلیدسی نرمال شده، مقادیر ۱۰ و ۰/۸ هستند.

۴-۴-۴ ارزیابی و نتایج

برای بررسی عملکرد و کارایی یک الگوریتم رمزنگاری، نیاز است آزمایش‌هایی بر روی نتایج به دست آمده از آن الگوریتم صورت گیرد. در الگوریتم‌های رمزنگاری تصاویر، هدف اصلی آزمایش‌ها سنجش میزان امنیت الگوریتم و مقاومت در برابر انواع حملات است. در آزمایش‌های انجام شده از الگوریتم ژنتیک دودویی با اندازه جمعیت ۱۰۰ استفاده شده است. برای هر متغیر ۱۶ بیت در

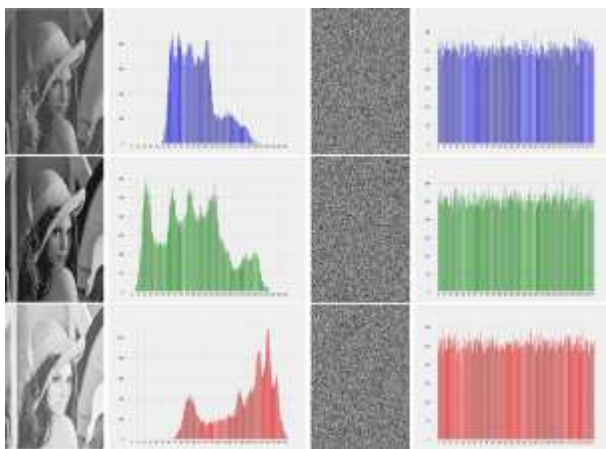
نظر گرفته شده است.

۲-۴-۲-۴ تحلیل هیستوگرام

هیستوگرام^۳ توزیع مقادیر پیکسل یک تصویر را نشان می‌دهد. هیستوگرام تصویر اصلی باید کاملاً با هیستوگرام تصویر رمزنگاری شده متفاوت باشد.

هیستوگرام تصاویر اصلی ماهیت غیریکنواختی دارند. در حالی که هیستوگرام تصاویر رمزنگاری شده باید ماهیت یکنواخت داشته باشند؛ یعنی همه پیکسل‌ها به طور مساوی در فضا توزیع شده باشند.

در شکل (۸) هیستوگرام تصویر، قبل و بعد از رمزنگاری ترسیم شده است. همان‌طور که گفته شد، هیستوگرام تصویر رمز



شده به حالت یکنواخت تبدیل شده است.

شکل (۸). نمودار هیستوگرام تصویر نمونه لنا به ازای سه کانال رنگ، قبل و بعد از رمزنگاری

جدول (۱). مقادیر دو معیار NPCR و UACI برای شش تصویر نمونه

تصویر اندازه	معیار	کانال رنگ		
		قرمز	سبز	آبی
Lena 256	NPCR(%)	۹۹/۶۳۱۷	۹۹/۶۵۰۱	۹۹/۶۲۵۹
	UACI(%)	۳۳/۴۱۴۷	۳۳/۴۳۹۸	۳۳/۴۰۳۶
House 256	NPCR(%)	۹۹/۶۰۰۱	۹۹/۶۱۷۲	۹۹/۶۱۶۳
	UACI(%)	۳۳/۴۳۲۵	۳۳/۵۷۰۲	۳۳/۴۱۶۸
Jelly bean 256	NPCR(%)	۹۹/۶۱۶۹	۹۹/۶۲۲۱	۹۹/۶۱۵۶
	UACI(%)	۳۳/۴۱۱۸	۳۳/۴۱۹۸	۳۳/۴۲۶۰
Peppers 512	NPCR(%)	۹۹/۶۰۹۵	۹۹/۶۱۰۳	۹۹/۶۱۱۲
	UACI(%)	۳۳/۴۳۳۵	۳۳/۴۴۷۵	۳۳/۴۴۷۰

روش‌های استفاده شده در مراحل مختلف الگوریتم ژنتیک به شرح زیر می‌باشد: ۱- عملگر انتخاب: انتخاب تورنمنت؛ ۲- مقیاس کردن شایستگی: انتخاب بولتزمن؛ ۳- عملگر همبندی: غیریکنواخت مبتنی بر ماسک الگو. ۴- تعداد تکرارها: ۳۰ تکرار. همچنین در تمام آزمایش‌ها نرخ جهش و همبندی به ترتیب برابر با ۰/۰۵ و ۰/۹ است.

۴-۱-۱-۴ تحلیل تفاضلی

تحلیل تفاضلی بر پایه میزان حساس بودن الگوریتم رمزنگاری در برابر تغییرات ورودی است. بدین معنا که کوچک‌ترین تغییر در ورودی حتی به اندازه یک بیت باعث تغییر حداقل ۵۰ درصدی در خروجی شود [۴۱]. این نوع تحلیل دارای دو معیار NPCR و UACI است [۴۲].

NPCR به عنوان درصد اختلاف تعداد پیکسل‌های دو تصویر رمز شده است که یکی از تصاویر؛ تصویر اصلی است و تصویر دوم، تصویر اصلی با یک تغییر جزئی خواهد بود. معیار NPCR طبق رابطه (۹) اندازه‌گیری می‌شود.

$$NPCR = \frac{\sum_{i,j} D(i,j)}{W \times H} \times 100 \quad (9)$$

$$D(i,j) = \begin{cases} 0 & \text{if } E(i,j) = \hat{E}(i,j) \\ 1 & \text{if } E(i,j) \neq \hat{E}(i,j) \end{cases}$$

که H و W به ترتیب عرض و طول تصویر، $D(i,j)$ تفاوت بین پیکسل‌های متناظر تصویر رمزگذاری شده تصویر اصلی ($E(i,j)$) و تصویر تغییر یافته ($\hat{E}(i,j)$) را نشان می‌دهد.

UACI میانگین اختلاف بین دو تصویر (یک تصویر اصلی و یک تصویر تغییر یافته) رمزنگاری شده را اندازه‌گیری می‌کند که طبق رابطه (۱۰) تعریف می‌شود.

$$UACI = \frac{\sum_{i,j} E(i,j) - \hat{E}(i,j)}{255 \times W \times H} \times 100 \quad (10)$$

در جدول (۱) نتایج آزمایش دو معیار NPCR و UACI برای تصویر رمز شده به ازای هر سه کانال رنگ آورده شده است. مقادیر $UACI > ۳۳/۴$ و $NPCR > ۹۹/۶$ تضمین می‌کند که یک الگوریتم رمزنگاری تصویر در برابر حمله تفاضلی مقاوم است [۴۳].

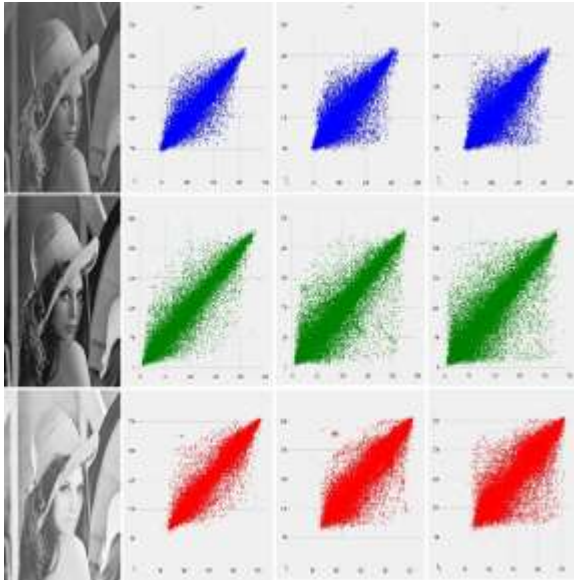
با توجه به جدول (۱)، الگوریتم رمزنگاری دارای حساسیت مناسبی در برابر تغییرات جزئی است و توانسته است مقادیر بالایی برای دو معیار NPCR و UACI را کسب کند.

³ Histogram

¹ Tournament selection

² Boltzmann selection

است. باتوجه به شکل (۹)، نمودارهای ترسیم شده همانند نمودار خطی تابع $f(x) = y$ است. بدین معنا که پیکسل‌ها دارای رابطه‌ای خطی هستند؛ اما در شکل (۱۰)، پس از رمزنگاری تصویر، روابط بین پیکسل‌ها به کلی از بین رفته است.



شکل (۹). نمودار نقطه‌ای همبستگی پیکسل‌های سه کانال رنگ برای تصویر لنا

تصویر اندازه	معیار	کانال رنگ		
		آبی	سبز	قرمز
Mandrill 512	NPCR(%)	۹۹/۶۰۷۴	۹۹/۶۰۸۵	۹۹/۶۲۳۵
	UACI(%)	۳۳/۴۶۹۲	۳۳/۴۶۲۱	۳۳/۵۶۳۸
Aircraft 512	NPCR(%)	۹۹/۶۱۹۲	۹۹/۶۰۵۲	۹۹/۶۲۶۷
	UACI(%)	۳۳/۴۳۷۳	۳۳/۴۳۶۰	۳۳/۴۳۴۴
White 256	NPCR(%)	۹۹/۶۰۷۳	۹۹/۵۹۸۷	۹۹/۶۳۵۸
	UACI(%)	۳۳/۵۰۱۸	۳۳/۴۷۱۶	۳۳/۵۳۹۸
Black 256	NPCR(%)	۹۹/۶۰۸۱	۹۹/۵۸۹۷	۹۹/۶۱۵۰
	UACI(%)	۳۳/۴۱۹۷	۳۳/۳۹۸۳	۳۳/۴۲۵۸

۴-۳-۳-۴ ضریب همبستگی

ضریب همبستگی برای یافتن شباهت بین پیکسل‌های متناظر یک تصویر اصلی و رمزنگاری شده استفاده می‌شود. مقادیر پیکسل‌های مجاور یک تصویر اصلی در سه جهت افقی، مورب و عمودی دارای ضریب همبستگی بالایی هستند. در حالی که یک الگوریتم رمزنگاری مناسب ضریب همبستگی پیکسل‌های تصویر رمز شده را کاهش می‌دهد. ضریب همبستگی طبق رابطه (۱۱) محاسبه می‌شود.

$$r_{x,y} = \frac{C(x,y)}{\sqrt{D(x)} \cdot \sqrt{D(y)}}$$

$$C(x,y) = \frac{\sum_{i=1}^K (x_i - E(x))(y_i - E(y))}{K}$$

$$D(x) = \frac{1}{K} \sum_{i=1}^K (x_i - E(x))^2 \quad (11)$$

$$D(y) = \frac{1}{K} \sum_{i=1}^K (y_i - E(y))^2$$

که $C(x,y)$ کوواریانس^۱، x و y مختصات تصویر، K تعداد جفت پیکسل‌های (x_i, y_i) ، $D(x)$ و $D(y)$ به ترتیب انحراف معیار x و y ، و $E(x)$ میانگین پیکسل‌های x_i است. در جدول (۲)، نتایج میزان همبستگی پیکسل‌های شش تصویر به ازای سه کانال رنگ، و برای هر سه جهت عمودی، افقی و قطری اندازه‌گیری شده است. باتوجه به مقادیر جدول (۲)، الگوریتم رمزنگاری به خوبی توانسته است همبستگی بین پیکسل‌ها را از بین ببرد.

همچنین برای درک بهتر چگونگی تغییر همبستگی پیکسل‌ها قبل و بعد از رمزنگاری، نمودار نقطه‌ای پیکسل‌ها به ازای سه کانال رنگ و سه جهت عمودی، افقی و قطری ترسیم شده است که در شکل‌های (۹) و (۱۰) نشان داده شده

¹ Covariance

جدول (۲). مقادیر همبستگی پیکسل‌های کانال‌های رنگ تصاویر

تصویر اندازه	کانال رنگ	جهت همبستگی		
		عمودی	افقی	قطری
Lena 256	قرمز	-۰/۱۸۳۵	-۰/۱۵۴۶	-۰/۰۴۰۳
	سبز	-۰/۰۱۲۴	-۰/۱۸۱۷	-۰/۱۹۰۹
	آبی	-۰/۱۴۹۷	-۰/۰۹۵۹	-۰/۱۵۳۱
House 256	قرمز	-۰/۱۸۸۴	-۰/۱۰۶۰	-۰/۱۱۲۵
	سبز	-۰/۱۵۸۸	-۰/۱۰۰۱	-۰/۱۲۵۳
	آبی	-۰/۱۳۸۲	-۰/۰۹۷۶	-۰/۱۴۶۰
Jelly bean 256	قرمز	-۰/۰۸۲۴	-۰/۲۲۰۸	-۰/۱۹۱۰
	سبز	-۰/۲۶۹۵	-۰/۱۲۷۷	-۰/۰۹۷۳
	آبی	-۰/۰۳۳۴	-۰/۱۴۴۱	-۰/۲۴۴۸
Peppers 512	قرمز	-۰/۱۳۴۲	-۰/۱۹۶۷	-۰/۱۱۹۹
	سبز	-۰/۱۳۴۹	-۰/۱۶۴۷	-۰/۱۲۶۶
	آبی	-۰/۱۰۱۱	-۰/۱۶۷۰	-۰/۱۵۴۸
Mandrill 512	قرمز	-۰/۰۹۹۷	-۰/۱۵۳۲	-۰/۱۲۱۴
	سبز	-۰/۲۰۷۶	-۰/۰۹۸۵	-۰/۱۱۹۲
	آبی	-۰/۱۵۰۷	-۰/۰۸۷۳	-۰/۱۴۶۰
Aircraft 512	قرمز	-۰/۲۰۰۳	-۰/۱۰۳۹	-۰/۱۳۴۶
	سبز	-۰/۱۶۷۴	-۰/۲۵۴۵	-۰/۱۰۴۱
	آبی	-۰/۲۷۱۰	-۰/۱۲۶۹	-۰/۰۷۳۷
White 256	قرمز	-۰/۱۴۹۷	-۰/۱۰۵۸	-۰/۱۷۲۶
	سبز	-۰/۱۸۵۹	-۰/۱۵۳۰	-۰/۱۸۷۱
	آبی	-۰/۱۶۶۲	-۰/۰۹۸۰	-۰/۱۶۶۸
Black 256	قرمز	-۰/۱۵۷۳	-۰/۱۶۹۶	-۰/۱۴۲۰
	سبز	-۰/۱۳۸۹	-۰/۱۸۲۰	-۰/۱۲۳۵
	آبی	-۰/۱۳۶۲	-۰/۱۶۳۰	-۰/۰۹۹۷

به دست فردی مخرب می‌رسد و بخشی از تصویر را تخریب می‌کند که به نام حمله برش شناخته می‌شود. در این صورت زمان رمزگشایی تصویر، اطلاعات تصویر از بین رفته است و تصویر رمزگشایی شده، متفاوت از تصویر اصلی خواهد بود.

اگر الگوریتم رمزنگاری مناسب باشد (توزیع مناسب پیکسل‌ها، از بین بردن اطلاعات آماری) حتی پس از تخریب بخشی از تصویر، تصویر رمزگشایی شده همچنان قابل استفاده خواهد بود و تنها بر اساس میزان تخریب، تصویر دچار نویز می‌شود.

به منظور سنجش مقاومت الگوریتم رمزنگاری در برابر حمله برش، تصویر رمزنگاری شده با درصدهای مختلفی تخریب می‌شود و سپس رمزگشایی می‌شود. نتایج آزمایش با درصد تخریب ۶٪، ۲۵٪ و ۵۰٪ برای کانال آبی تصویر نمونه لنا در تصویر (۱۱) قابل مشاهده است.

در آزمایش دیگری ۲۵ درصد هر سه کانال رنگ در موقعیت‌های متفاوت تخریب می‌شوند و تصویر رنگی نهایی رمزگشایی می‌شود. نتیجه آزمایش در شکل (۱۲) نشان داده شده است.

باتوجه به نتایج حاصل شده، می‌توان نتیجه گرفت که

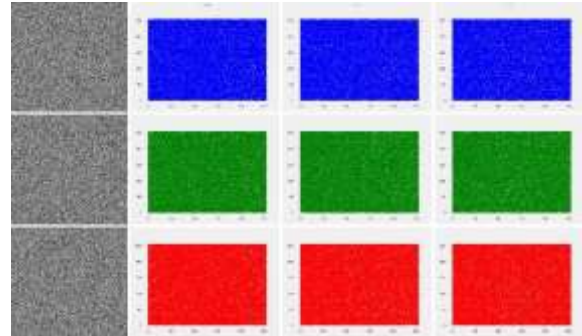
۴-۴-۴-۴ آنتروپی

آنتروپی میانگین اطلاعات هر بیت در یک تصویر را اندازه‌گیری می‌کند که شامل اطلاعات احتمالی موجود در تصویر است. هر پیکسل مقدار متفاوتی دارد؛ بنابراین، آنتروپی یک تصویر رمزنگاری شده به این معنی است که هر پیکسل احتمال برابری با توزیع یکنواخت دارد. آنتروپی طبق رابطه (۱۲) محاسبه می‌شود.

$$H(S) = - \sum_s (P(s_i) \times \log_2 P(s_i)) \quad (12)$$

که $H(S)$ نشان‌دهنده محاسبه آنتروپی برای داده S و $P(s_i)$ احتمال رخداد s_i است. مقدار آنتروپی برای تصاویر ۸ بیتی بین بازه [0,8] قرار می‌گیرد. برای بررسی میزان آنتروپی تصاویر رمزنگاری شده، آنتروپی شش تصویر نمونه پس از رمزنگاری محاسبه شده است و نتایج آن به ازای هر سه کانال رنگ در جدول (۳) آورده شده است.

باتوجه به جدول (۳) مقدار آنتروپی تمامی آزمایش‌ها بسیار نزدیک به حد نهایی آنتروپی (عدد ۸) برای یک تصویر ۸ بیتی است.



شکل (۱۰). نمودار نقطه‌ای همبستگی پیکسل‌های سه کانال رنگ برای تصویر رمز شده لنا

جدول (۳). مقدار آنتروپی شش تصویر نمونه پس از رمزنگاری به ازای سه کانال رنگ

تصویر اندازه	آنتروپی		
	آبی	سبز	قرمز
Lena 256	۷/۹۹۷۲	۷/۹۹۷۴	۷/۹۹۶۹
House 256	۷/۹۹۷۴	۷/۹۹۷۱	۷/۹۹۷۳
Jelly bean 256	۷/۹۹۷۰	۷/۹۹۷۱	۷/۹۹۷۲
Peppers 512	۷/۹۹۹۲	۷/۹۹۹۳	۷/۹۹۹۳
Mandrill 512	۷/۹۹۹۲	۷/۹۹۹۱	۷/۹۹۹۴
Aircraft 512	۷/۹۹۹۳	۷/۹۹۹۰	۷/۹۹۹۲
White 256	۷/۹۹۷۰	۷/۹۹۷۲	۷/۹۹۷۴
Black 256	۷/۹۹۶۸	۷/۹۹۷۳	۷/۹۹۷۱

۴-۵-۴-۵-۴ آزمایش داده‌های از دست‌رفته

در این آزمایش فرض می‌شود که تصویر رمز شده در زمان انتقال

جدول (۴). کلیدهای رمز تغییر یافته

کلید رمز	پارامترهای کلید
Key 1	{main vector, $\sigma, \rho, \beta, a_b, b_b, a_g, b_g, a_r, b_r$ }
Key 2	{main vector, $\hat{\sigma}, \rho, \beta, a_b, b_b, a_g, b_g, a_r, b_r$ }
Key 3	{main vector, $\sigma, \hat{\rho}, \beta, a_b, b_b, a_g, b_g, a_r, b_r$ }
Key 4	{main vector, $\sigma, \rho, \hat{\beta}, a_b, b_b, a_g, b_g, a_r, b_r$ }
Key 5	{main vector, $\sigma, \rho, \beta, \hat{a}_b, b_b, a_g, b_g, a_r, b_r$ }
Key 6	{main vector, $\sigma, \rho, \beta, a_b, \hat{b}_b, a_g, b_g, a_r, b_r$ }
Key 7	{main vector, $\sigma, \rho, \beta, a_b, b_b, \hat{a}_g, b_g, a_r, b_r$ }
Key 8	{main vector, $\sigma, \rho, \beta, a_b, b_b, a_g, \hat{b}_g, a_r, b_r$ }
Key 9	{main vector, $\sigma, \rho, \beta, a_b, b_b, a_g, b_g, \hat{a}_r, b_r$ }
Key 10	{main vector, $\sigma, \rho, \beta, a_b, b_b, a_g, b_g, a_r, \hat{b}_r$ }

جدول (۵). مقادیر NPCR برای تصویر رمز شده با کلید اصلی و تغییر یافته.

کلید رمز	NPCR		
	قرمز	سبز	آبی
Key 1	۹۹/۶۰۴۶	۹۹/۵۸۷۰	۹۹/۵۹۳۰
Key 2	۹۹/۵۸۸۰	۹۹/۶۰۰۲	۹۹/۶۰۴۸
Key 3	۹۹/۶۰۴۲	۹۹/۶۱۶۴	۹۹/۵۸۵۱
Key 4	۹۹/۶۱۱۲	۹۹/۶۲۰۳	۹۹/۵۸۷۲
Key 5	۹۹/۶۰۴۰	۹۹/۵۸۶۷	۹۹/۵۸۱۶
Key 6	۹۹/۵۹۵۲	۹۹/۵۹۸۴	۹۹/۶۱۹۲
Key 7	۹۹/۵۸۵۵	۹۹/۵۸۲۸	۹۹/۶۲۹۱
Key 8	۹۹/۵۹۹۸	۹۹/۶۰۵۰	۹۹/۶۱۰۸
Key 9	۹۹/۶۰۸۵	۹۹/۶۲۶۲	۹۹/۶۱۴۸
Key 10	۹۹/۶۱۹۹	۹۹/۶۱۰۳	۹۹/۶۰۹۸

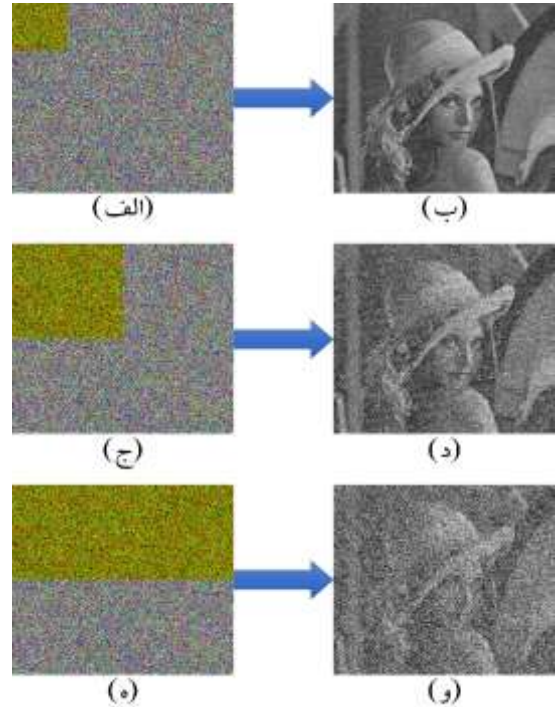
۴-۶-۴ تحلیل کلید رمز

همان طور که در بخش ۳-۷ اشاره شد، کلید رمزنگاری برای تصاویر رنگی و خاکستری، به ترتیب دارای ۸۰۰ و ۷۳۶ بیت است؛ بنابراین باتوجه به طول مناسب کلید، الگوریتم رمزنگاری در برابر حمله Brute Force مقاوم خواهد بود. از طرفی بخش ابتدایی کلید (۵۱۲ بیت ابتدا) چکیده سه داده کلید عمومی، بردار ویژگی های چهره و تصویر اصلی است؛ بنابراین تغییر یک بیت در داده های ذکر شده منجر به تغییر کل کلید رمز می شود، زیرا مقادیر اولیه نگاشت لورنز، از چکیده داده ها حاصل می شود. برای بررسی حساسیت الگوریتم رمزنگاری نسبت به کلید رمز، ابتدا تصویر نمونه لسا با کلید اصلی

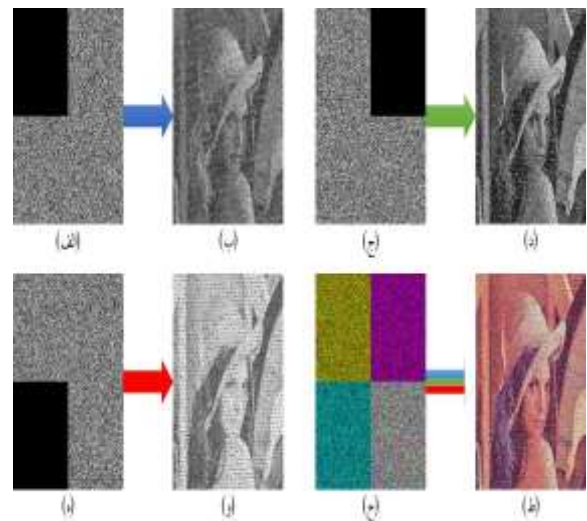
$$Key = \{main\ vector, \sigma, \rho, \beta, a_b, b_b, a_g, b_g, a_r, b_r\}$$

رمزنگاری می شود. سپس هر بخش از کلید به طور مستقل دچار تغییری جزئی می شود و مابقی بخش های کلید ثابت می ماند. کلیدهای حاصل در جدول (۴) نشان داده شده اند.

الگوریتم رمزنگاری مقاومت مناسبی در برابر حمله برش دارد و حتی پس از تخریب بخشی از تصویر، تصویر رمزگشایی شده قابل استفاده است.



شکل (۱۱). مقاومت الگوریتم رمزنگاری در برابر حمله برش. (الف): تخریب ۶ درصد (ب): رمزگشایی تصویر «الف» (ج): تخریب ۲۵ درصد (د): رمزگشایی تصویر «ج» (ه): تخریب ۵۰ درصد (و): رمزگشایی تصویر «ه»



شکل (۱۲). مقاومت الگوریتم رمزنگاری در برابر حمله برش. (الف): تخریب ۲۵ درصد کانال آبی (ب): رمزگشایی تصویر «الف» (ج): تخریب ۲۵ درصد کانال سبز (د): رمزگشایی تصویر «ج» (ه): تخریب ۲۵ درصد کانال قرمز (و): رمزگشایی تصویر «ه» (ز): ترکیب کانال های رنگ رمز شده (ط): رمزگشایی تصویر «ز»

های بیومتریک چهره و زنجیره بلوکی ارائه شده است که در فاز جانشینی از سه داده چکیده تصویر اصلی، بردار ویژگی‌های چهره و کلید عمومی برای تولید دنباله‌های شبه تصادفی استفاده شده است؛ بنابراین مقادیر دنباله‌ها بسیار وابسته به سه داده ذکر شده هستند و با تغییر یک بیت در هر کدام از داده‌ها، مقادیر دنباله‌های شبه تصادفی به کلی تغییر می‌کند. فاز جای‌گشت با استفاده از الگوریتم فراابتکاری ژنتیک کارا تر و بهینه‌تر انجام شد. در این فاز ابتدا یک جمعیت اولیه ساخته می‌شود که هر کدام از اعضای جمعیت دارای دو متغیر (دو متغیر نگاشت آرنولد) است.

تصویر توسط نگاشت آرنولد به‌ازای هر کدام از اعضای جمعیت جای‌گشت داده می‌شود و در هر مرحله جمعیت جدید بر اساس شایستگی ساخته می‌شود. پس از رسیدن به شرط توقف الگوریتم ژنتیک، بهترین عضو انتخاب، و تصویر جای‌گشت داده می‌شود. تابع شایستگی، مجموع وزن دار سه مقدار همبستگی پیکسل‌ها (افقی، عمودی و قطری) است. باتوجه‌به نتایج حاصل که در بخش ۴ بررسی شدند، الگوریتم رمزنگاری تأثیر چشمگیری در کاهش میزان همبستگی پیکسل‌ها و از بین بردن اطلاعات آماری تصویر داشته است. همچنین نتایج آزمایش‌های مختلف انجام شده در بخش ۴، نشان می‌دهد که روش پیشنهادی در مقابل حملات آماری، حملات تفاضلی، حمله برش و حمله Brute Force مقاوم است.

پس از رمزنگاری تصویر، کلید رمزنگاری و بردار ویژگی‌های چهره توسط کلید عمومی رمزنگاری می‌شوند و به‌عنوان یک تراکنش در شبکه زنجیره بلوکی ذخیره می‌شوند. به‌منظور رمزگشایی تصویر یک فرآیند احراز هویت دومرحله‌ای انجام می‌پذیرد. در اولین مرحله با استفاده از کلید عمومی و خصوصی و در دومین مرحله به‌وسیله انطباق چهره کاربر، هویت فرد رمزنگار مشخص می‌شود که در صورت صحت هویت کاربر، کلید رمزنگاری در اختیارش قرار می‌گیرد.

در انتها باتوجه‌به ارزیابی‌ها و مقایسه‌هایی که برای روش پیشنهادی و سایر روش‌های مشابه که در بخش ۴-۷ انجام شد، می‌توان نتیجه گرفت که بخش‌های مختلف روش پیشنهادی مانند نگاشت‌های آشوب، الگوریتم ژنتیک، چکیده اطلاعات تصویر و چهره، کلید رمز، استراتژی رمزنگاری و احراز هویت به خوبی در کنار یکدیگر قرار گرفته‌اند و یک سیستم با عملکرد مناسب را شکل داده‌اند. باتوجه‌به جدول (۶)، روش پیشنهادی توانسته است یکی از اهداف اصلی الگوریتم رمزنگاری یعنی همبستگی پیکسل‌ها را به طور چشمگیری، نسبت به سایر روش‌های مقایسه شده کاهش دهد. همچنین الگوریتم پیشنهادی در معیارهای تفاضلی و آماری نیز توانسته است نتایج مناسبی را به دست آورد و در بسیاری از نتایج از روش‌های مشابه عملکرد بهتری داشته باشد.

تصویر لنا با هر کدام از کلیدها جداگانه رمزنگاری می‌شود. میزان NPCR هر کدام از تصاویر رمزنگاری شده با کلیدهای تغییر یافته، با تصویر رمز شده توسط کلید اصلی محاسبه می‌شود. نتایج آزمایش در جدول (۵) نشان داده شده است.

باتوجه‌به مقادیر جدول (۵)، الگوریتم رمزنگاری حساسیت بالایی نسبت به تغییرات جزئی کلید دارد و با تغییر هر بخش از کلید رمز، تصویر رمز شده حاصل متفاوت خواهد بود.

۴-۷-۷-۴ مقایسه نتایج الگوریتم پیشنهادی با سایر روش‌ها

در این بخش نتایج به‌دست‌آمده از روش پیشنهادی با سایر روش‌های ارائه شده در زمینه رمزنگاری تصویر مقایسه می‌شود. نتایج مقایسه میزان همبستگی پیکسل‌های تصویر رمز شده، حملات تفاضلی و آنتروپی در جدول (۶) آورده شده است.

روش‌هایی که در جدول (۶) برای ارزیابی با روش پیشنهادی معرفی شده‌اند، در فاز جای‌گشت از روش‌هایی مانند مرتب‌سازی دنباله آشوب، عملگرهای همبری و جهش الگوریتم ژنتیک و مربع لاتین استفاده کرده‌اند. اما در روش پیشنهادی از الگوریتم فراابتکاری ژنتیک و نگاشت آشوب آرنولد جهت بهینه‌سازی همبستگی پیکسل‌ها استفاده شده است. باتوجه‌به جدول (۶)، روش پیشنهادی در مقایسه با سایر روش‌ها، بسیار موفق عمل کرده است و توانسته است همبستگی پیکسل‌ها را به‌صورت چشمگیری کاهش دهد؛ بنابراین روش پیشنهادی در مقابل حملات آماری مقاومت بالایی خواهد داشت. باتوجه‌به جدول (۶)، روش پیشنهادی در معیار همبستگی پیکسل‌ها در مقایسه با سایر روش‌ها، بسیار موفق عمل کرده است و توانسته است همبستگی پیکسل‌ها را در هر سه جهت افقی، عمودی و قطری به‌صورت چشمگیری کاهش دهد؛ بنابراین روش پیشنهادی در مقابل حملات آماری مقاومت بالایی خواهد داشت. همچنین روش‌هایی که برای ارزیابی با روش پیشنهادی انتخاب شده‌اند در فرآیند رمزنگاری از روش‌هایی مانند عملیات حسابی تنسورها، کدگذاری DNA، چکیده تصویر، دنباله‌های آشوب و عملگرهای الگوریتم ژنتیک استفاده کرده‌اند. باتوجه‌به اینکه در روش پیشنهادی از روش‌های چکیده تصویر، نگاشت‌های آشوب و الگوریتم فراابتکاری ژنتیک استفاده شده است، روش پیشنهادی توانسته است در آزمایش‌هایی موفق‌تر عمل کند و قابلیت رقابت با روش‌های مشابه را داشته باشد؛ بنابراین روش پیشنهادی در مقایسه با سایر روش‌های مشابه توانسته است نتایج مناسبی در آزمایش آنتروپی و تحلیل تفاضلی کسب کند.

۵- نتیجه‌گیری

در این مقاله یک روش جدید رمزنگاری تصویر مبتنی بر ویژگی-

جدول (۶). مقایسه نتایج روش پیشنهادی با سایر روش‌ها

الگوریتم						معیار ارزیابی	تصویر کانال رنگ
روش پیشنهادی	[۲۵]	[۲۴]	[۱۸]	[۱۴]	[۱۳]		
۷/۹۹۶۹	۷/۹۹۷۲	۷/۹۹۷۳	۷/۹۹۹۴	۷/۹۹۱۷	۷/۹۹۷۲	آنتروپی	
-۰/۱۸۳۵	۰/۰۰۸۳	۰/۰۰۴۶	-۰/۰۰۰۲	۰/۰۰۱۳	۰/۰۰۹۴	افقی	ضریب همبستگی
-۰/۱۵۴۶	-۰/۰۰۵۴	۰/۰۰۲۴	-۰/۰۰۲۳	۰/۰۰۴۷	-۰/۰۰۱۱	عمودی	
-۰/۰۴۰۳	-۰/۰۰۱۰	۰/۰۰۵۱	-۰/۰۰۲۱	۰/۰۰۰۲	۰/۰۰۰۹	قطری	
۹۹/۶۳۱۷	۹۹/۶۰۷۸	۹۹/۶۶۱۹	۹۹/۶۰۹۶	۹۹/۶۲۴۳	۹۹/۶۴۹۱	NPCR	تحلیل تفاضلی
۳۳/۴۱۴۷	۳۳/۵۶۴۴	۳۳/۶۱۷۷	۳۳/۴۵۹۹	۳۳/۴۲۲۴	۳۳/۳۸۲۷	UACI	
۷/۹۹۷۴	۷/۹۹۷۲	۷/۹۹۷۰	۷/۹۹۹۴	۷/۹۹۱۲	۷/۹۹۶۸	آنتروپی	
-۰/۰۱۲۴	۰/۰۰۴۹	-۰/۰۰۲۷	-۰/۰۰۰۲	۰/۰۰۳۲	-۰/۰۰۱۸	افقی	ضریب همبستگی
-۰/۱۸۱۷	۰/۰۱۰۰	-۰/۰۰۰۷	-۰/۰۰۴۳	-۰/۰۰۰۵	-۰/۰۰۷۶	عمودی	
-۰/۱۹۰۹	۰/۰۱۲۴	-۰/۰۰۰۲	۰/۰۰۰۷	۰/۰۰۴۸	۰/۰۰۰۶	قطری	
۹۹/۶۵۰۱	۹۹/۶۶۷۸	۹۹/۶۲۷۲	۹۹/۶۱۰۷	۹۹/۶۱۸۵	۹۹/۶۱۶۳	NPCR	تحلیل تفاضلی
۳۳/۴۳۹۸	۳۳/۴۴۵۸	۳۳/۶۰۴۸	۳۳/۴۷۶۷	۳۳/۴۳۶۱	۳۳/۳۶۶۱	UACI	
۷/۹۹۷۲	۷/۹۹۷۵	۷/۹۹۷۲	۷/۹۹۹۴	۷/۹۹۱۷	۷/۹۹۷۶	آنتروپی	
-۰/۱۴۹۷	-۰/۰۰۱۷	-۰/۰۰۲۳	-۰/۰۰۷۴	۰/۰۰۲۰	۰/۰۰۱۹	افقی	ضریب همبستگی
-۰/۰۹۵۹	۰/۰۰۹۵	۰/۰۰۱۴	-۰/۰۰۱۰	۰/۰۰۰۱	-۰/۰۰۴۲	عمودی	
-۰/۱۵۳۱	-۰/۰۰۴۲	۰/۰۰۰۴	-۰/۰۰۰۷	-۰/۰۰۴۰	۰/۰۰۲۲	قطری	
۹۹/۶۲۵۹	۹۹/۶۰۷۸	۹۹/۶۴۶۰	۹۹/۶۰۹۰	۹۹/۶۲۸۰	۹۹/۶۳۲۴	NPCR	تحلیل تفاضلی
۳۳/۴۰۳۶	۳۳/۵۰۵۵	۳۳/۶۴۲۲	۳۳/۴۳۳۳	۳۳/۴۶۰۳	۳۳/۴۵۷۷	UACI	

۶- مراجع

- May 2023, doi: 10.1016/J.SIGPRO.2022.108908.
- [6]. H. Ghadirli, A. Nodehi, R. E.-S. Processing, and undefined 2019, "An overview of encryption algorithms in color images," *Elsevier*, vol. 164, pp. 163–185, 2019, doi: 10.1016/j.sigpro.2019.06.010.
- [7]. X. Wang and M. Zhao, "An image encryption algorithm based on hyperchaotic system and DNA coding," *Opt Laser Technol*, vol. 143, p. 107316, Nov. 2021, doi: 10.1016/J.OPTLASTEC.2021.107316.
- [8]. S. Ma, Y. Zhang, Z. Yang, J. Hu, and X. Lei, "A New Plaintext-Related Image Encryption Scheme Based on Chaotic Sequence," *IEEE Access*, vol. 7, pp. 30344–30360, 2019, doi: 10.1109/ACCESS.2019.2901302.
- [9]. X. J. Tong, M. Zhang, Z. Wang, Y. Liu, H. Xu, and J. Ma, "A fast encryption algorithm of color image based on four-dimensional chaotic system," *J Vis Commun Image Represent*, vol. 33, pp. 219–234, Nov. 2015, doi: 10.1016/J.JVCIR.2015.09.014.
- [10]. N. Khalil, A. Sarhan, and M. A. M. Alshewimy, "An
- [1]. M. Turculeț, "Ethical Issues Concerning Online Social Networks," *Procedia Soc Behav Sci*, vol. 149, pp. 967–972, 2014, doi: https://doi.org/10.1016/j.sbspro.2014.08.317.
- [2]. S. Lian, *Multimedia content encryption: techniques and applications*. Auerbach Publications, 2008.
- [3]. X. Wang, L. Feng, and H. Zhao, "Fast image encryption algorithm based on parallel computing system," *Inf Sci (N Y)*, vol. 486, pp. 340–358, Jun. 2019, doi: 10.1016/J.INS.2019.02.049.
- [4]. H. Wang, D. Xiao, X. Chen, and H. Huang, "Cryptanalysis and enhancements of image encryption using combination of the 1D chaotic map," *Signal Processing*, vol. 144, pp. 444–452, Mar. 2018, doi: 10.1016/J.SIGPRO.2017.11.005.
- [5]. D. R. I. M. Setiadi, S. Rustad, P. N. Andono, and G. F. Shidik, "Digital image steganography survey and investigation (goal, assessment, method, development, and dataset)," *Signal Processing*, vol. 206, p. 108908,

- color image encryption scheme based on 2DNLCML system and genetic operations,” *Opt Lasers Eng*, vol. 128, p. 106040, May 2020, doi: 10.1016/J.OPTLASENG.2020.106040.
- [25]. X. Chai, X. Zhi, Z. Gan, Y. Zhang, Y. Chen, and J. Fu, “Combining improved genetic algorithm and matrix semi-tensor product (STP) in color image encryption,” *Signal Processing*, vol. 183, p. 108041, Jun. 2021, doi: 10.1016/J.SIGPRO.2021.108041.
- [26]. L. S. Khan, M. M. Hazzazi, M. Khan, and S. S. Jamal, “A novel image encryption based on rossler map diffusion and particle swarm optimization generated highly non-linear substitution boxes,” *Chinese Journal of Physics*, vol. 72, pp. 558–574, Aug. 2021, doi: 10.1016/J.CJPH.2021.03.029.
- [27]. Z. Feixiang, L. Mingzhe, W. Kun, and Z. Hong, “Color image encryption via Hénon-zigzag map and chaotic restricted Boltzmann machine over Blockchain,” *Opt Laser Technol*, vol. 135, p. 106610, Mar. 2021, doi: 10.1016/J.OPTLASTEC.2020.106610.
- [28]. R. Li, “Fingerprint-related chaotic image encryption scheme based on blockchain framework,” *Multimed Tools Appl*, vol. 80, no. 20, pp. 30583–30603, Aug. 2021, doi: 10.1007/S11042-020-08802-Z/METRICS.
- [29]. G. Boeing, “Visual Analysis of Nonlinear Dynamical Systems: Chaos, Fractals, Self-Similarity and the Limits of Prediction,” *Systems 2016, Vol. 4, Page 37*, vol. 4, no. 4, p. 37, Nov. 2016, doi: 10.3390/SYSTEMS4040037.
- [30]. N. A. Abbas, “Image encryption based on Independent Component Analysis and Arnold’s Cat Map,” *Egyptian Informatics Journal*, vol. 17, no. 1, pp. 139–146, Mar. 2016, doi: 10.1016/J.EIJ.2015.10.001.
- [31]. G. Qu *et al.*, “Optical color image encryption based on Hadamard single-pixel imaging and Arnold transformation,” *Opt Lasers Eng*, vol. 137, p. 106392, Feb. 2021, doi: 10.1016/J.OPTLASENG.2020.106392.
- [32]. E. N. Lorenz, “Deterministic Nonperiodic Flow,” *J Atmos Sci*, vol. 20, no. 2, pp. 130–141, Mar. 1963, doi: 10.1175/1520-0469(1963)020.
- [33]. S. Katoch, S. S. Chauhan, and V. Kumar, “A review on genetic algorithm: past, present, and future,” *Multimed Tools Appl*, vol. 80, no. 5, pp. 8091–8126, Feb. 2021, doi: 10.1007/S11042-020-10139-6/FIGURES/8.
- [34]. A. Bodo, “Method for producing a digital signature with aid of a biometric feature,” *German patent DE*, vol. 42, no. 43, p. 908, 1994.
- [35]. V. Kakkad, M. Patel, and M. Shah, “Biometric authentication and image encryption for image security in cloud framework,” *Multiscale and Multidisciplinary Modeling, Experiments and Design*, vol. 2, no. 4, pp. 233–248, Dec. 2019, doi: 10.1007/S41939-019-00049-Y/METRICS.
- [36]. C. Bisogni, G. Iovane, R. E. Landi, and M. Nappi, “ECB2: A novel encryption scheme using face biometrics for signing blockchain transactions,” *Journal of Information Security and Applications*, vol. 59, p. 102814, Jun. 2021, doi: 10.1016/J.JISA.2021.102814.
- [37]. N. Dalal and B. Triggs, “Histograms of oriented gradients for human detection,” *Proceedings - 2005 IEEE Computer Society Conference on Computer Vision and Pattern Recognition, CVPR 2005*, vol. I, pp. 886–893, 2005, doi: 10.1109/CVPR.2005.177.
- [38]. O. Déniz, G. Bueno, J. Salido, and F. De La Torre, “Face recognition using Histograms of Oriented Gradients,” *Pattern Recognit Lett*, vol. 32, no. 12, pp. 1598–1603, Sep. 2011, doi: 10.1016/J.PATREC.2011.01.004.
- [39]. K. Zhang, Z. Zhang, Z. Li, and Y. Qiao, “Joint Face efficient color/grayscale image encryption scheme based on hybrid chaotic maps,” *Opt Laser Technol*, vol. 143, p. 107326, Nov. 2021, doi: 10.1016/J.OPTLASTEC.2021.107326.
- [11]. T. Wang and M. hui Wang, “Hyperchaotic image encryption algorithm based on bit-level permutation and DNA encoding,” *Opt Laser Technol*, vol. 132, p. 106355, Dec. 2020, doi: 10.1016/J.OPTLASTEC.2020.106355.
- [12]. S. Zhou, “A real-time one-time pad DNA-chaos image encryption algorithm based on multiple keys,” *Opt Laser Technol*, vol. 143, p. 107359, Nov. 2021, doi: 10.1016/J.OPTLASTEC.2021.107359.
- [13]. J. Zhou, N.-R. Zhou, and L.-H. Gong, “Fast color image encryption scheme based on 3D orthogonal Latin squares and matching matrix,” *Opt Laser Technol*, vol. 131, p. 106437, Nov. 2020, doi: 10.1016/J.OPTLASTEC.2020.106437.
- [14]. D. Zhang, L. Chen, and T. Li, “Hyper-Chaotic Color Image Encryption Based on Transformed Zigzag Diffusion and RNA Operation,” *Entropy 2021, Vol. 23, Page 361*, vol. 23, no. 3, p. 361, Mar. 2021, doi: 10.3390/E23030361.
- [15]. H. Liu and A. Kadir, “Asymmetric color image encryption scheme using 2D discrete-time map,” *Signal Processing*, vol. 113, pp. 104–112, Aug. 2015, doi: 10.1016/J.SIGPRO.2015.01.016.
- [16]. X. Chai, X.-L. Chai, Z.-H. Gan, Y. Lu, M.-H. Zhang, and Y.-R. Chen, “A novel color image encryption algorithm based on genetic recombination and the four-dimensional memristive hyperchaotic system,” *iopscience.iop.org*, vol. 25, no. 10, p. 100503, 2016, doi: 10.1088/1674-1056/25/10/100503.
- [17]. E. Zarei Zefreh, “An Image Encryption Algorithm Based on the S_n Permutation Group and Chaotic Functions” *Journal of Electronical & Cyber Defence*, vol. 8, no. 3, pp. 139–150, 2020, dor: 20.1001.1.23224347.1399.8.3.11.5 (In Persian)
- [18]. Q. Zhang and J. Han, “A novel color image encryption algorithm based on image hashing, 6D hyperchaotic and DNA coding,” *Multimed Tools Appl*, vol. 80, no. 9, pp. 13841–13864, Apr. 2021, doi: 10.1007/S11042-020-10437-Z/METRICS.
- [19]. S. Zhou, X. Wang, Y. Zhang, B. Ge, M. Wang, and S. Gao, “A novel image encryption cryptosystem based on true random numbers and chaotic systems,” *Multimed Syst*, vol. 28, no. 1, pp. 95–112, Feb. 2022, doi: 10.1007/S00530-021-00803-8.
- [20]. R. Enayatifar, H. J. Sadaei, A. H. Abdullah, M. Lee, and I. F. Isnin, “A novel chaotic based image encryption using a hybrid model of deoxyribonucleic acid and cellular automata,” *Opt Lasers Eng*, vol. 71, pp. 33–41, Aug. 2015, doi: 10.1016/J.OPTLASENG.2015.03.007.
- [21]. R. Enayatifar, A. H. Abdullah, and M. Lee, “A weighted discrete imperialist competitive algorithm (WDICA) combined with chaotic map for image encryption,” *Opt Lasers Eng*, vol. 51, no. 9, pp. 1066–1077, Sep. 2013, doi: 10.1016/J.OPTLASENG.2013.03.010.
- [22]. S. Noshadian, A. Ebrahimzade, and S. J. Kazemitabar, “Optimizing chaos based image encryption,” *Multimed Tools Appl*, vol. 77, no. 19, pp. 25569–25590, Oct. 2018, doi: 10.1007/S11042-018-5807-X.
- [23]. A. H. Abdullah, R. Enayatifar, and M. Lee, “A hybrid genetic algorithm and chaotic function model for image encryption,” *AEU - International Journal of Electronics and Communications*, vol. 66, no. 10, pp. 806–816, Oct. 2012, doi: 10.1016/J.AEUE.2012.01.015.
- [24]. Y. Q. Zhang, Y. He, P. Li, and X. Y. Wang, “A new

- Detection and Alignment Using Multitask Cascaded Convolutional Networks,” *IEEE Signal Process Lett*, vol. 23, no. 10, pp. 1499–1503, Oct. 2016, doi: 10.1109/LSP.2016.2603342.
- [40]. F. Schroff, D. Kalenichenko, and J. Philbin, “FaceNet: A unified embedding for face recognition and clustering,” *Proceedings of the IEEE Computer Society Conference on Computer Vision and Pattern Recognition*, vol. 07-12-June-2015, pp. 815–823, Oct. 2015, doi: 10.1109/CVPR.2015.7298682.
- [41]. H. M. Ghadirli, A. Nodehi, and R. Enayatifar, “An overview of encryption algorithms in color images,” *Signal Processing*, vol. 164, pp. 163–185, Nov. 2019, doi: 10.1016/J.SIGPRO.2019.06.010.
- [42]. M. Kaur and V. Kumar, “A Comprehensive Review on Image Encryption Techniques,” *Archives of Computational Methods in Engineering*, vol. 27, no. 1, pp. 15–43, Jan. 2020, doi: 10.1007/S11831-018-9298-8/METRICS.
- [43]. M. Essaid, I. Akharraz, A. Saaidi, and A. Mouhib, “A New Image Encryption Scheme Based on Confusion-Diffusion Using an Enhanced Skew Tent Map,” *Procedia Comput Sci*, vol. 127, pp. 539–548, Jan. 2018, doi: 10.1016/J.PROCS.2018.01.153.